

Problema de Convección-Difusión

$$\frac{\partial u}{\partial t} + \vec{v} \cdot \vec{\nabla} u - \vec{\nabla} \cdot (k \vec{\nabla} u) = f$$

$$\frac{du}{dt} - \vec{\nabla} \cdot (k \vec{\nabla} u) = f$$

$$\frac{du}{dt} \approx \frac{u(\vec{x}, t_{n+1}) - u(\vec{x}, t_n)}{\Delta t} = \frac{u^{n+1}(\vec{x}) - u^n(\vec{x})}{\Delta t}$$

$$u^{n+1}(\vec{x}) - \Delta t \vec{\nabla} \cdot [k(\vec{x}) \vec{\nabla} u^{n+1}(\vec{x})] = \Delta t f^{n+1}(\vec{x}) + u^n(\vec{x})$$

Aproximación de la característica

$$\underline{x}_i = x_i(t_{n+1} - \Delta t) = x_i - v_i(\bar{x})\Delta t + \frac{\Delta t^2}{2} \vec{v}(\bar{x}) \cdot \vec{\nabla} v_i(\bar{x}) + 0(\Delta t^3)$$

$$u^n(\underline{\bar{x}}) = u^n(\bar{x} - \Delta \bar{x}) = u^n(\bar{x}) - \sum_{i=1}^2 \Delta x_i \frac{\partial u^n(\bar{x})}{\partial x_i} + \frac{1}{2} \left[2\Delta x_1 \Delta x_2 \frac{\partial^2 u^n(\bar{x})}{\partial x_1 \partial x_2} + \sum_{i=1}^2 \Delta x_i^2 \frac{\partial^2 u^n(\bar{x})}{\partial x_i^2} \right] + 0(\|\Delta \bar{x}\|^3)$$

$$u^n(\underline{\bar{x}}) = u^n(\bar{x}) - \Delta t \sum_{i=1}^2 v_i(\bar{x}) \frac{\partial u^n(\bar{x})}{\partial x_i} + \frac{\Delta t^2}{2} \sum_{i=1}^2 \left[\vec{v}(\bar{x}) \cdot \vec{\nabla} v_i(\bar{x}) \right] + \frac{\Delta t^2}{2} \sum_{i=1}^2 \sum_{j=1}^2 v_i(\bar{x}) v_j(\bar{x}) \frac{\partial^2 u^n(\bar{x})}{\partial x_i \partial x_j} + 0(\Delta t^3)$$

$$u^{n+1} - \Delta t \vec{\nabla} \cdot [k \vec{\nabla} u^{n+1}] = \Delta t f^{n+1} + u^n - \Delta t \vec{v} \cdot \vec{\nabla} u^n + \frac{\Delta t^2}{2} \sum_i (\vec{v} \cdot \vec{\nabla} v_i) \frac{\partial u^n}{\partial x_i} + \frac{\Delta t^2}{2} \sum_{i,j} v_i v_j \frac{\partial^2 u^n}{\partial x_i \partial x_j}$$

Estabilidad de la Formulación en 1-D

$$C \leq \left[\frac{1}{P_e^2} + \frac{1}{3} \right]^{1/2} + \frac{1}{P_e}$$

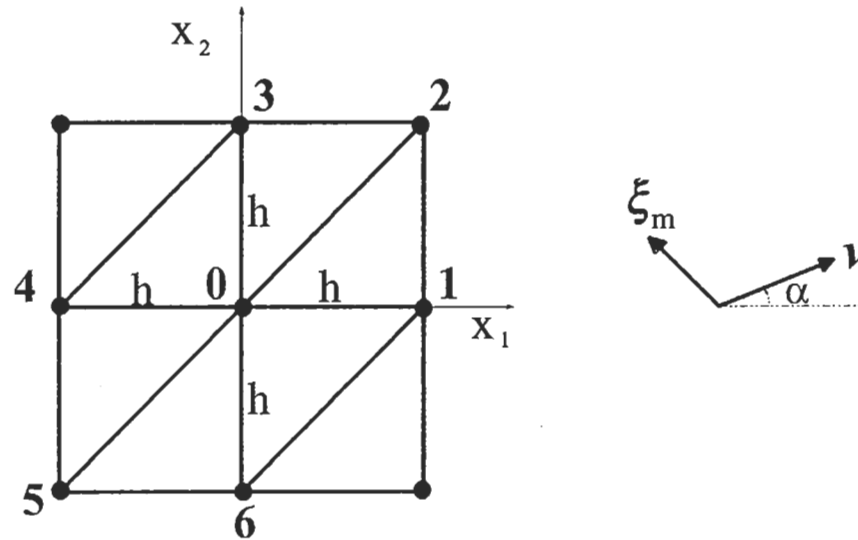
$$C = v \Delta t / h \quad y \quad P_e = v h / k$$

Consistencia de la Formulación en 1-D

$$G(\eta) = G_e(\eta) + O(\eta^3)$$

$$\eta = \xi h$$

Estabilidad de la Formulación en 2-D

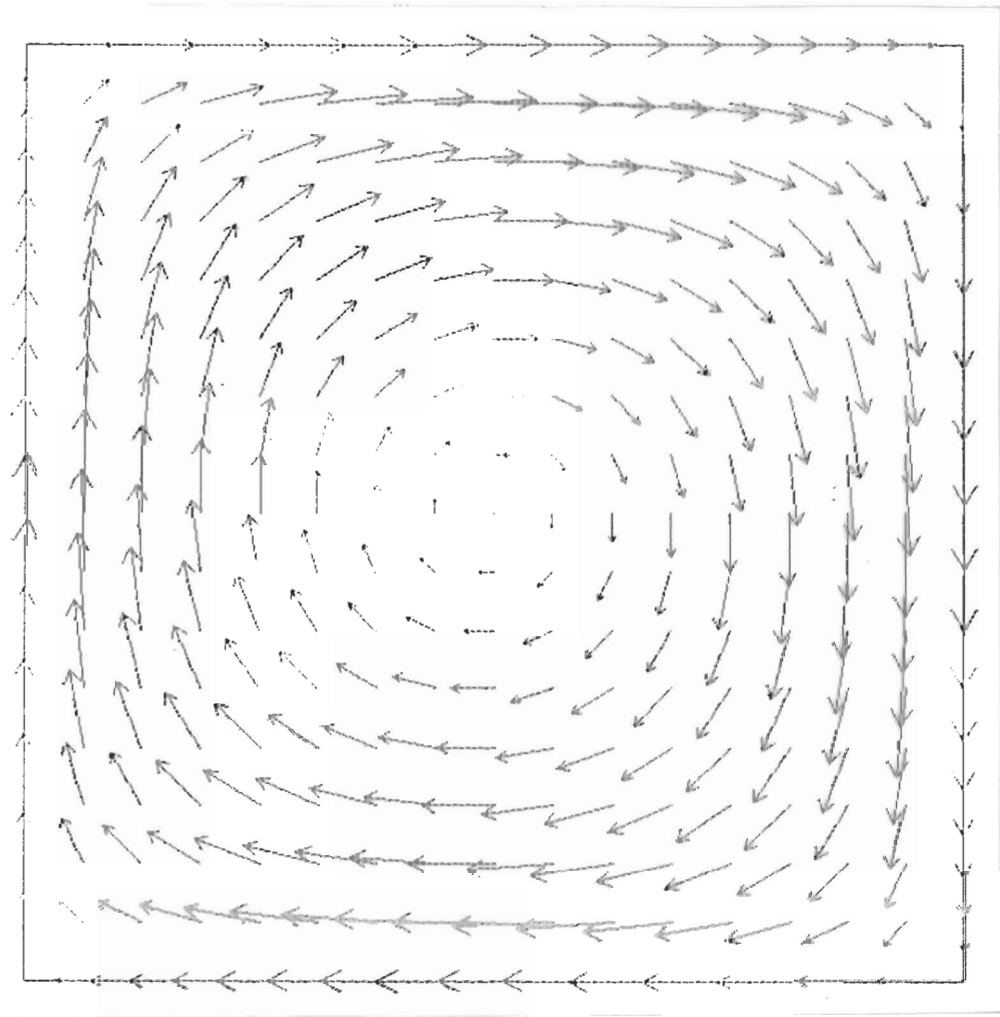


Dirección de propagación: eje x_1 ,

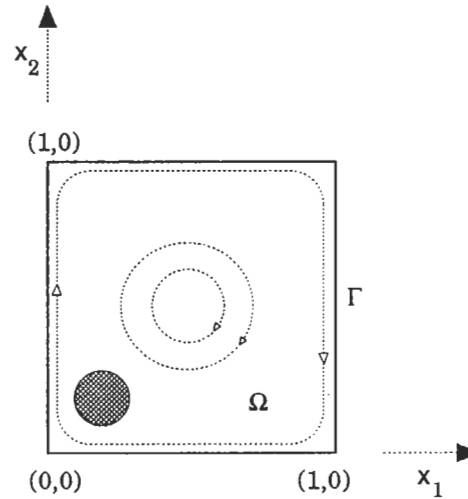
$$C \leq \frac{1}{\cos^2 \alpha} \left[\left(\frac{1}{P_e^2} + \frac{1}{3} \cos^2 \alpha \right)^{1/2} + \frac{1}{P_e} \right]$$

Dirección de propagación: $3\pi/4$,

$$C \leq \frac{1}{1 - \sin 2\alpha} \left[\left(\frac{4}{P_e^2} + \frac{1}{3} (1 - \sin 2\alpha) \right)^{1/2} + \frac{2}{P_e} \right]$$



PROBLEMA DE CONVECCIÓN-DIFUSIÓN

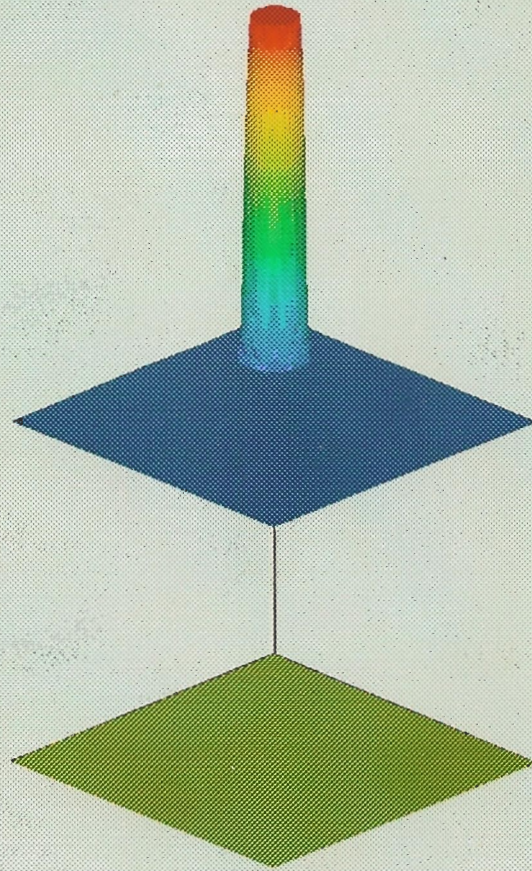


$$\left. \begin{aligned} \frac{\partial u}{\partial t} + \bar{v} \cdot \bar{\nabla} u - \bar{\nabla} \cdot (k \bar{\nabla} u) &= 0 \quad \text{en } \Omega \\ k \frac{\partial u}{\partial n} &= 0 \quad \text{en } \Gamma = \partial \Omega \end{aligned} \right\} \text{ donde } \bar{v} = \begin{pmatrix} v_1 \\ v_2 \end{pmatrix} = \begin{pmatrix} \omega x_1 (1-x_1)(x_2-0.5) \\ \omega x_2 (0.5-x_1)(1-x_2) \end{pmatrix}, \quad k = 0.1, \quad \omega = 2.5 \cdot 10^4$$

$$u(\bar{x}, 0) = \begin{cases} 1 & \text{si } d > 0.1 \\ 1 + e^{(0.1^2 - d^2)/(0.07^2 - d^2)} & \text{si } 0.07 < d < 0.1 \\ 2 & \text{si } d < 0.07 \end{cases}$$

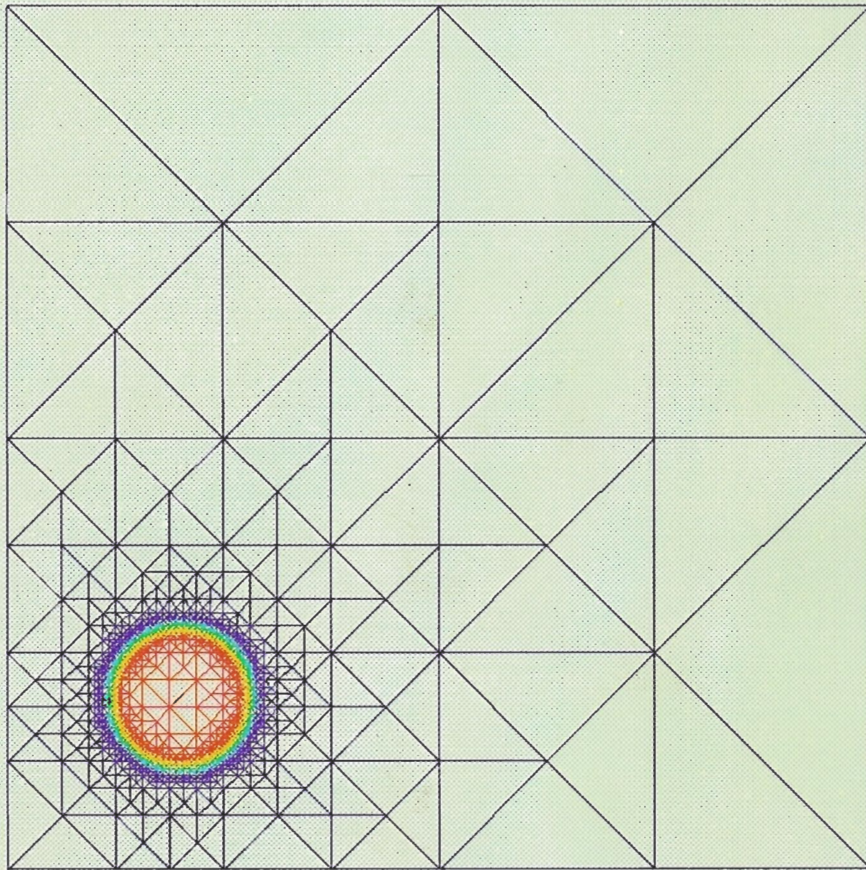
$$P_e = \frac{|\bar{v}|_{\max} L}{k} = 3.125 \cdot 10^4$$

PROBLEMA DE CONVECCION-DIFUSION



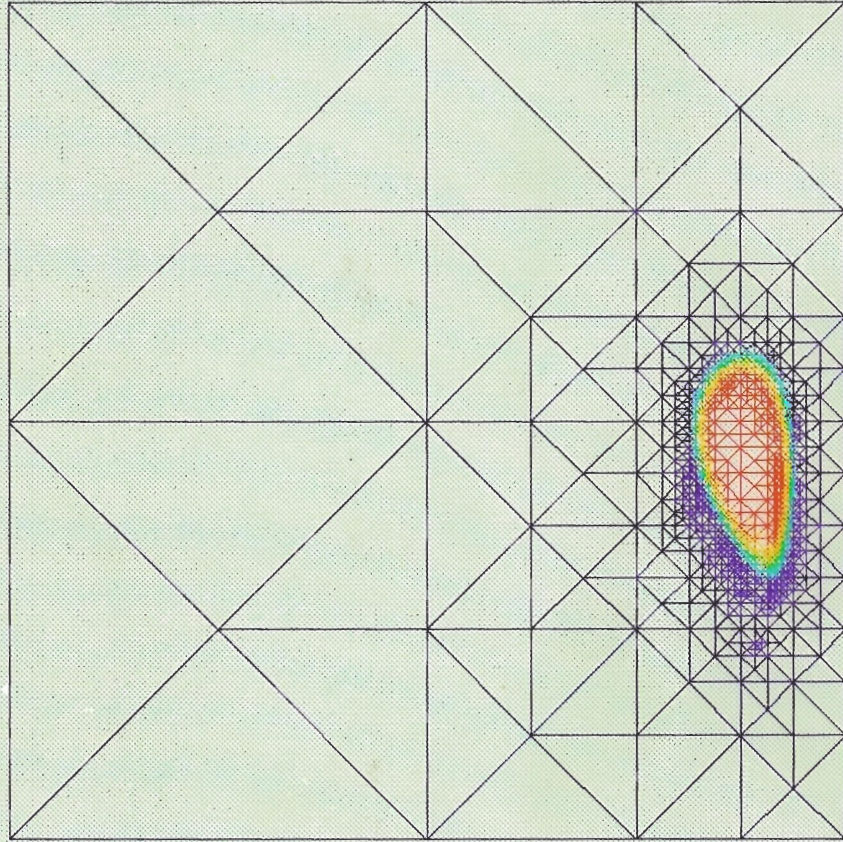
SOLUCION INICIAL

PROBLEMA DE CONVECCION-DIFUSION



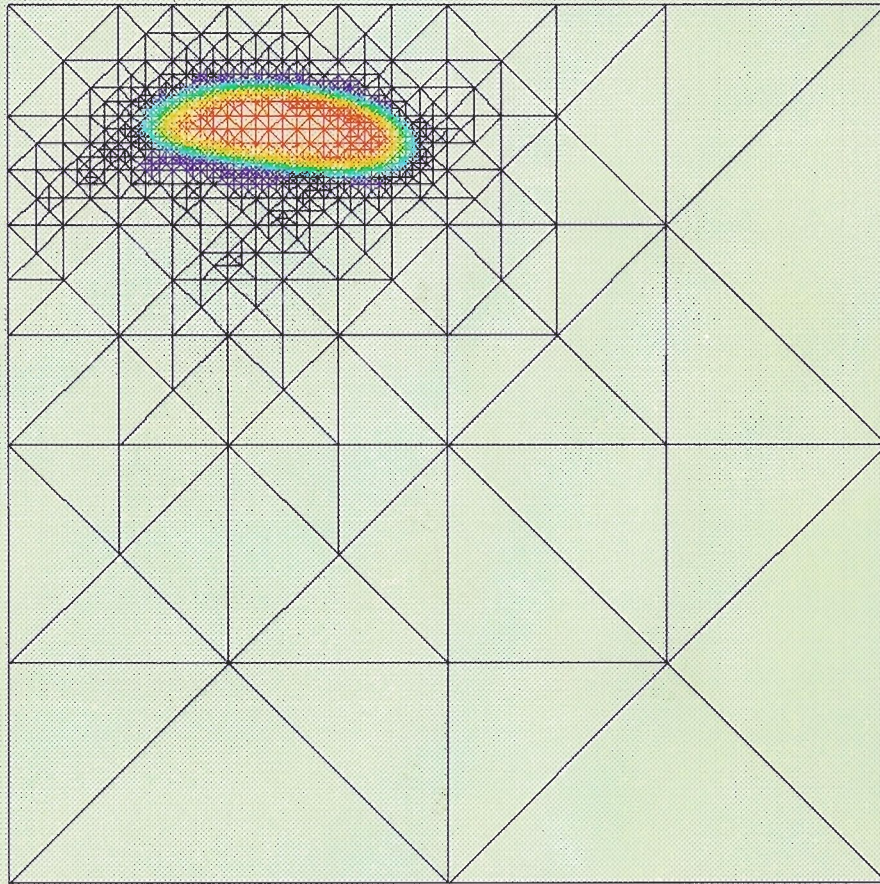
$t=0.0$; 1198 nodos

PROBLEMA DE CONVECCION-DIFUSION



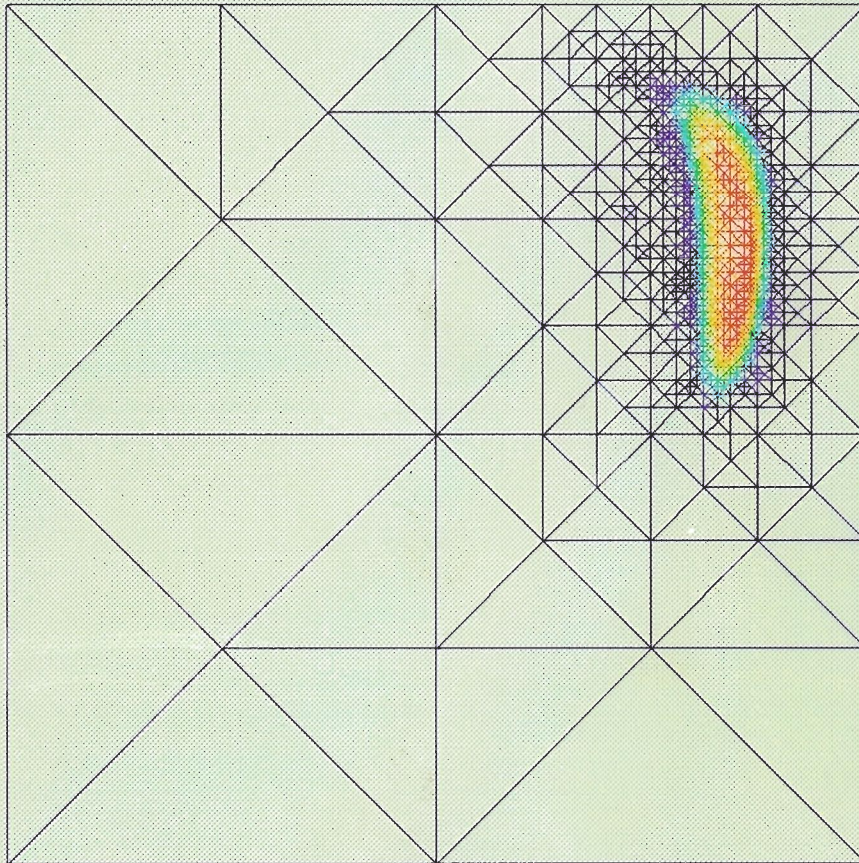
$t=0.00014$; 982 nodos

PROBLEMA DE CONVECCION-DIFUSION



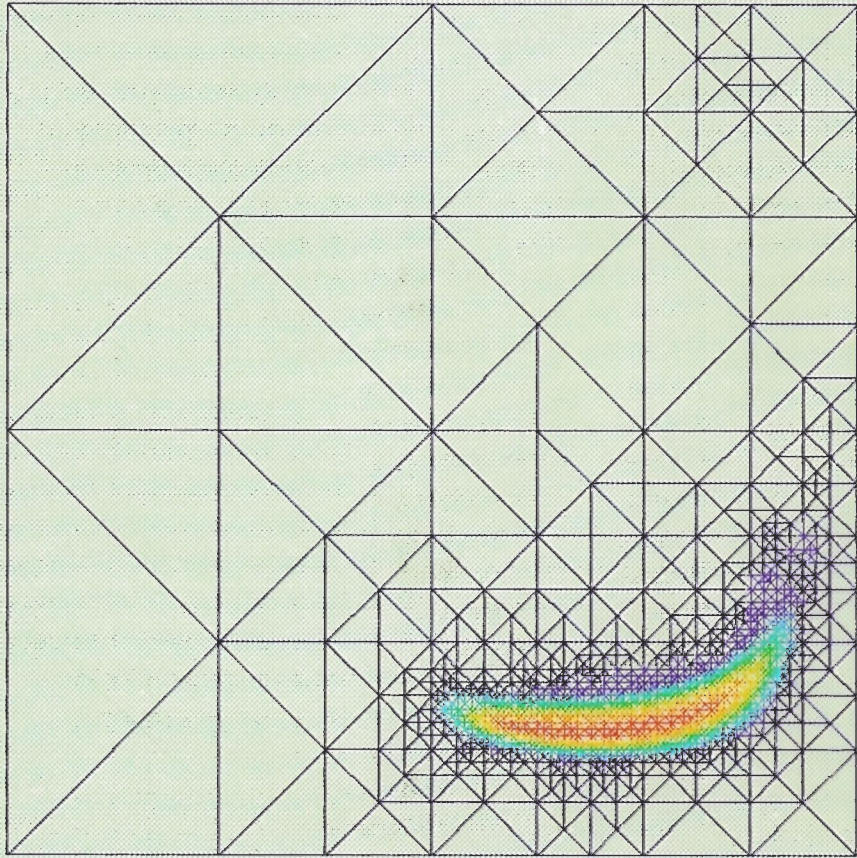
$t=0.00039$; 1183 nodos

PROBLEMA DE CONVECCION-DIFUSION



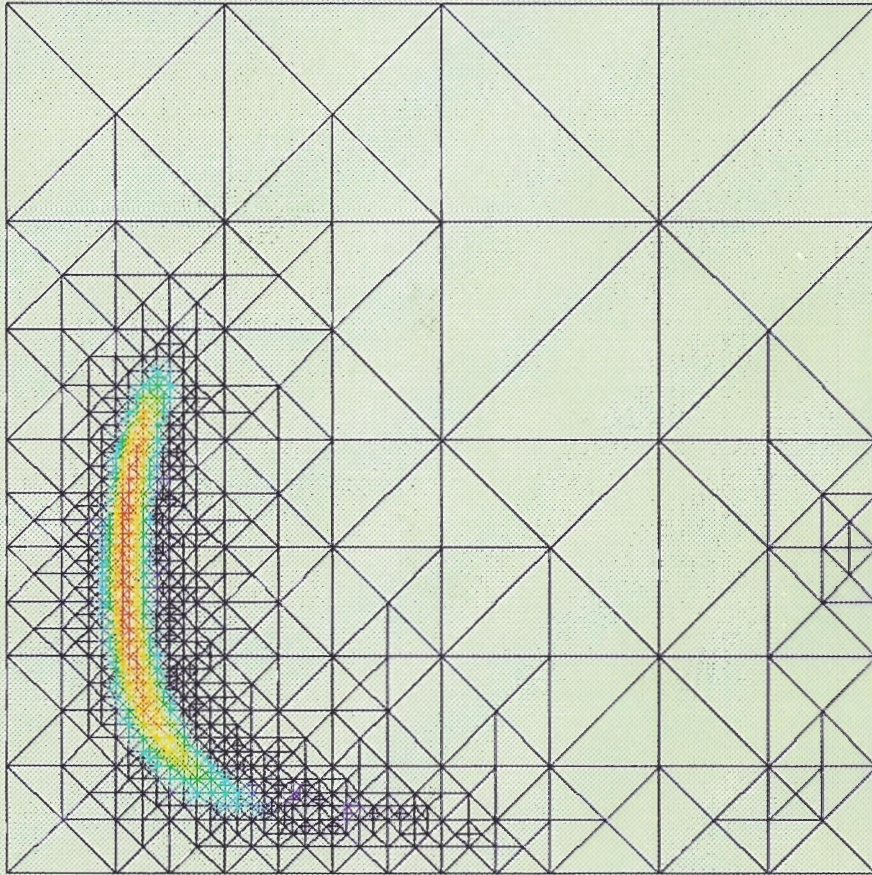
$t=0.00067$; 908 nodos

PROBLEMA DE CONVECCION-DIFUSION

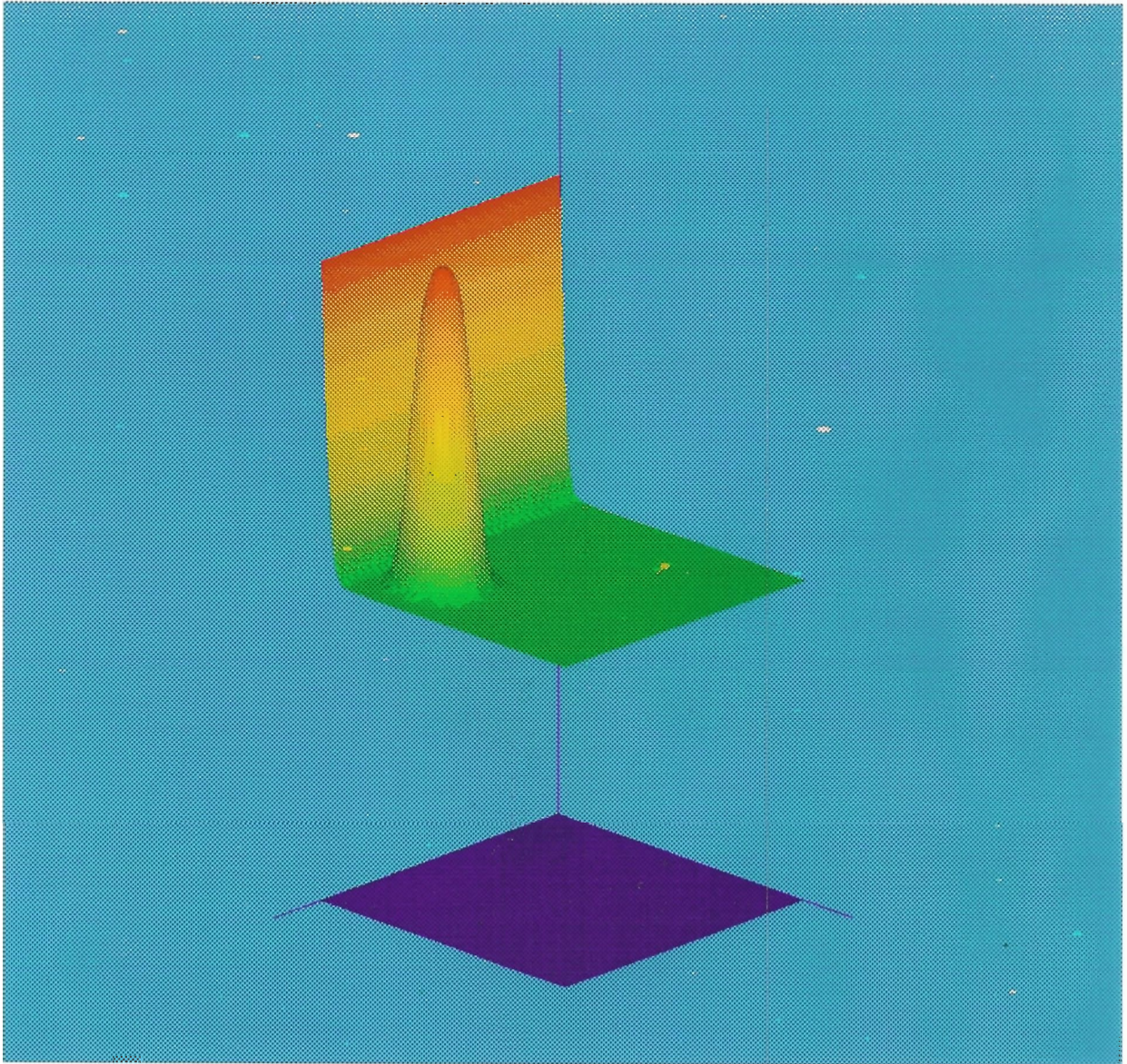


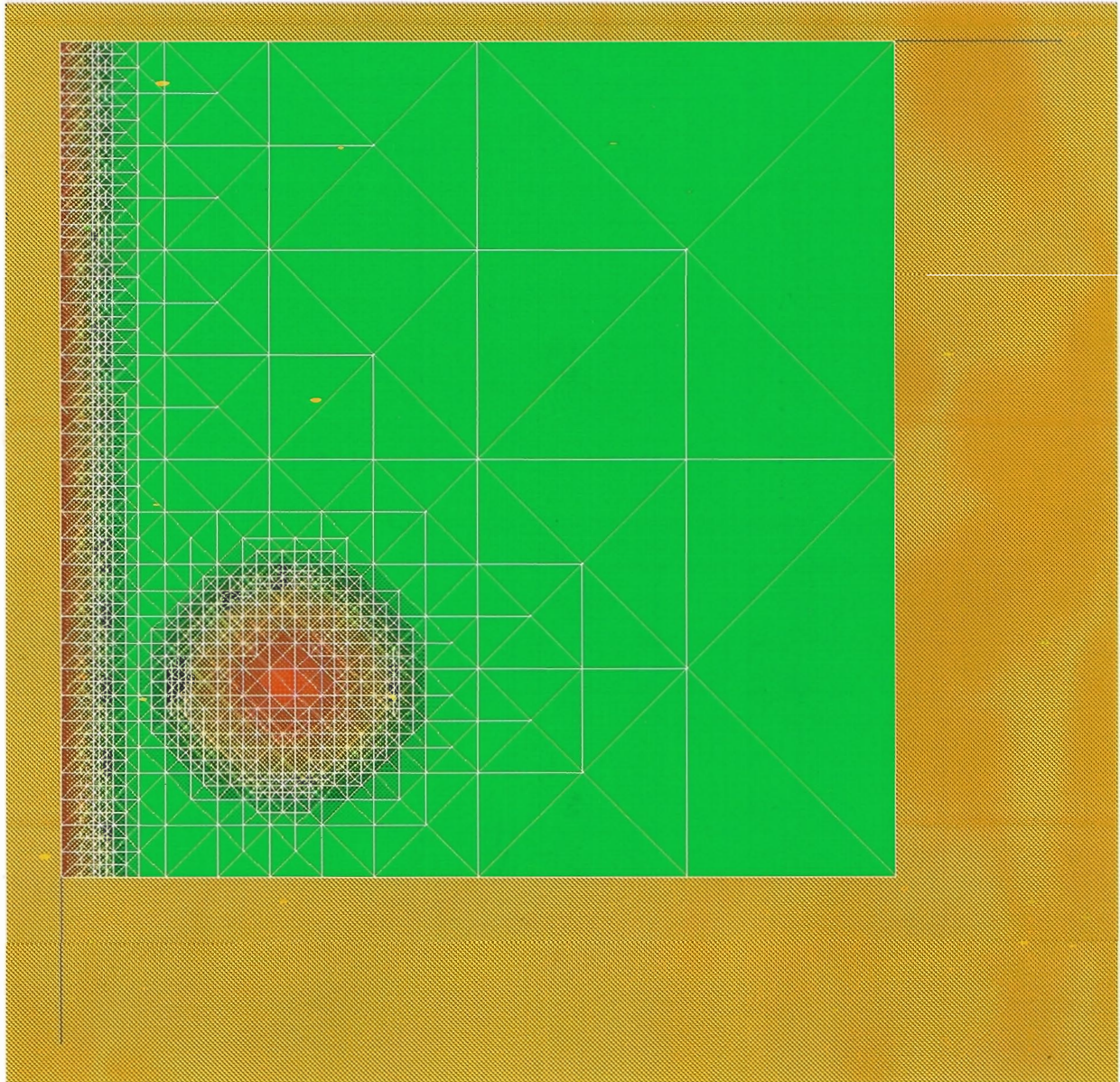
$t=0.00098$; 1105 nodos

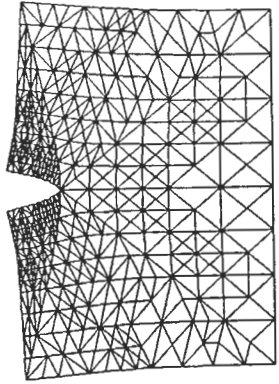
PROBLEMA DE CONVECCION-DIFUSION



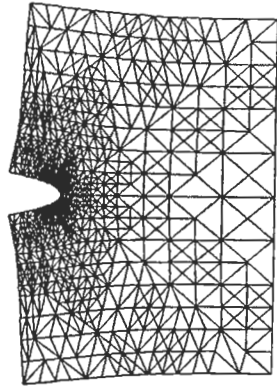
$t=0.0013$; 966 nodos



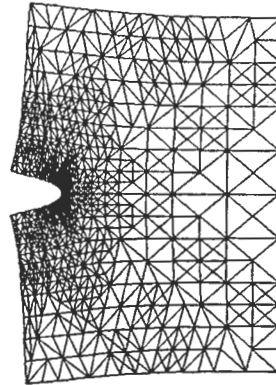




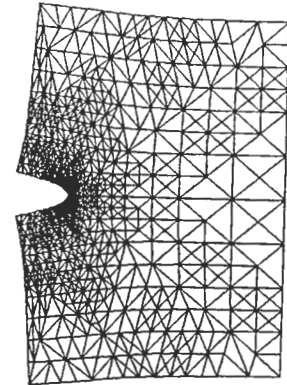
Step 3, 421 nodes.



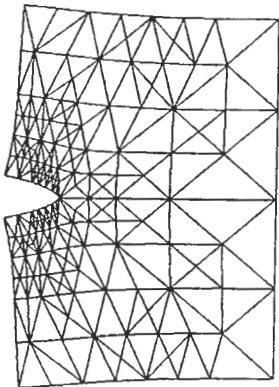
Step 5, 797 nodes



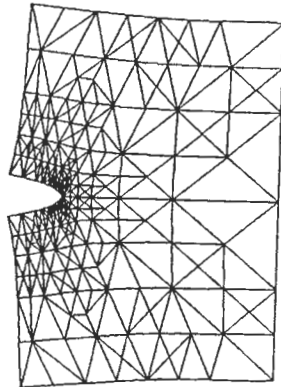
Step 7, 1001 nodes



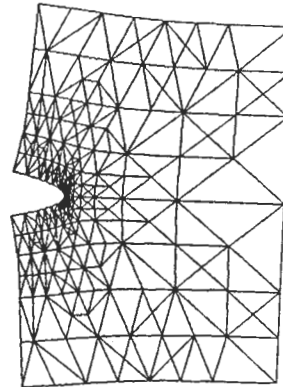
Step 9, 1075 nodes



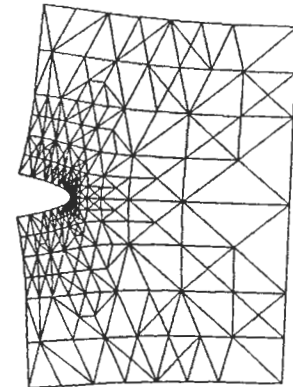
Step 3, 175 nodes.



Step 5, 246 nodes

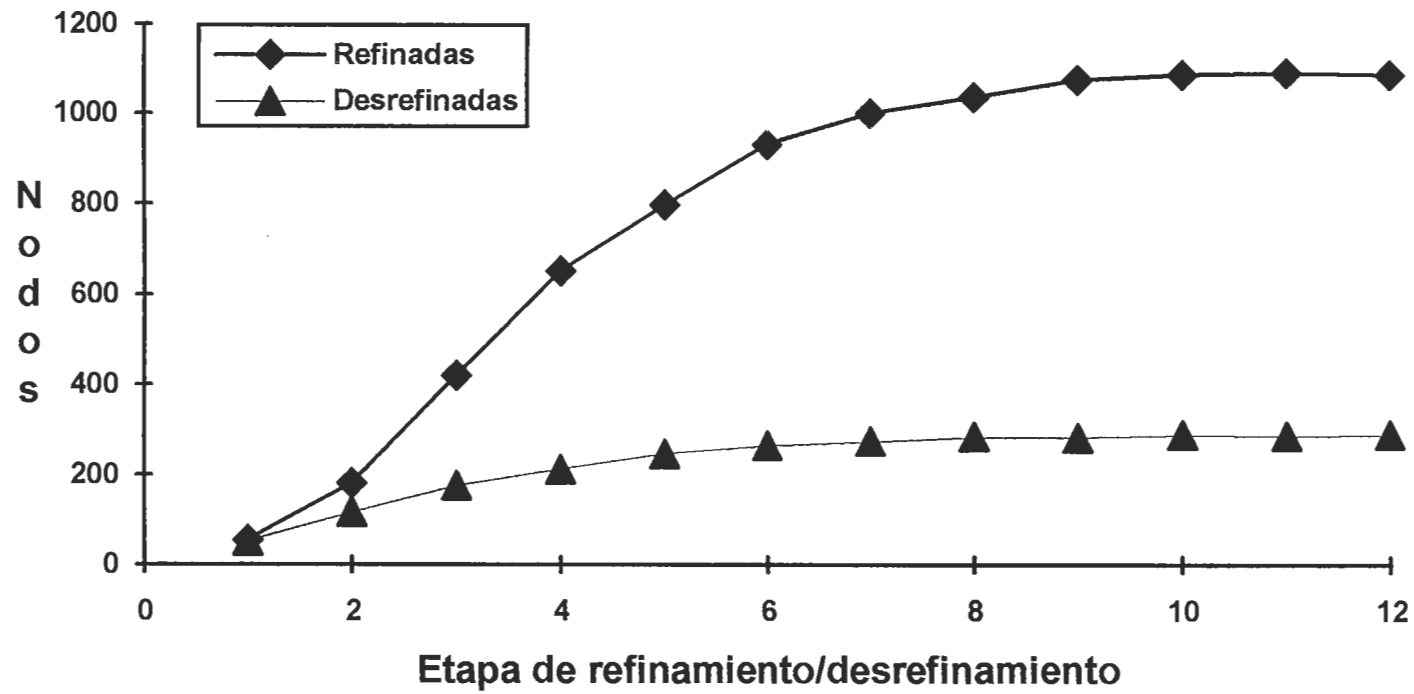


Step 7, 273 nodes



Step 9, 282 nodes

Evolución del Número de Nodos



CONCLUSIONS AND FUTURE RESEARCHES

1.- The refinement/derefinement combination of nested grids give:

- Easy applications of multigrid methods.
- Flexibility in meshes.
- Automatic control of the number of nodes.
- Bounded number of equations in the process.
- Very fast readaptation of the current mesh.
- A good method to approach any initial solution and geometry of the domain.
- A local refinement (derefining after a global refinement).

2.- Linear complexity of the improved derefinement algorithm.

3.- Generalization to three dimensional domains.

**GENERACIÓN DE MALLAS
TRIDIMENSIONALES MEDIANTE LA
TRIANGULACIÓN DE DELAUNAY**

CONTENIDOS

□ ENTRADA DE DATOS

Definición de la geometría del objeto; puntos, líneas, superficies y regiones.

Generación de puntos en el objeto.

□ TRIANGULACIÓN DE DELAUNAY EN 3-D

Algoritmo de Watson.

Problemas asociados a errores de redondeo.

Implementación del algoritmo.

Control sobre los errores de redondeo para conseguir una triangulación aceptable.

□ ELIMINACIÓN DE LA ENVUELTA CONVEXA DE TETRAEDROS

□ EJEMPLOS

□ CONCLUSIONES Y LINEAS DE TRABAJO FUTURAS

Diagrama de Voronoi y Triangulación de Delaunay (I)

- Sea $X \subset E^3$ un conjunto de puntos diferentes no todos en el mismo plano.
- El poliedro de Voronoi, $V(x_i)$, asociado a $x_i \in X$, se define como:

$$V(x_i) = \{x \in E^3 / d(x, x_i) \leq d(x, x_j), \forall x_j \in X, i \neq j\}$$

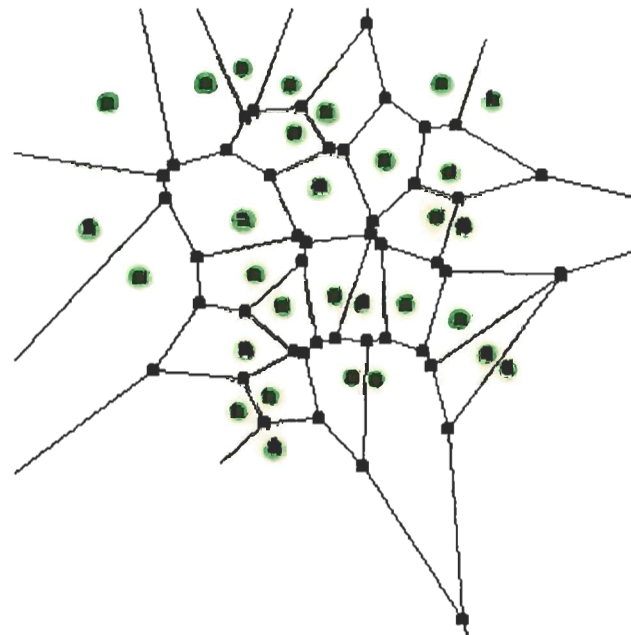
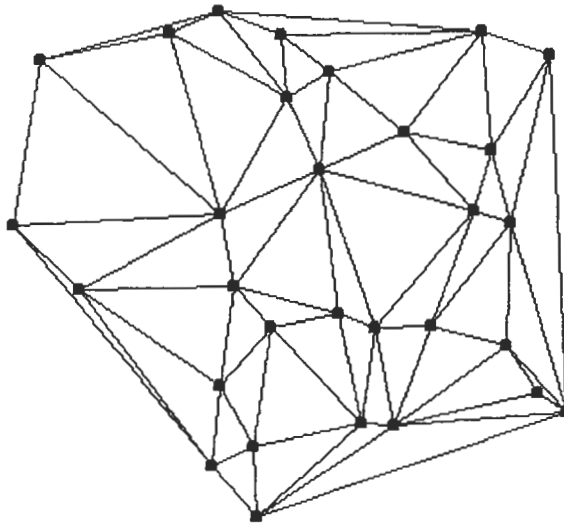


Diagrama de Voronoi y Triangulación de Delaunay (II)

- Sea $R \subset X$ un subconjunto de cuatro o más puntos de X , no todos en el mismo plano, tal que existe un punto, $v_R \in E^3$, equidistante de todos los puntos de R que satisface que

$$d(v_R, x_k) < d(v_R, x_i) \quad x_k \in R \text{ y } \forall x_i \in X - R.$$

- El politopo de Delaunay, $D(R)$, es la envolvente convexa de R .
- La triangulación de Delaunay, $D(X)$, es el conjunto de todos los politopos de Delaunay.



Algoritmo Incremental para la Construcción de la Triangulación de Delaunay

1. Triangulación inicial.

Se construye un prisma que contenga todos los puntos de X y se descompone en cinco tetraedros de manera que formen una triangulación de Delaunay.

2. Adición del punto x_{i+1} a la triangulación.

Hallamos el conjunto de tetraedros, D_1^i , cuyas esferas circunscritas contienen a x_{i+1} .

$$D_1^i = \{T_j \in D(X_i) / x_{i+1} \in B(T_j)\}$$

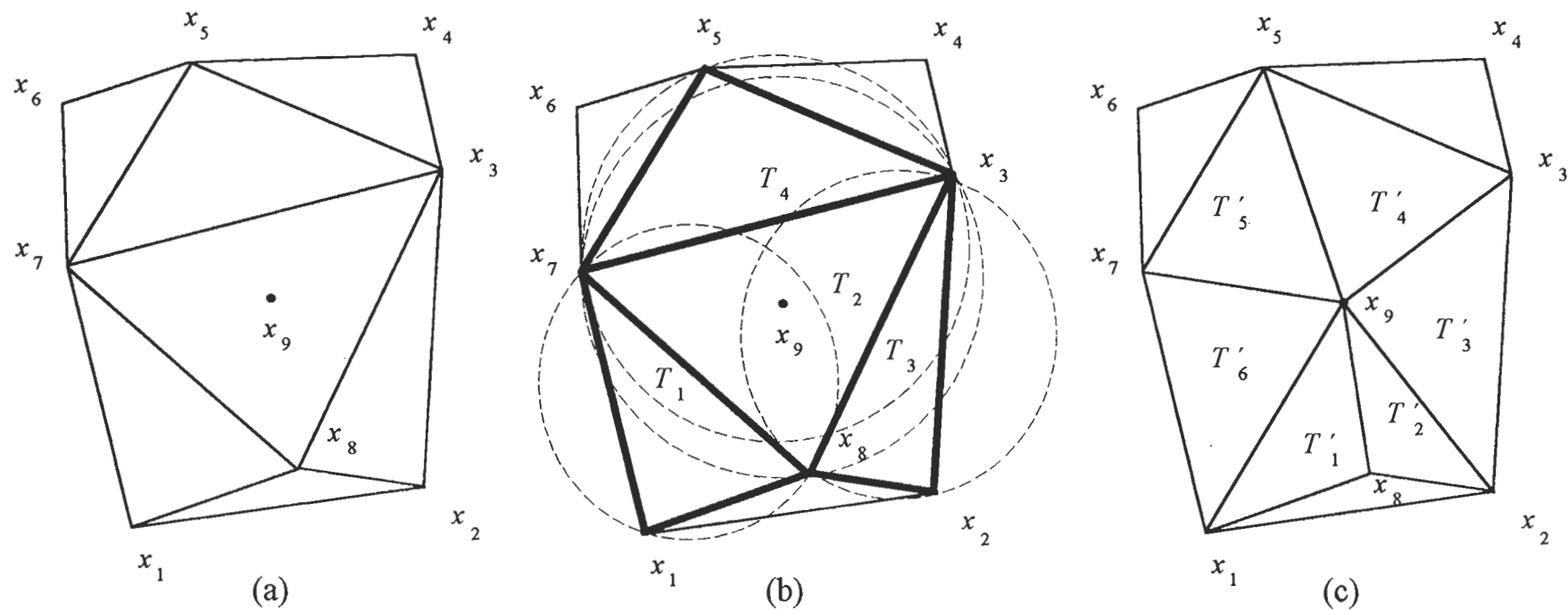
Sea $C_{fD_1}^i$ el conjunto de caras de la frontera de D_1^i , esto es, caras que sólo pertenecen a un tetraedro de D_1^i . Si $D(X_i)$ es la triangulación de los i primeros puntos de X , la triangulación $D(X_{i+1})$ que incluye al punto x_{i+1} se define como:

$$D(X_{i+1}) = (D(X_i) - D_1^i) \cup D_2^i$$

donde $D_2^i = \bigcup_j \{C_j, x_{i+1}\}$ es el conjunto de tetraedros formados con x_{i+1} y las caras C_j de $C_{fD_1}^i$.

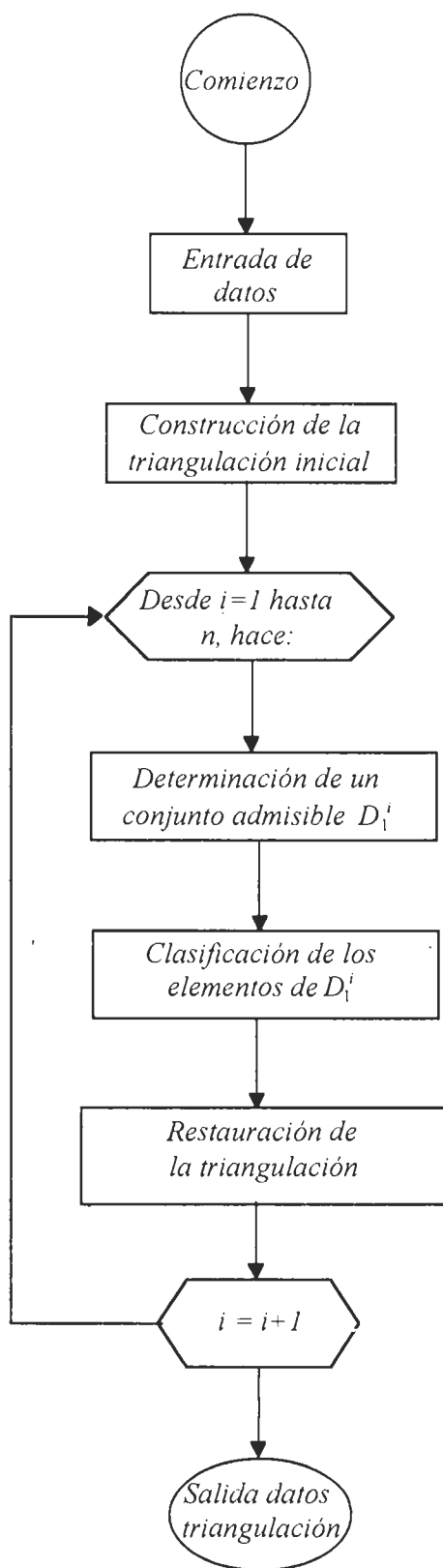
Si las esferas circunscritas a los tetraedros de D_1^i se calculan exactamente, el conjunto D_1^i será en forma de estrella respecto a x_{i+1} y no contendrá ningún otro punto de X aparte de x_{i+1} ; D_2^i estará bien definido.

Ejemplo de Adición de un Punto a la Triangulación



- (a) Se añade el punto x_9 a la triangulación $D(X_8)$ formada con los puntos $X_8 = \{x_1, \dots, x_8\}$.
- (b) Los tetraedros cuyas esferas circunscritas contienen a x_9 son $D_1^{\circ} = \{T_1, \dots, T_4\}$.
- (c) La triangulación que incluye a x_9 es $D(X_9) = (D(X_8) - D_1^{\circ}) \cup D_2^{\circ}$, donde $D_2^{\circ} = \{T'_1, \dots, T'_6\}$.

Diagrama de flujo del programa

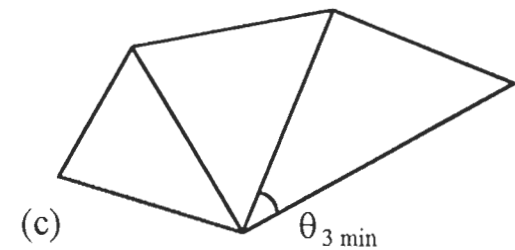
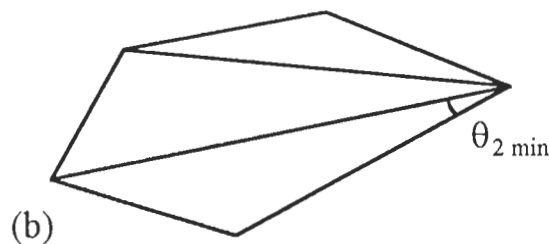
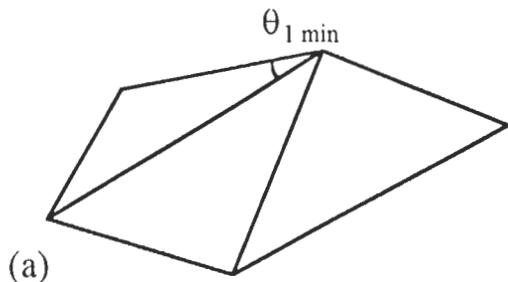


Propiedades de la triangulación de Delaunay (III)

La triangulación de Delaunay presenta algunas propiedades que la hacen muy adecuada para la aplicación del M.E.F. En concreto, para un determinado conjunto de puntos del plano es la triangulación que produce los triángulos más regulares. Sin embargo, no existe ninguna generalización de este resultado en dimensión mayor que dos.

Propiedad

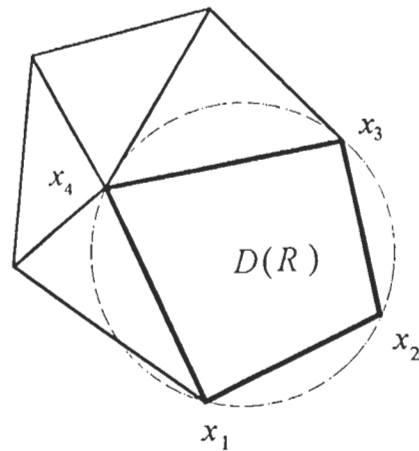
De todas las triangulaciones de un conjunto de puntos $X \subset E^2$ en posición general, la de Delaunay es aquella que hace máximo el ángulo mínimo de cualquier triángulo. \square



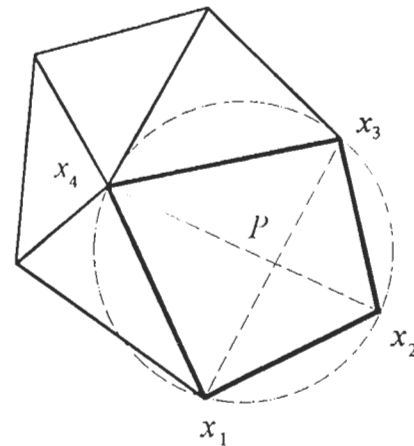
La triangulación de Delaunay (c) es la que hace máximo el ángulo mínimo: $\theta_{3 \min} > \theta_{2 \min} > \theta_{1 \min}$.

Caso degenerado

Si X no está en posición general hay celdas degeneradas (figura (a)). La descomposición en símlices de un politopo correspondiente a una celda degenerada (figura (b)) no es única. Los algoritmos existentes para generar la triangulación de Delaunay tienen dificultades en esta situación. Las dificultades subsisten incluso cuando la disposición de puntos es tal que X no está *claramente* en posición general, es decir, cuando hay más de $k + 1$ puntos de X *próximos* a la misma k -esfera.

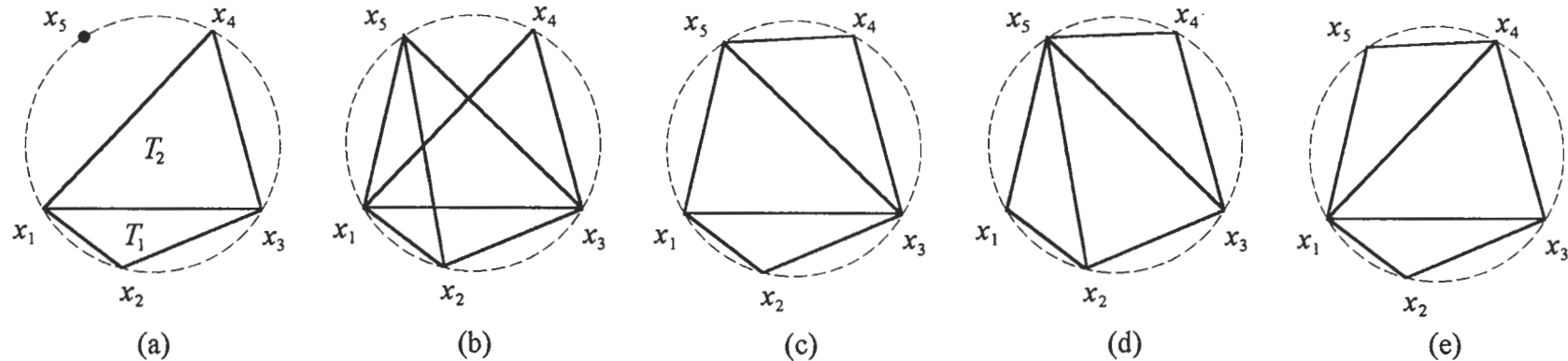


(a)



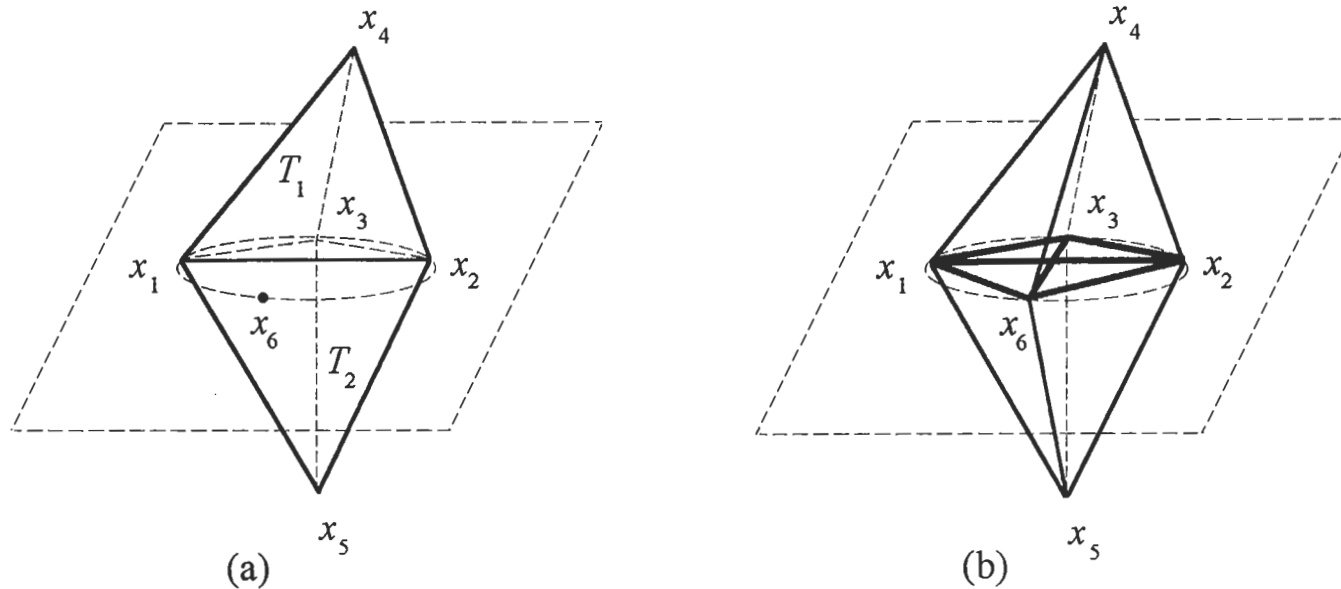
(b)

Problemas Debidos a Errores de Redondeo (I)



- Adición de x_5 a la triangulación de $X_4 = \{x_1, \dots, x_4\}$, figura (a).
- Las triangulaciones posibles, en función de la posición de x_5 calculada por el ordenador, son:
 - (b) Si $x_5 \in B(T_1)$ y $x_5 \notin B(T_2)$, el algoritmo elimina T_1 y conserva T_2 ; triangulación no admisible.
 - (c) Si $x_5 \notin B(T_1)$ y $x_5 \in B(T_2)$, el algoritmo conserva T_1 y elimina T_2 ; triangulación admisible.
 - (d) Si $x_5 \in B(T_1)$ y $x_5 \in B(T_2)$, el algoritmo elimina T_1 y T_2 ; triangulación admisible.
 - (e) Si $x_5 \notin B(T_1)$ y $x_5 \notin B(T_2)$, el algoritmo conserva T_1 y T_2 ; triangulación admisible.

Problemas Debidos a Errores de Redondeo (II)



- (a) Adición del punto x_6 , coplanario con x_1, x_2 y x_3 , a la triangulación formada por los tetraedros T_1 y T_2 .
- (b) Si la posición de x_6 , calculada por el ordenador, es tal que $x_6 \in B(T_1)$ y $x_6 \notin B(T_2)$, se forma el *tetraedro* con volumen nulo, $\{x_1, x_2, x_3, x_6\}$. Esta situación puede ser peor aun si el punto x_6 estuviera por debajo del plano definido por x_1, x_2 y x_3 y el ordenador siguiera evaluando que $x_6 \in B(T_1)$ y $x_6 \notin B(T_2)$. En ese caso los puntos $\{x_1, x_2, x_3, x_6\}$ no formarían un tetraedro.

Alternativas para solucionar las inconsistencias topológicas en la triangulación de Delaunay

□ Aritmética no exacta

Elaborar algún algoritmo capaz de crear una triangulación consistente, aunque ésta no sea exactamente de Delaunay.

⇒ Problemas: Puede llegar a fallar cuando los puntos están muy próximos entre sí.

□ Aritmética exacta

1. Aplicar un factor de escala a los datos de la entrada de manera que los números en coma flotante se conviertan en enteros.
2. Efectuar los cálculos de los determinantes $\Delta(x_{i+1}, T_j)$ y $\det(T_j)$ (que establecen si el punto x_{i+1} está o no dentro de la esfera circunscrita a T_j y la orientación de este tetraedro, respectivamente) utilizando números enteros, exclusivamente.

⇒ Problemas: Limitación en las cantidades que aparecen en los determinantes, y por tanto, en la longitud del dominio. Aumento en el tiempo de CPU en los cálculos. Persistencia de tetraedros *planos*.

Construcción de $D(X_{i+1})$. Consideraciones Preliminares

- El conjunto D_1^i debe satisfacer unas determinadas condiciones para que $D(X_{i+1})$ sea admisible.
- Definiciones:
 1. Diremos que la cara $C \in C_{f D_1}^i$ es ε -visible desde x_{i+1} si y sólo si es visible desde ese punto, y además:

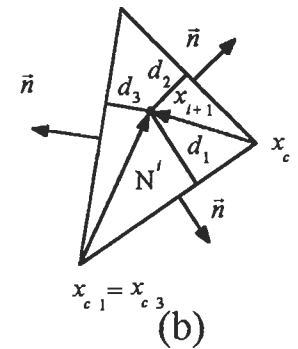
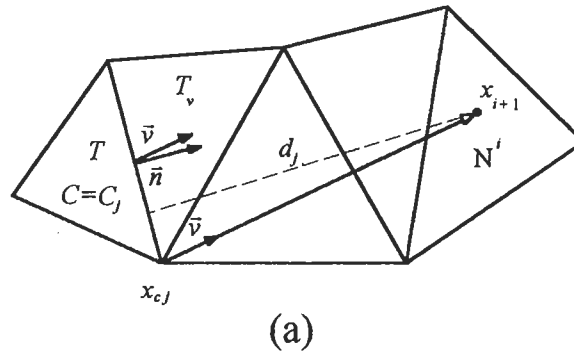
$$\min_{x \in C} \{\cos(\overline{x_{i+1}x}, \vec{n})\} > \varepsilon$$

donde \vec{n} es el vector unitario normal a C y saliente de D_1^i y ε un determinado número positivo.

2. Diremos que un politopo es ε -en forma de estrella desde x_{i+1} si todas sus caras son ε -visibles desde ese punto.
- El conjunto D_1^i debe satisfacer los siguientes requisitos:
 1. Un tetraedro T pertenece a D_1^i sólo si $x_{i+1} \in B(T)$.
 2. El conjunto D_1^i debe ser ε -en forma de estrella desde x_{i+1} .
 3. El conjunto D_1^i no debe contener ningún otro punto de X aparte de x_{i+1} .

Construcción de $D(X_{i+1})$. Búsqueda del Núcleo (I)

- Definimos *núcleo*, N^i , como el tetraedro o conjunto de tetraedros que contienen a x_{i+1} .

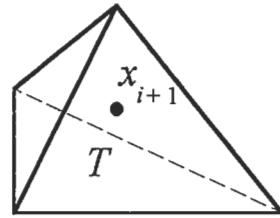


- Algoritmo para encontrar alguno de los tetraedros del núcleo.**

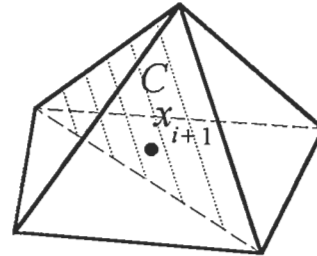
Sea T_u el último de los tetraedros construido en la triangulación.

- $T := T_u$
- Si $(\bar{n} \cdot \bar{v} \leq 0 \quad \forall C \in T)$ entonces $T \in N^i$; fin (figura (b)).
en caso contrario, encontramos la cara C de T que maximiza $\bar{n} \cdot \bar{v}$ (figura (a)).
- Sea T_v el tetraedro que comparte C con T . Hacemos $T := T_v$ y retornamos al paso 2.

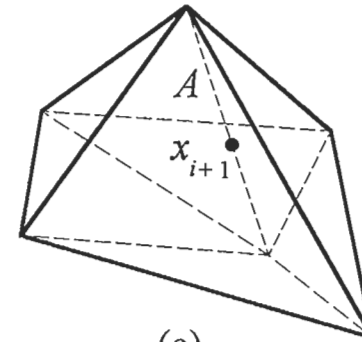
Construcción de $D(X_{i+1})$. Búsqueda del Núcleo (II)



(a)



(b)



(c)

□ Determinación del núcleo:

(a) Si $x_{i+1} \in \overset{\circ}{T}$, el núcleo es T .

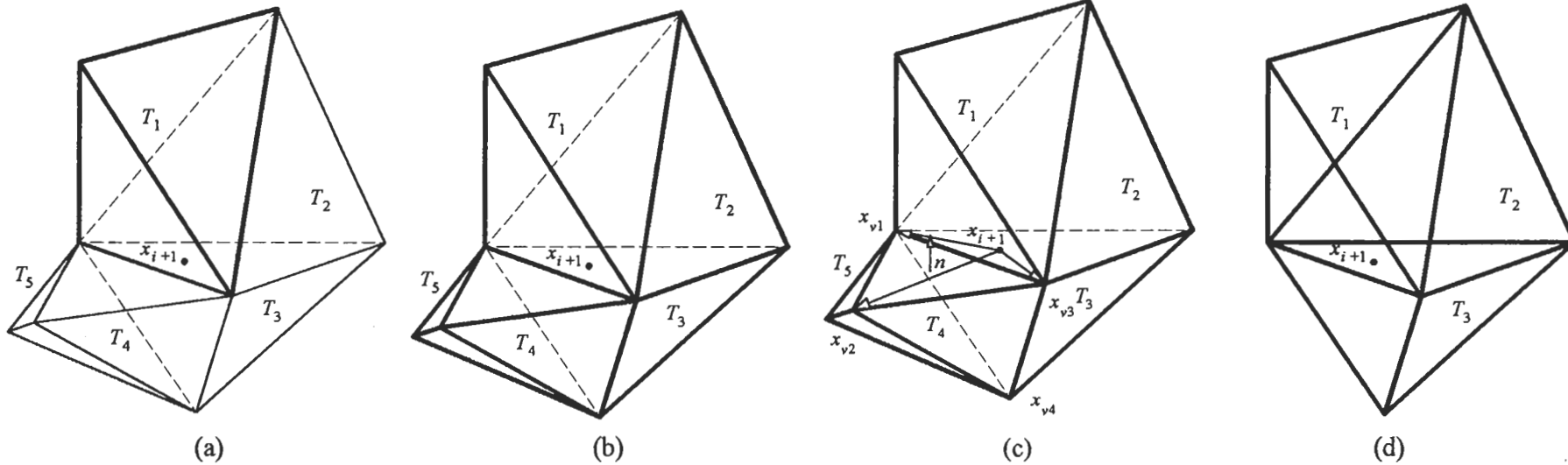
(b) Si $x_{i+1} \in \overset{\circ}{C}$, el núcleo es el par de tetraedros que comparten C .

(c) Si $x_{i+1} \in \overset{\circ}{A}$, el núcleo es el conjunto de tetraedros que comparten A .

□ El núcleo es ε -en forma de estrella respecto del punto x_{i+1} .

□ Encontramos el parámetro ε_N para el que el núcleo es ε -en forma de estrella.

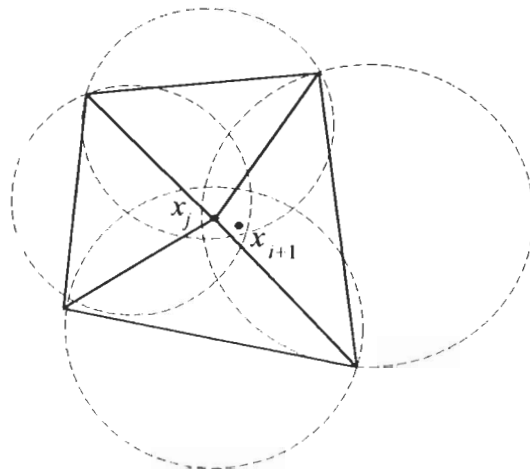
Construcción de $D(X_{i+1})$. Determinación de D_1^i



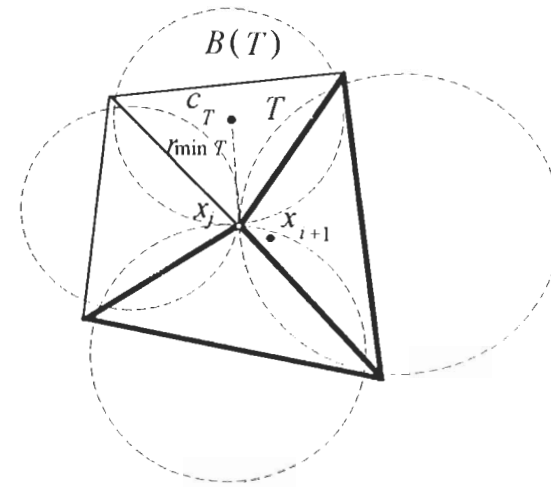
- (a) Núcleo, $N^i = \{T_1\}$, y conjunto de tetraedros, $\{T_1, T_2, T_3, T_4, T_5\}$, cuyas esferas contienen a x_{i+1} .
- (b) Ampliación del núcleo hasta llegar a $D_1^i = \{T_1, T_2, T_3, T_4, T_5\}$.
- (c) El conjunto D_1^i no es ε -en forma de estrella desde x_{i+1} ; por ejemplo, $\cos(\overline{x_{i+1}x_{v2}}, \vec{n}) < 0$.
- (d) El algoritmo comienza de nuevo la determinación de D_1^i . Ahora, el tetraedro T_4 se considera como si su esfera circunscrita, $B(T_4)$, no contuviera a x_{i+1} , y por tanto, el algoritmo se detiene una vez se haya añadido T_3 al conjunto D_1^i .

Construcción de $D(X_{i+1})$. D_1^i sólo debe contener a x_{i+1}

- El algoritmo debe evitar que ningún punto de X , aparte de x_{i+1} , esté contenido en D_1^i .



(a)



(b)

- Los errores de redondeo en el cálculo de las esferas circunscritas pueden hacer que éstas contengan algún punto de X aparte de x_{i+1} (a).
- Para cada tetraedro se calcula el *radio mínimo*, $r_{\min T} = \min\{d(c_T, V_T)\}$, de $B(T)$, donde V_T es cualquiera de los vértices de T y c_T el centro de $B(T)$ (b).
- La determinación de D_1^i se lleva a cabo con estos valores de los radios.

Algoritmo para la determinación de D_1^i

Se expande el núcleo con ciertos controles hasta que se obtiene D_1^i .

Consideremos $B^i = \{B(T) / T \in D(X_i)\}$ y $R_{B(T)}$ el radio de $B(T)$.

procedimiento CONJUNTO D_1^i

entrada: $D(X_i), B^i, N^i, x_{i+1}, \varepsilon, \varepsilon_N$; salida: D_1^i

$D_1^i := N^i$

hallamos $ND_1^i = \{T \text{ adyacentes a } N^i / x_{i+1} \in B(T)\}$.

mientras ($ND_1^i \neq \emptyset$) **hace**

$D_1^i := D_1^i \cup ND_1^i$ (* se actualiza el conjunto D_1^i *)

hallamos $ND_1^i = \{T \text{ adyacentes a } D_1^i / x_{i+1} \in B(T)\}$.

fin mientras

si (D_1^i no es ε -en-forma-de-estrella respecto de x_{i+1}) **entonces**

hallamos $C_m = \{C \in \text{frontera de } D_1^i / C \text{ no es } \varepsilon\text{-visible}\}$.

hallamos $T_m = \{T \in D_1^i / \text{alguna cara de } T \in C_m\}$.

si ($\exists T \in T_m \cap N^i$) **entonces** (* el valor actual de ε es demasiado restrictivo. Se substituye por ε_N , que es menor*)

$\varepsilon := \varepsilon_N$

CONJUNTO D_1^i entrada: $D(X_i), B^i, N^i, x_{i+1}, \varepsilon, \varepsilon_N$; salida: D_1^i

(* el algoritmo comienza de nuevo con un ε menor*)

si no

$R_{B(T)} := 0, \forall T \in T_m$ (* esto evita que el tetraedro T sea incluido de nuevo en D_1^i *)

CONJUNTO D_1^i entrada: $D(X_i), B^i, N^i, x_{i+1}, \varepsilon, \varepsilon_N$; salida: D_1^i

(* el algoritmo comienza de nuevo considerando que las "esferas circunscritas" a T_m tienen radios nulos *)

fin si

fin si

se restauran los valores iniciales de aquellos radios que hayan sufrido variación durante el proceso.

fin procedimiento.

Construcción de D_2^i

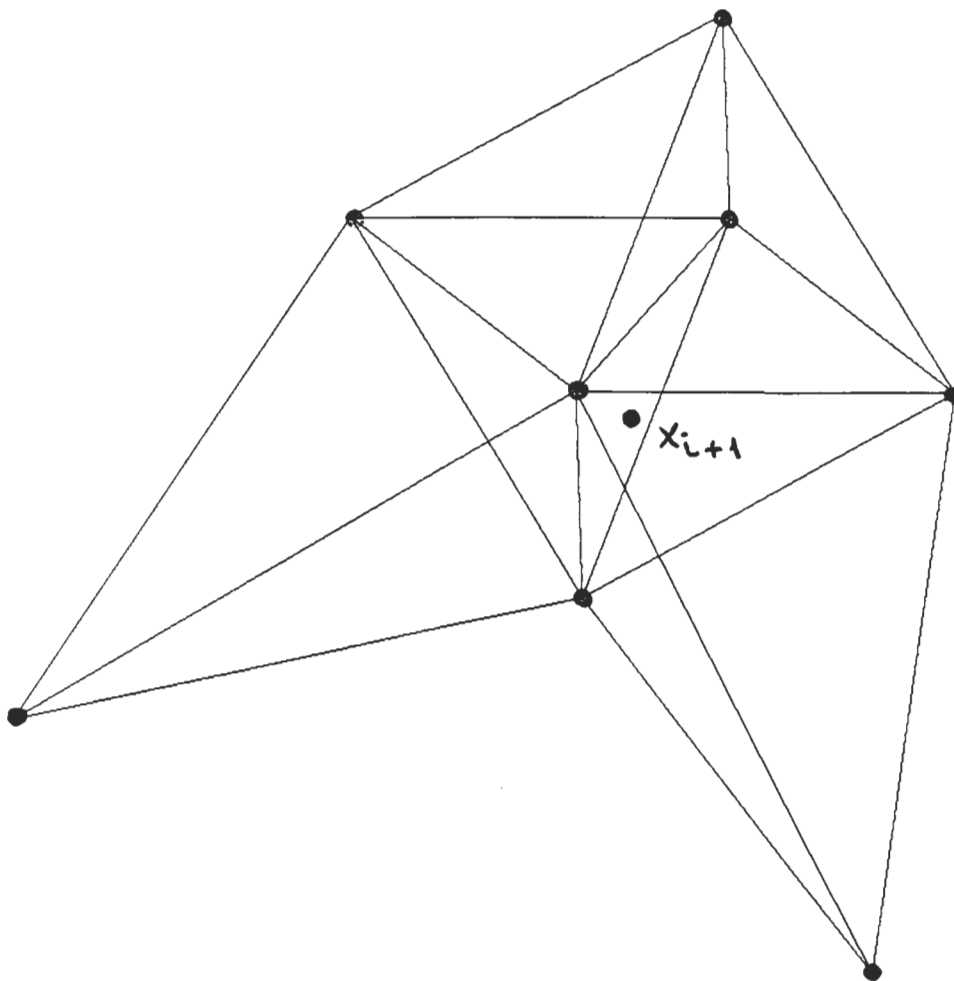
Una vez determinados:

- $D_1^i, C_1^i, A_1^i \in D(X_i)$: conjuntos de tetraedros, caras y aristas que desaparecen al añadir x_{i+1} .

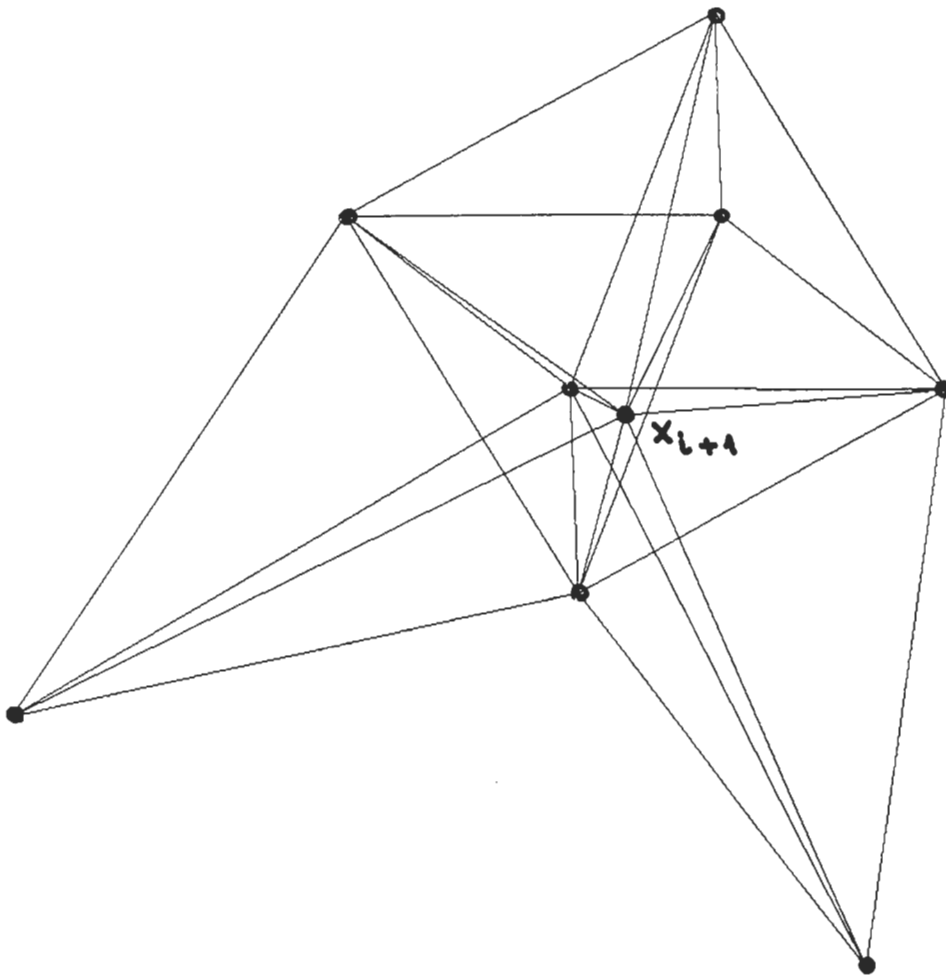
Construimos:

- $D_2^i, C_2^i, A_2^i \in D(X_{i+1})$: conjuntos de tetraedros, caras y aristas formadas a partir de x_{i+1} .
 - El conjunto D_2^i se forma con el punto x_{i+1} y las caras de la frontera de D_1^i .
 - El conjunto C_2^i se forma con el punto x_{i+1} y las aristas de la frontera de D_1^i .
 - El conjunto A_2^i se forma con el punto x_{i+1} y los vértices de la frontera de D_1^i .
- Se restauran las conexiones entre estos nuevos elementos.
- La triangulación de $D(X_{i+1})$ concluye.

Conjunto de tetraedros $T_i \equiv D_A^i$



Conjunto de tetraedros $T_{2i} \equiv D_2^i$



Estructura de datos del programa (I)

Cada punto, arista, cara y tetraedro están representados por un nodo, nv , na , nc y nt , respectivamente.

Coordenadas de los puntos de X : $x(nv)$, $y(nv)$, $z(nv)$.

Coordenadas del centro y radio de la esfera circunscrita a cada tetraedro: $x_e(nt)$, $y_e(nt)$, $z_e(nt)$, $r_e(nt)$.

Descripción de los elementos:

1. Descripción del tetraedro por sus caras: $CT(i,nt) = nc \quad (1 \leq i \leq 4)$.
El vector CT proporciona las cuatro caras del tetraedro nt .
2. Descripción del tetraedro por sus vértices: $VT(i,nt) = nv \quad (1 \leq i \leq 4)$.
El vector VT proporciona los cuatro vértices del tetraedro nt .
3. Descripción de la cara por sus aristas: $AC(i,nc) = na \quad (1 \leq i \leq 3)$.
El vector AC proporciona las tres aristas de la cara nc .
4. Descripción de la cara por sus vértices: $VC(i,nc) = nv \quad (1 \leq i \leq 3)$.
El vector VC proporciona los tres vértices de la cara nc .
5. Descripción de la arista por sus vértices: $VA(i,na) = nv \quad (1 \leq i \leq 2)$.
El vector VA proporciona los dos vértices de la arista na .

⇒ Los vértices de estos elementos son los puntos de la triangulación, es decir, los puntos de X .

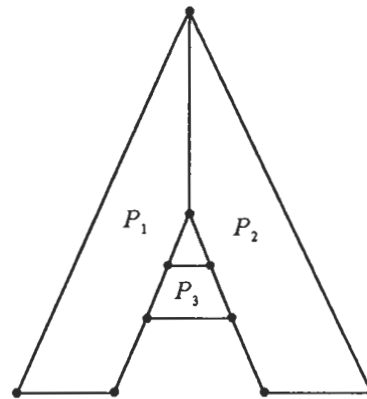
Estructura de datos del programa (II)

Conexiones entre elementos:

1. Tetraedros que comparten una cara: $TCC(i,nc) = nt \quad (1 \leq i \leq 2)$.
El vector TCC nos proporciona los tetraedros, nt , que comparten la cara nc . ($TCC(i,nc) = 0$, para $i=1$ ó 2 , si la cara nc está sobre la envolvente exterior del dominio)
 2. Caras que comparten una arista: $CCA(i,na) = nc \quad (1 \leq i \leq tcca(na))$.
El vector CCA nos proporciona las caras, nc , que comparten la arista na . El vector $tcca$ indica el total de caras adyacentes a la arista na .
 3. Aristas que comparten un vértice: $ACV(i,nv) = na \quad (1 \leq i \leq tacv(nv))$.
El vector ACV nos proporciona las aristas, na , que comparten el vértice nv . El vector $tacv$ indica el total de aristas adyacentes al vértice nv .
- ⇒ Ventajas: Es una estructura de datos es muy versátil. Por ejemplo, permite la aplicación del M.E.F con elementos basados en las aristas (edge elements), de gran utilidad en electromagnetismo. Facilita enormemente el ensamblaje de las matrices elementales en forma compacta.
- ⇒ Inconvenientes: Gran gasto de memoria, especialmente si el lenguaje de programación no permite el dimensionamiento dinámico.

Definición del Dominio y Generación Automática de Puntos (I)

- La triangulación, $T(\Omega)$, del dominio queda determinada cuando se generan puntos sobre la superficie e interior de Ω con unas densidades apropiadas.
- La triangulación del dominio se obtiene sustrayendo de la triangulación total, $D(X)$, los tetraedros que no pertenecen a $T(\Omega)$.



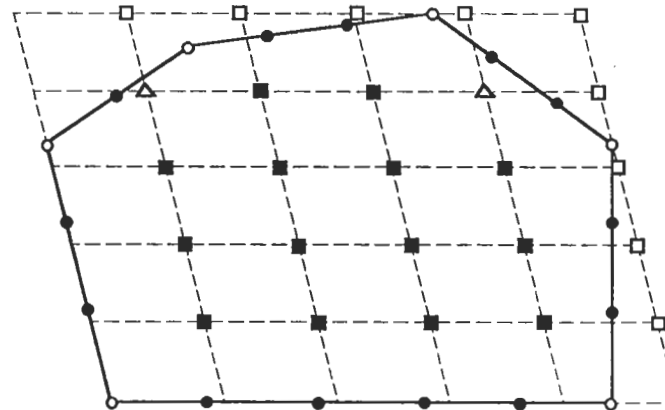
- Para simplificar la generación de puntos, el dominio Ω se descompone en poliedros convexos.
- Los poliedros convexos se definen por sus caras, las caras (convexas) por sus aristas y las aristas por sus vértices.
- El programa genera puntos automáticamente en el interior relativo de cada arista, cara y poliedro.
- La **distancia entre puntos** se especifica previamente en la entrada de datos.

GENERACIÓN DE PUNTOS SOBRE LÍNEAS, SUPERFICIES Y REGIONES

□ LÍNEAS.



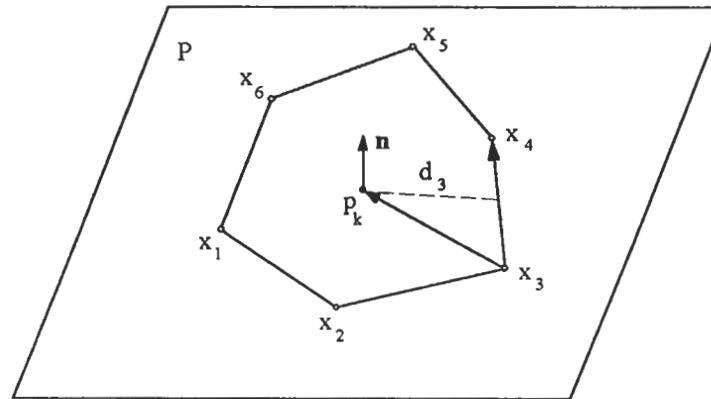
□ SUPERFICIES PLANAS POLIGONALES CONVEXAS.



Origen del sistema
de referencia

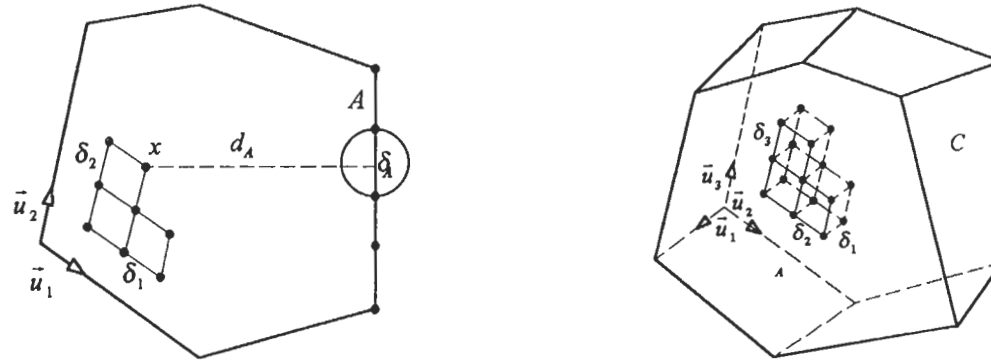
□ REGIONES POLIÉDRICAS CONVEXAS: De forma análoga a las superficies.

PUNTOS INTERIORES A SUPERFICIES O REGIONES. CRITERIO



- Sea $\{x_1, x_2, \dots, x_n\}$ el conjunto de vértices de una poligonal convexa, ordenados cíclicamente.
 - Sea n el vector unitario normal a la superficie ($n = x_1x_2 \times x_2x_3 / \|x_1x_2 \times x_2x_3\|$).
 - El punto p_k está dentro de la poligonal $\Leftrightarrow \forall i=1,2, \dots, n$ resulta $d_i = [(\mathbf{n} \times \mathbf{x}_i\mathbf{x}_{i+1}) \cdot \mathbf{x}_i\mathbf{p}_k / \|\mathbf{x}_i\mathbf{x}_{i+1}\|] > 0$ considerando $x_{n+1} = x_1$; la cantidad d_i representa la distancia a cada lado de la poligonal.
- ☞ Una idea **similar** se utiliza para generar puntos en el interior de las regiones poliédricas convexas en que se descompone el objeto.

Definición del Dominio y Generación Automática de Puntos (II)



□ **Generación de puntos en las aristas.**

La distancia δ_A entre puntos interiores de una arista A se especifica en la entrada de datos.

□ **Generación de puntos en las caras.**

Los puntos interiores se generan en las direcciones de \vec{u}_1 y \vec{u}_2 con unas determinadas distancias entre ellos, δ_1 y δ_2 , respectivamente.

Si $d_A > 1/2\delta_A$, la arista A no es eliminada por efecto de los puntos interiores de la cara.

□ **Generación de puntos interiores en los poliedros.**

Los puntos interiores se generan en las direcciones de \vec{u}_1 , \vec{u}_2 y \vec{u}_3 con unas determinadas distancias entre

ellos. Si la distancia de los puntos interiores a la cara C es mayor que $d_C = \frac{1}{2}\sqrt{\delta_1^2 + \delta_2^2} + \frac{1}{2}\max\{\delta_A\}$,

donde δ_A es la distancia entre puntos en cada una de las aristas de C , entonces esta cara no es eliminada por efecto de los puntos interiores de poliedros adyacentes.

CONSERVACIÓN DE LA GEOMETRÍA DEL OBJETO

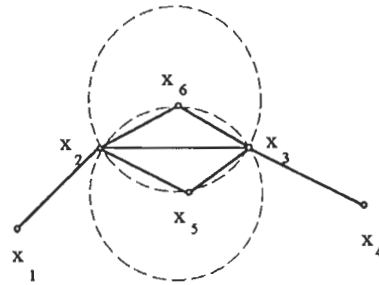


Fig.1

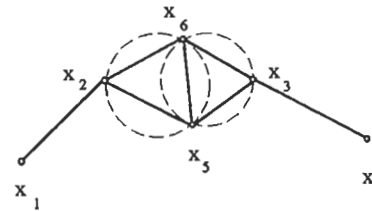


Fig.2

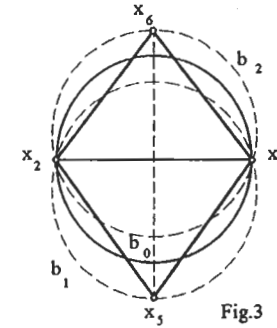


Fig.3

- La triangulación de la fig.1 no es una triangulación de Delaunay ya que no respeta la propiedad de las esferas vacías (según la cual, las esferas circunscritas a los tetraedros no contienen ningún punto de la triangulación). En cambio, la de la fig. 2 sí lo es.
- Supongamos que los segmentos (x_1, x_2) , (x_2, x_3) y (x_3, x_4) pertenecen a la geometría del objeto y que se deben insertar los puntos x_5 y x_6 a ambos lados del segmento (x_2, x_3) .
- Cuando se inserte el punto x_6 en la triangulación el segmento (x_2, x_3) desaparecerá dando lugar al segmento (x_5, x_6) . No se ha respetado la geometría del objeto.
- Una condición suficiente para conservar el segmento (x_2, x_3) es que las distancias de los puntos x_5 y x_6 a dicho segmento sea mayor que la mitad de la distancia entre x_2 y x_3 .
- Si los puntos x_5 y x_6 **cumplen** la condición anterior se cumple:
 $x_5 \text{ y } x_6 \notin b_0 \Rightarrow x_5 \notin b_2 \text{ y } x_6 \notin b_1$ y por tanto la triangulación de Delaunay de los puntos x_2, x_3, x_5 y x_6 conserva el segmento (x_2, x_3) .

Clasificación de los elementos de la triangulación (I)

OBJETIVO: Una vez realizada la triangulación $D(X)$, a cada punto, arista, cara y tetraedro pertenecientes al dominio se le debe asignar un número de referencia que permita imponer las condiciones de contorno oportunas o asociarle un determinado tipo de material.

REALIZACIÓN: Supongamos que V_i , C_i , y A_i son, respectivamente, los subvolúmenes convexos, superficies convexas y segmentos en los que se descompone el dominio. A cada uno de estos elementos se le ha asignado, en la entrada de datos, un número de referencia que posteriormente puede ser interpretado como una condición de contorno, un tipo de material, etc.

Clasificación de los tetraedros de la triangulación:

$$\forall t \in D(X) \begin{cases} t \notin \text{ningún } V_i \Rightarrow t \notin \text{dominio} ; \text{rnt}(t) := 0 \\ t \in V_i ; \begin{cases} \text{asignamos a } t \text{ el número de referencia de } V_i \\ \text{almacenamos los } n^{\circ} \text{ globales de estos tetraedros: } n := n + 1 ; \text{rnt}(t) := n \end{cases} \end{cases}$$

Clasificación de las caras de la triangulación:

$$\forall c \in D(X) \begin{cases} c \notin \text{ningún } C_i \Rightarrow c \notin \text{frontera del dominio ni a ninguna interfase entre materiales} ; \text{rnc}(c) := 0 \\ c \in C_i ; \begin{cases} \text{asignamos a } c \text{ el número de referencia de } C_i \\ \text{almacenamos el } n^{\circ} \text{ global de estas caras: } n := n + 1 ; \text{rnc}(c) := n \end{cases} \end{cases}$$

Clasificación de los elementos de la triangulación (II)

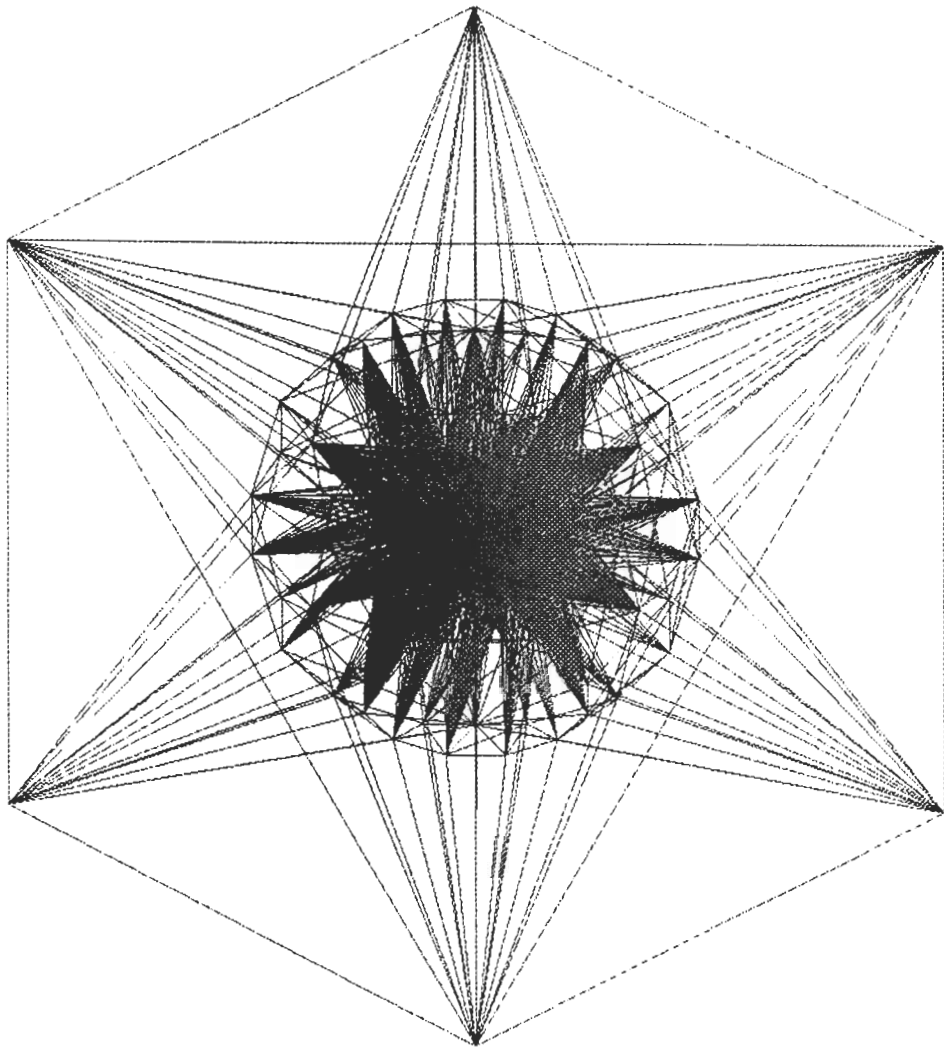
Clasificación de las aristas de la triangulación:

$$\forall a \in D(X) \left\{ \begin{array}{l} a \notin \text{ningún } A_i, C_i, V_i \Rightarrow c \notin \text{al dominio, } rna(a) := 0 \\ a \in A_i; \left[\begin{array}{l} \text{asignamos } a \text{ a el número de referencia de } A_i \\ \text{almacenamos el } n^o \text{ global de estas aristas: } n := n + 1; rna(a) := n \end{array} \right. \\ a \in C_i; \left[\begin{array}{l} \text{asignamos } a \text{ a el número de referencia de } C_i \\ \text{almacenamos el } n^o \text{ global de estas aristas: } n := n + 1; rna(a) := n \end{array} \right. \\ a \in V_i; \left[\begin{array}{l} \text{asignamos } a \text{ a el número de referencia de } V_i \\ \text{almacenamos el } n^o \text{ global de estas aristas: } n := n + 1; rna(a) := n \end{array} \right. \end{array} \right.$$

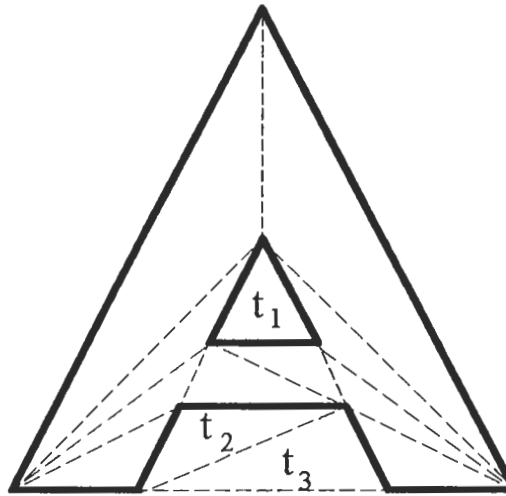
Clasificación de los puntos de la triangulación:

$$\forall v \in D(X) \left\{ \begin{array}{l} v \in \text{a alguno de los vértices de la envolvente del dominio} \Rightarrow v \notin \text{dominio} \\ v \notin \text{a ninguno de los vértices de la envolvente del dominio} \Rightarrow v \in \text{dominio} \end{array} \right.$$

Nota: Para el cálculo de las eventuales integrales de línea que pudieran aparecer en el M.E.F., sólo se necesitaría conocer las aristas pertenecientes a alguno de los segmentos A_i . No obstante, cuando se utilizan elementos basados en las aristas (edge elements) éstas hacen el papel de nodos, y por tanto se hace necesaria su total clasificación.



ELIMINACIÓN DE LOS TETRAEDROS NO PERTENECIENTES AL OBJETO



- El algoritmo de Watson crea una triangulación de la envuelta convexa de la nube de puntos. Es por tanto necesario eliminar los tetraedros exteriores al objeto.
- Para suprimir estos tetraedros hallamos el centro geométrico de cada tetraedro y mediante un procedimiento similar al empleado para situar puntos dentro del objeto, localizamos aquellos que estén fuera del mismo.
- En la figura superior los triángulos t_1 , t_2 y t_3 tienen sus centros fuera del objeto, por tanto serán eliminados de la triangulación final.

Programas principales

PROGRAMA "ENTRADA"

- *Lee los datos que definen la geometría del dominio.*
- *Genera automáticamente los puntos de la triangulación*



PROGRAMA "MALLA"

- *Genera la triangulación de los puntos creados por "ENTRADA"*

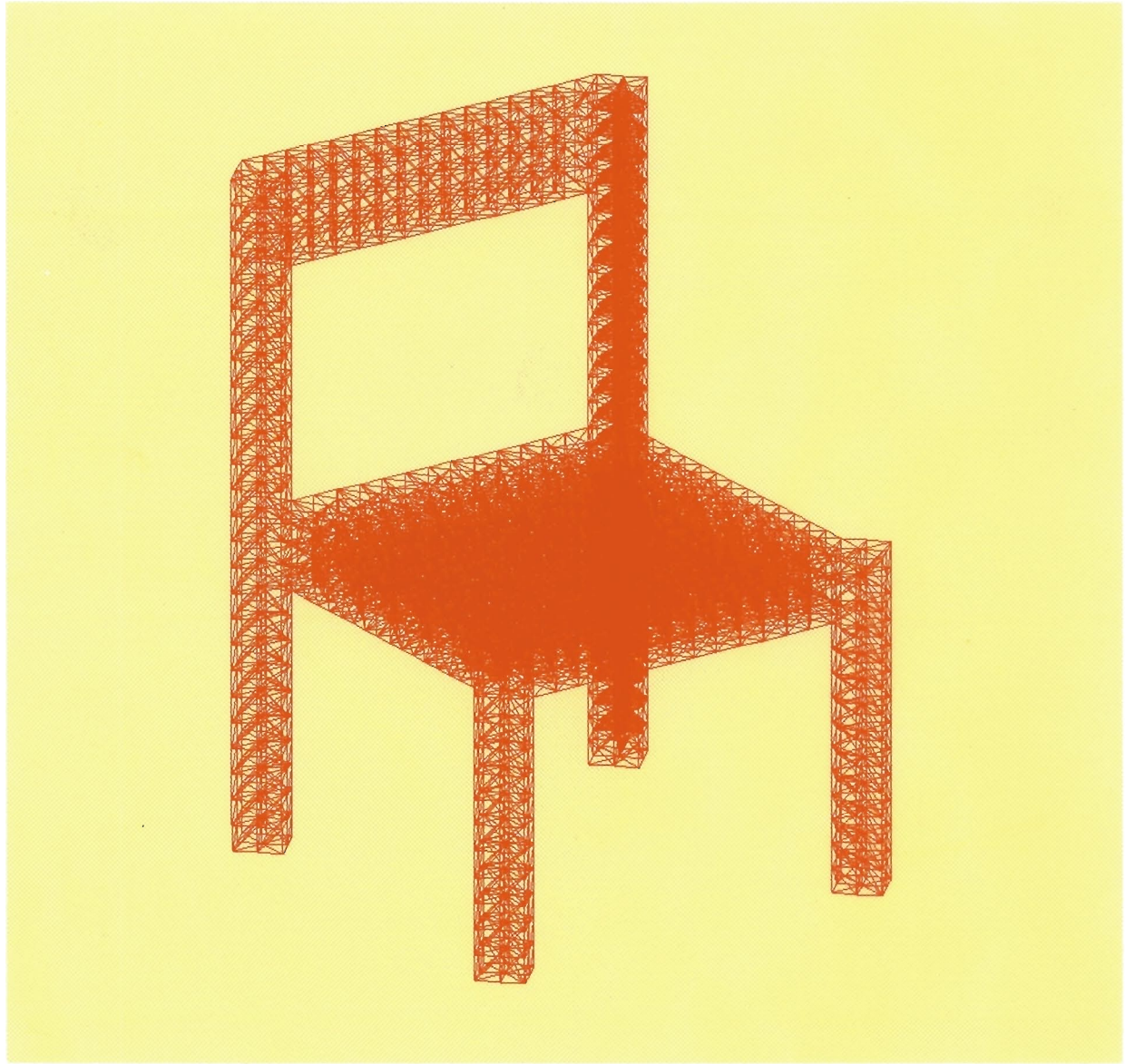


PROGRAMA "CLASIFICA"

- *Establece cuales son los tetraedros, caras y aristas de la triangulación que pertenecen al dominio.*
- *Asigna numeros dereferencia a tetraedros, caras y aristas para imponer condiciones de contorno*
- *Genera una salida de datos apta para la aplicación del M.E.F. y la representación gráfica de la triangulación*





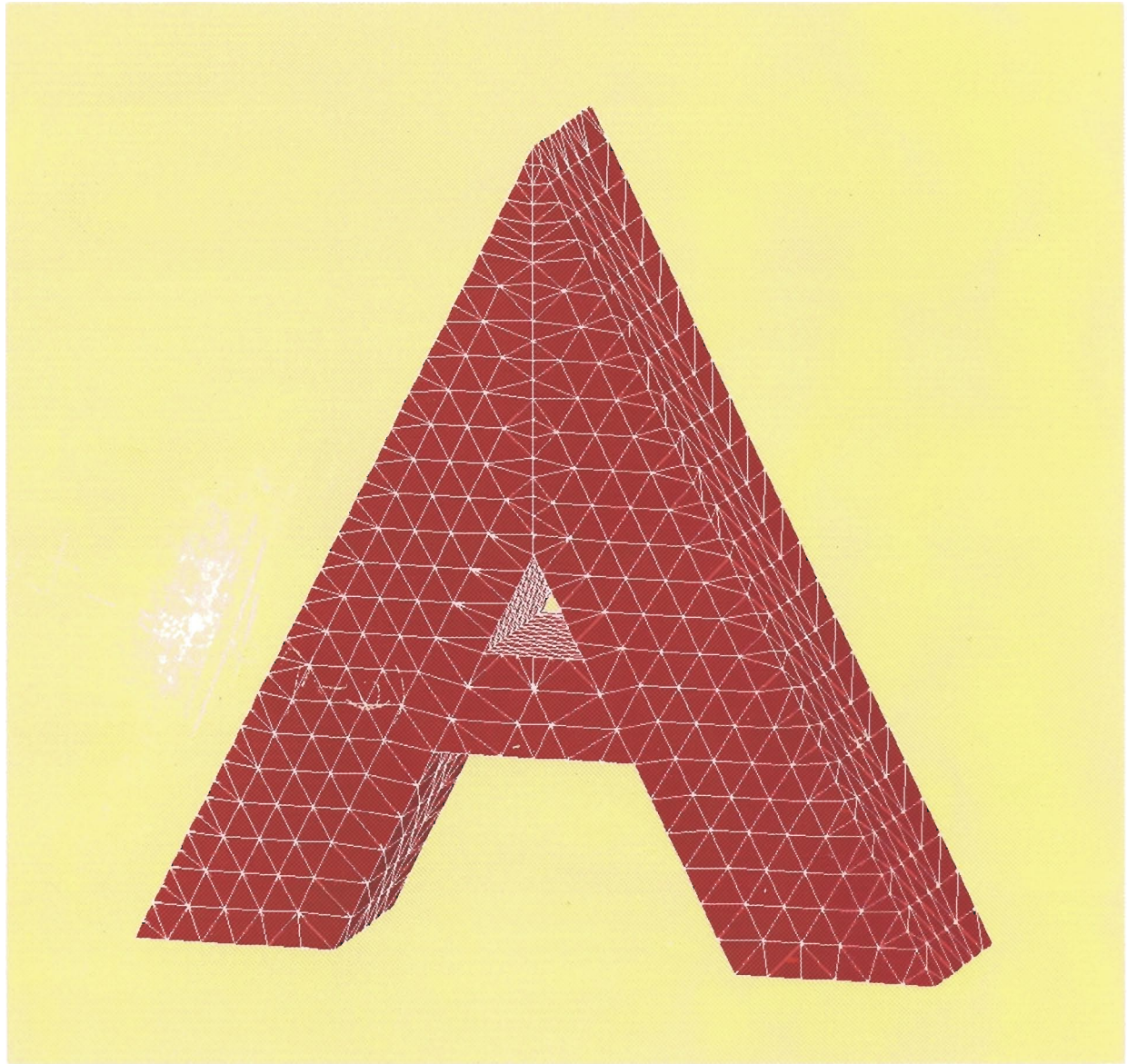


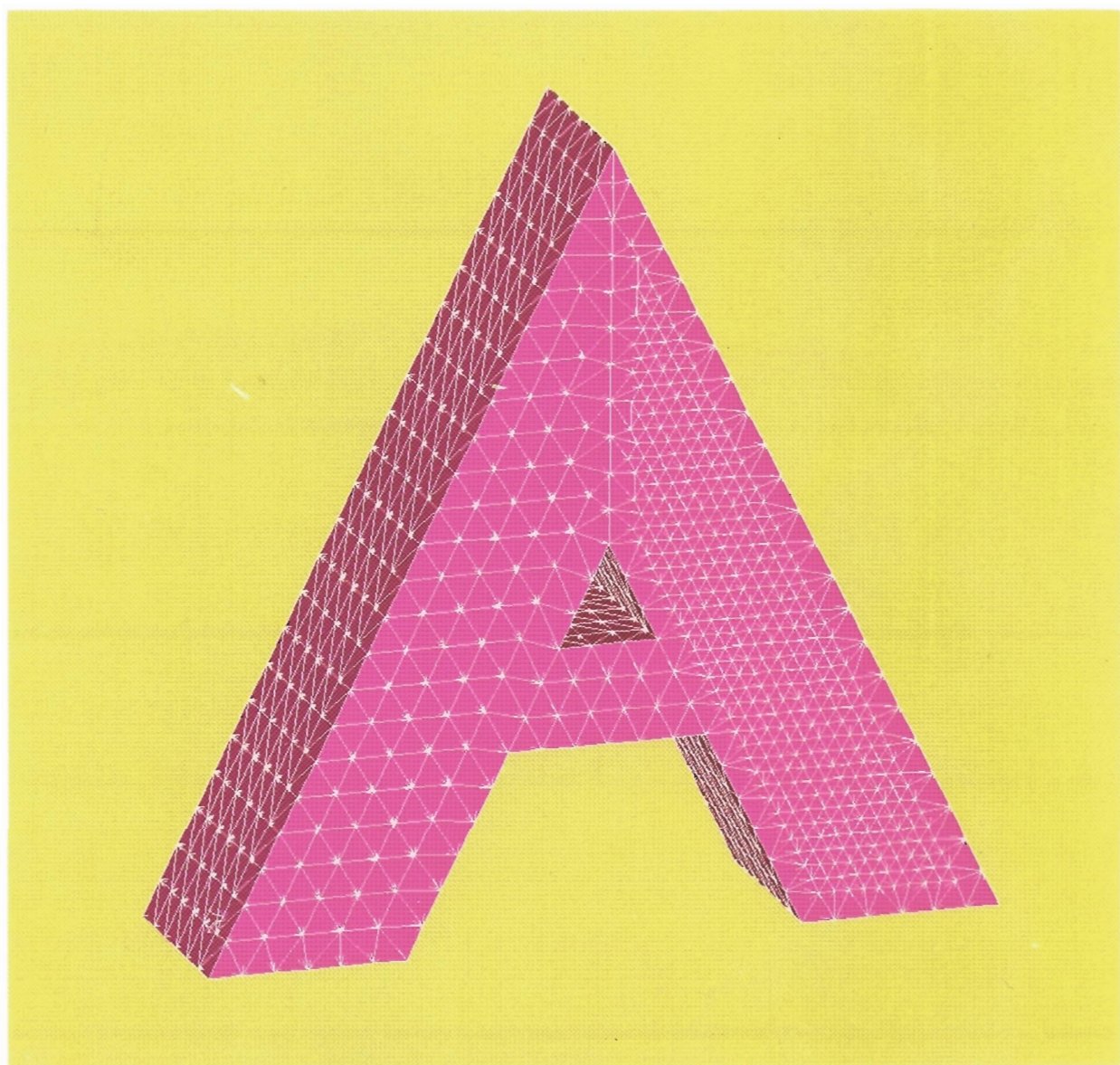




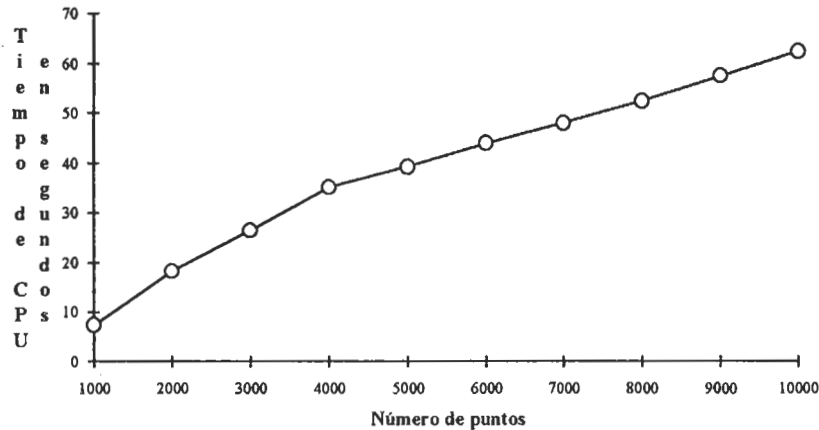
Problema de Triangulación No conforme con
la frontera del dominio



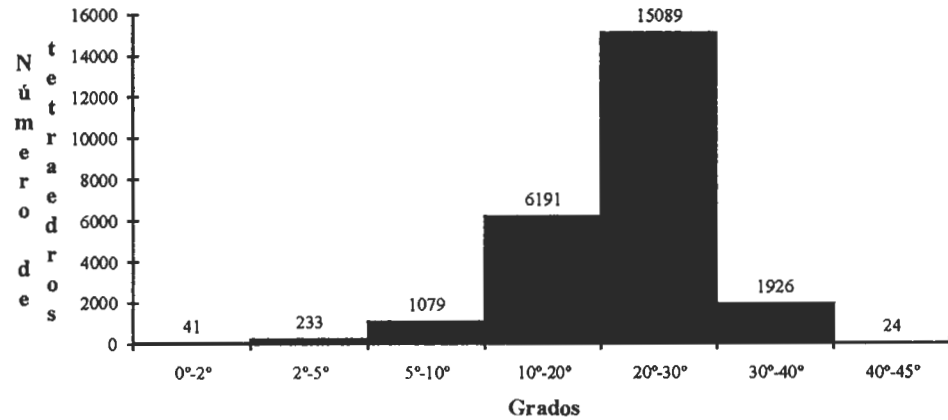




Tiempo de CPU y Medida de Calidad de la Triangulación



(a)



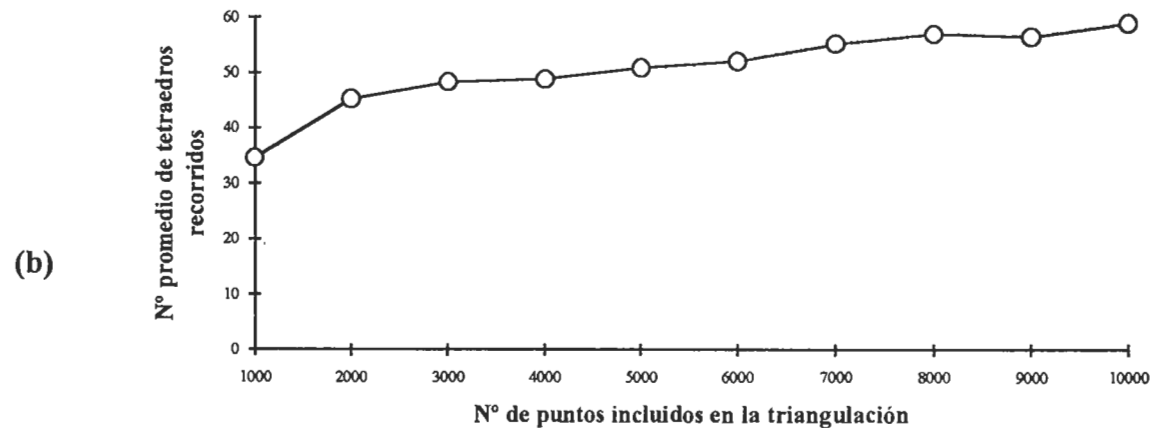
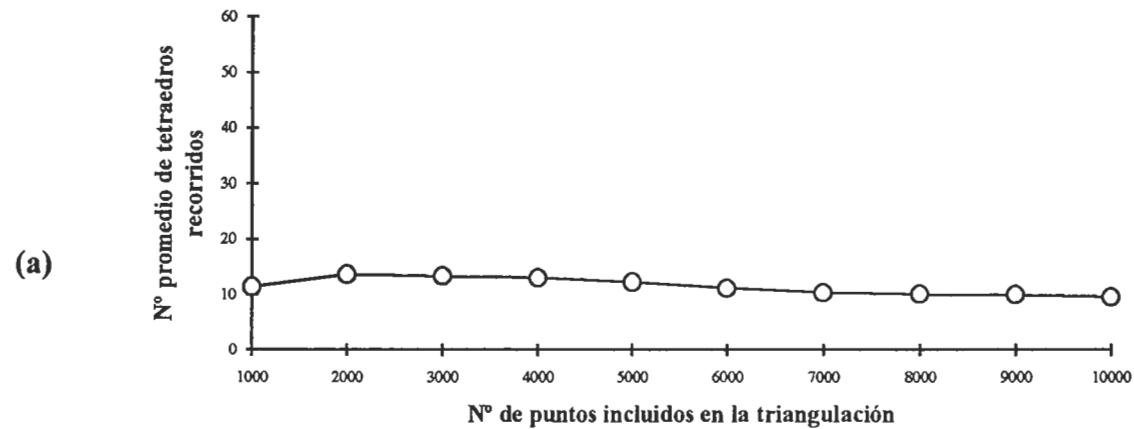
(b)

- Figura (a): Tiempo de CPU en segundos en función del número de puntos en una estación de trabajo HP-730. Aproximadamente se obtiene una complejidad lineal en función del número de puntos.
- Figura (b): Número de tetraedros frente al ángulo ϕ_p en grados. Se puede dar una medida de la calidad de un tetraedro T mediante la expresión $\min_{1 \leq p \leq 4} \{\phi_p\}$, donde:

$$\phi_p = \text{sen}^{-1}(1 - \cos^2 \alpha_p - \cos^2 \beta_p - \cos^2 \gamma_p + 2 \cos \alpha_p \cos \beta_p \cos \gamma_p)^{1/2}$$

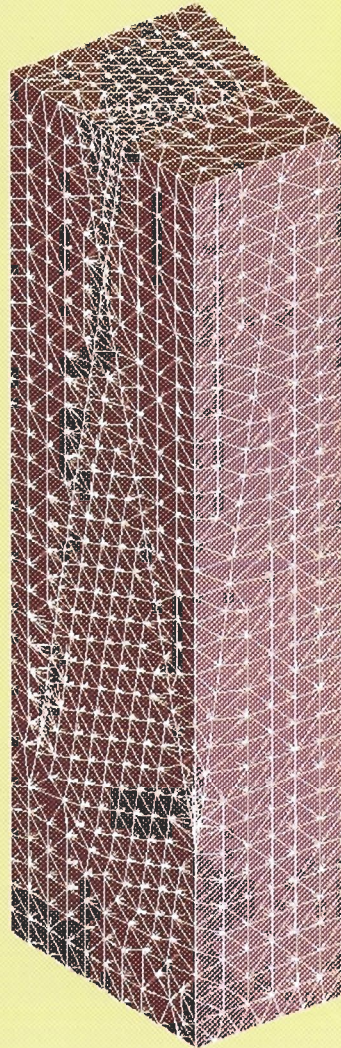
y α_p , β_p , y γ_p son los ángulos planos correspondientes al vértice p . El valor de ϕ_p es 45° para un tetraedro equilátero y 0° para uno plano.

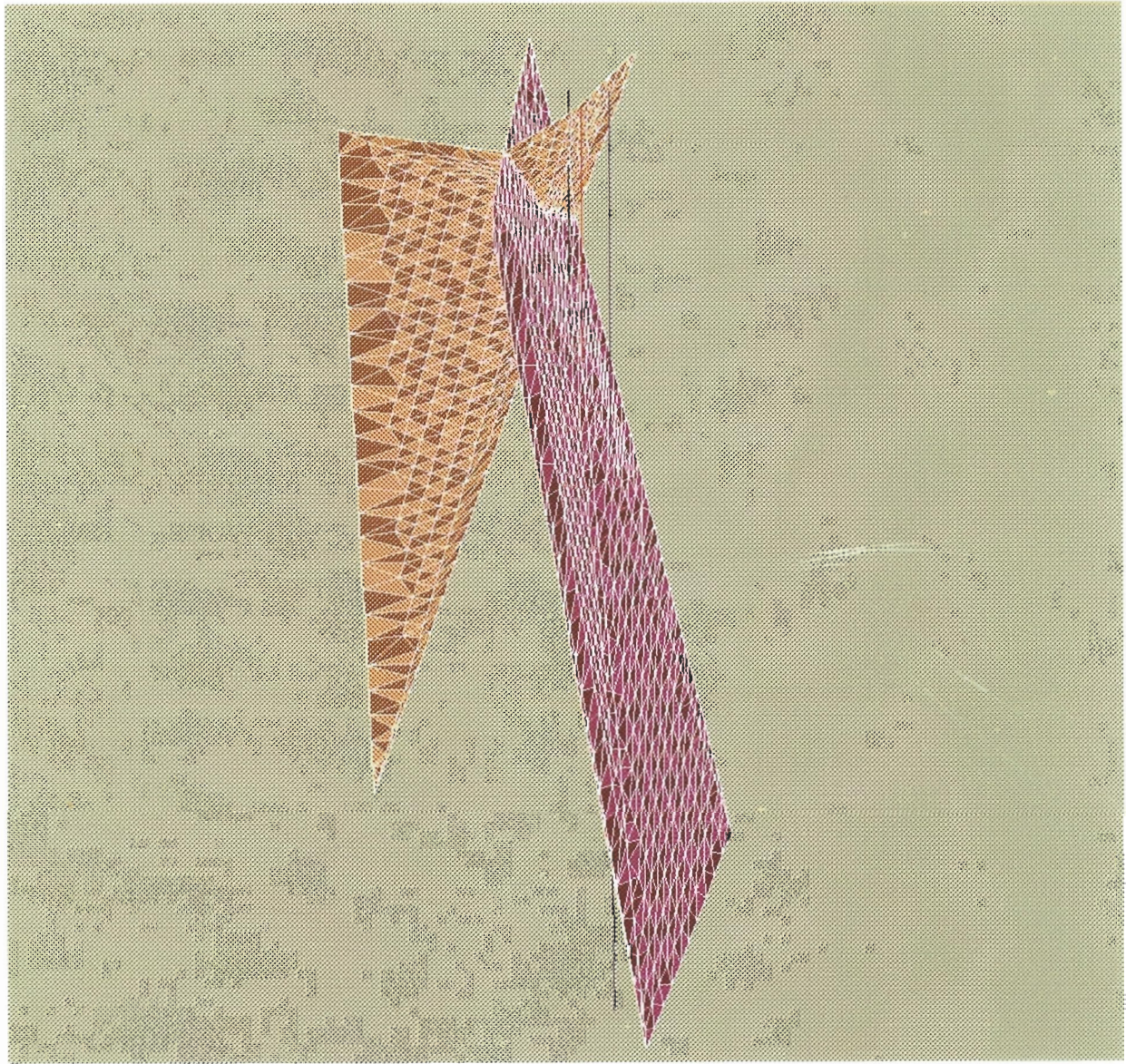
Características del Algoritmo de Búsqueda del Núcleo

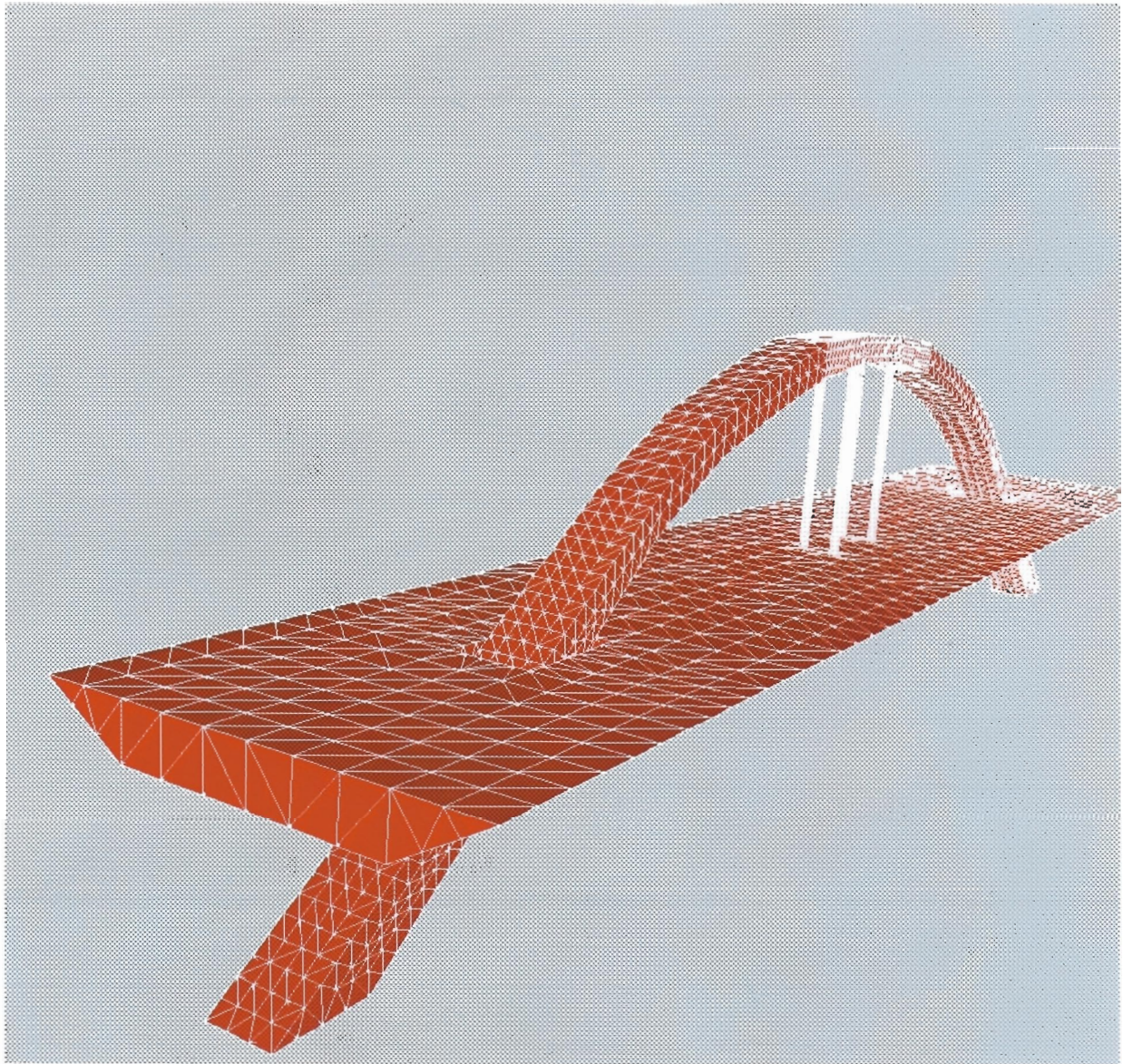


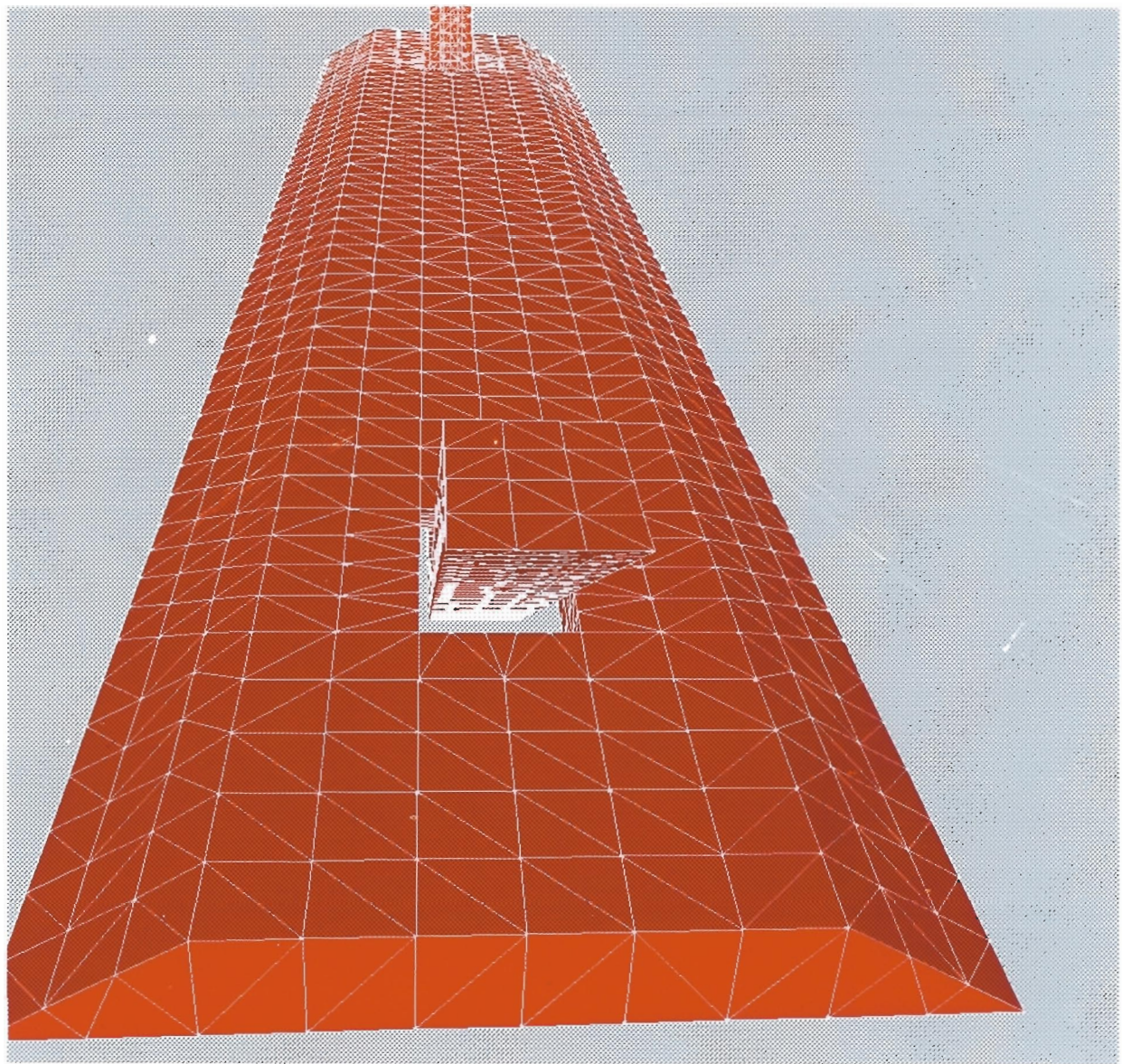
- Nº promedio de tetraedros recorridos para encontrar el núcleo, en función del nº de puntos. Empezando por el último tetraedro incluido en la triangulación (a) y empezando por el nº 1 (b).

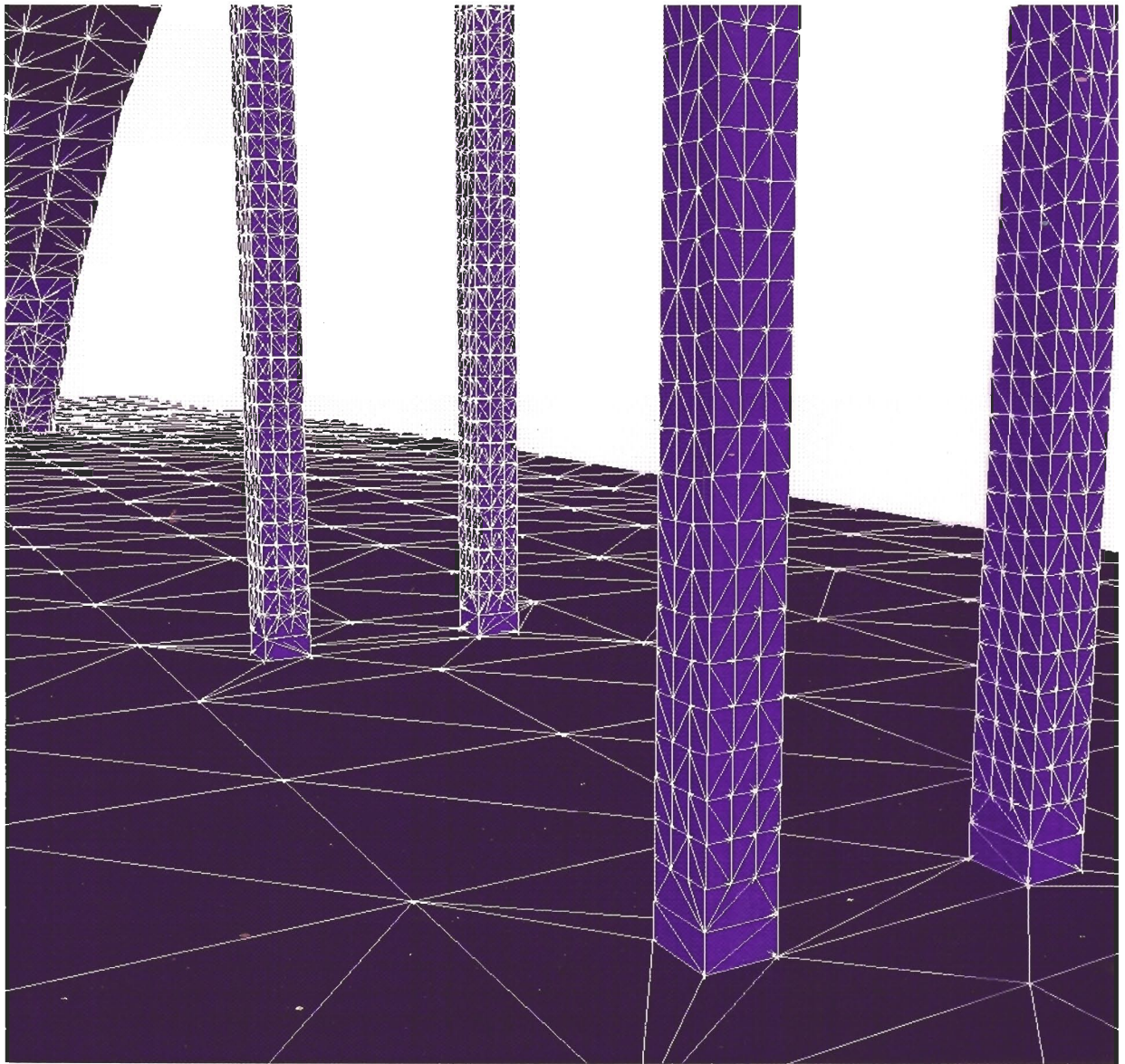
DOMINIO CON FRACTURAS Y SONDEOS











Almacenamiento compacto de la matriz

Ejemplo de almacenamiento compacto de la matriz del sistema

Matriz del sistema		Matriz compacta		Matriz de posiciones
$\begin{pmatrix} k_{11} & k_{12} & 0 & k_{14} & 0 & 0 \\ k_{21} & k_{22} & 0 & 0 & 0 & 0 \\ 0 & k_{32} & k_{33} & k_{34} & 0 & 0 \\ k_{41} & 0 & k_{43} & k_{44} & 0 & 0 \\ 0 & 0 & 0 & 0 & k_{55} & k_{56} \\ 0 & 0 & 0 & 0 & k_{65} & k_{66} \end{pmatrix}$	\longleftrightarrow	$\begin{pmatrix} k_{11} & k_{12} & k_{14} \\ k_{22} & k_{21} & \\ k_{33} & k_{32} & k_{34} \\ k_{44} & k_{41} & k_{43} \\ k_{55} & k_{56} & \\ k_{66} & k_{65} & \end{pmatrix}$	\cup	$\begin{pmatrix} 3 & 2 & 4 \\ 2 & 1 & \\ 3 & 2 & 4 \\ 3 & 1 & 3 \\ 2 & 6 & \\ 2 & 5 & \end{pmatrix}$

⇒ El generador de malla suministra la información necesaria para construir la matriz de posiciones **sin hacer búsquedas en toda la malla.**

CONCLUSIONES Y PERSPECTIVAS FUTURAS

CONCLUSIONES.

1. El algoritmo de refinamiento/desrefinamiento de mallas encajadas proporciona:

- Facilidad para la aplicación del método multimalla.
- Mallas flexibles con control automático del número de nodos (incógnitas).
- Adaptación muy rápida de la malla (complejidad lineal).
- Un buen método para aproximar cualquier solución inicial o geometría.
- Un refinamiento local (desrefinando después de un refinamiento global).

2. El algoritmo de triangulación tridimensional proporciona:

- Solución de los problemas debidos a errores de redondeo.
- Posibilidad de fijar diferentes densidades de puntos en aristas, caras y poliedros.
- Generación de mallas de buena calidad.
- Pruebas experimentales con una complejidad casi lineal.

PERSPECTIVAS FUTURAS.

- Desarrollo del algoritmo de refinamiento/desrefinamiento en 3-D.
- Mejora de la entrada de datos y conformidad con la frontera en 3-D.
- Aplicación de las técnicas de mallado en problemas de Ingeniería en 3-D.

HISTORIA

Problema de elasticidad con

sólo refinamiento

Classical formulation:

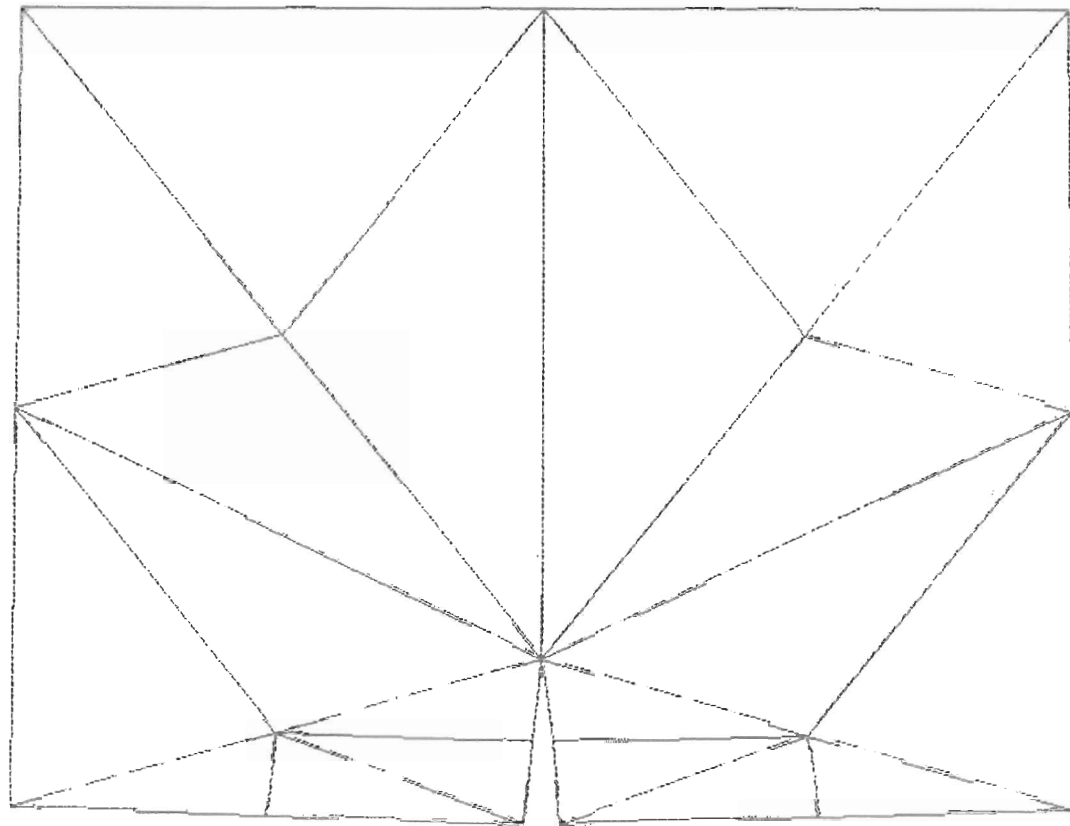
$$\sum_{j=1}^2 \frac{\partial}{\partial x_j} \sigma_{ij}(\bar{u}) = 0 \quad \text{in } \Omega, \quad \text{where } i = 1, 2$$

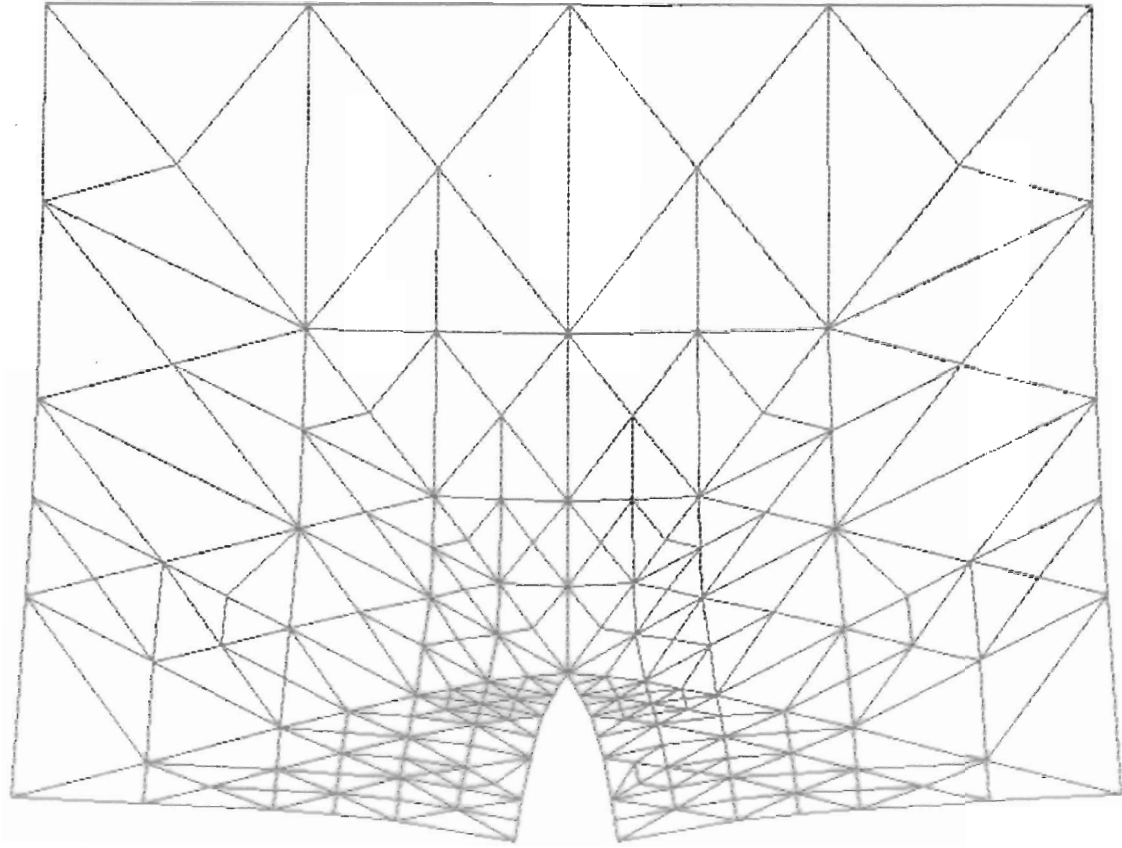
$$\bar{u}_i = \bar{0} \quad \text{on } \Gamma_0, \quad u_2(A) = 0$$

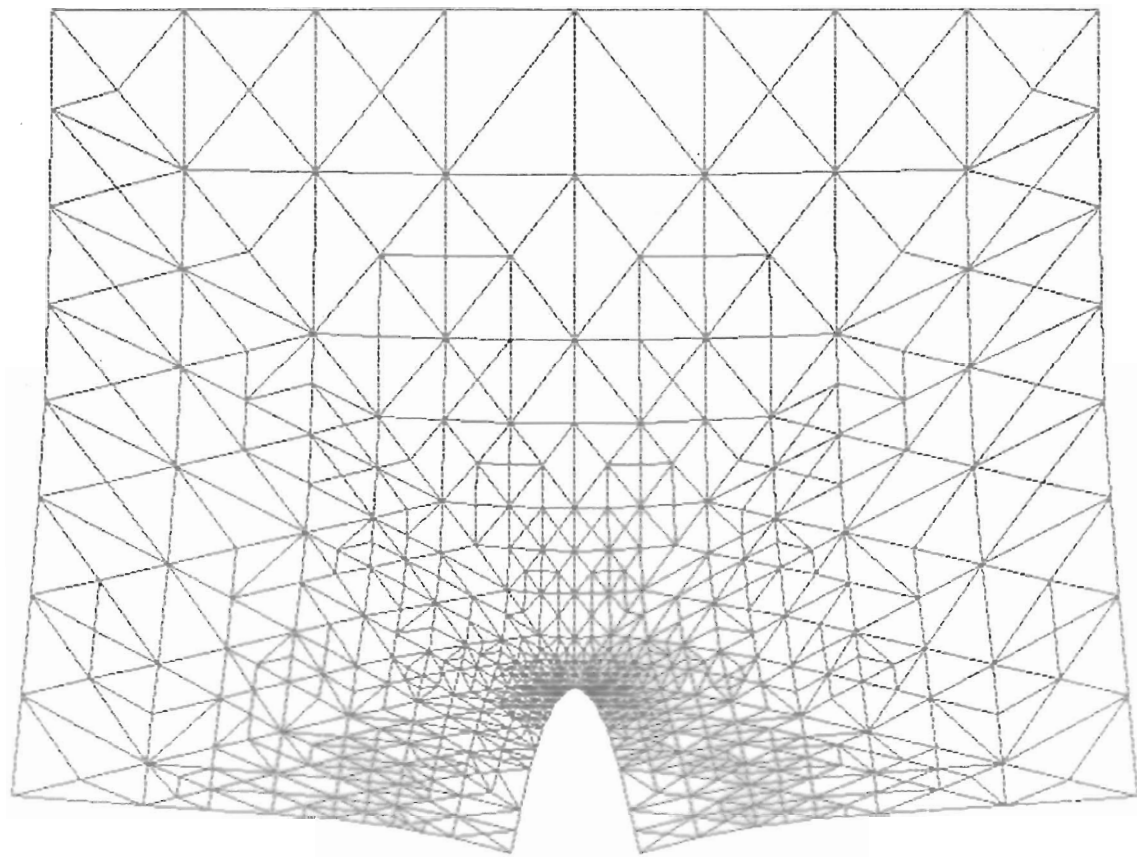
$$\sum_{j=1}^2 \sigma_{1j}(\bar{u}) n_j = 0 \quad \text{on } \Gamma_{1,1}, \quad \sum_{j=1}^2 \sigma_{2j}(\bar{u}) n_j = 1 \quad \text{on } \Gamma_{1,1}$$

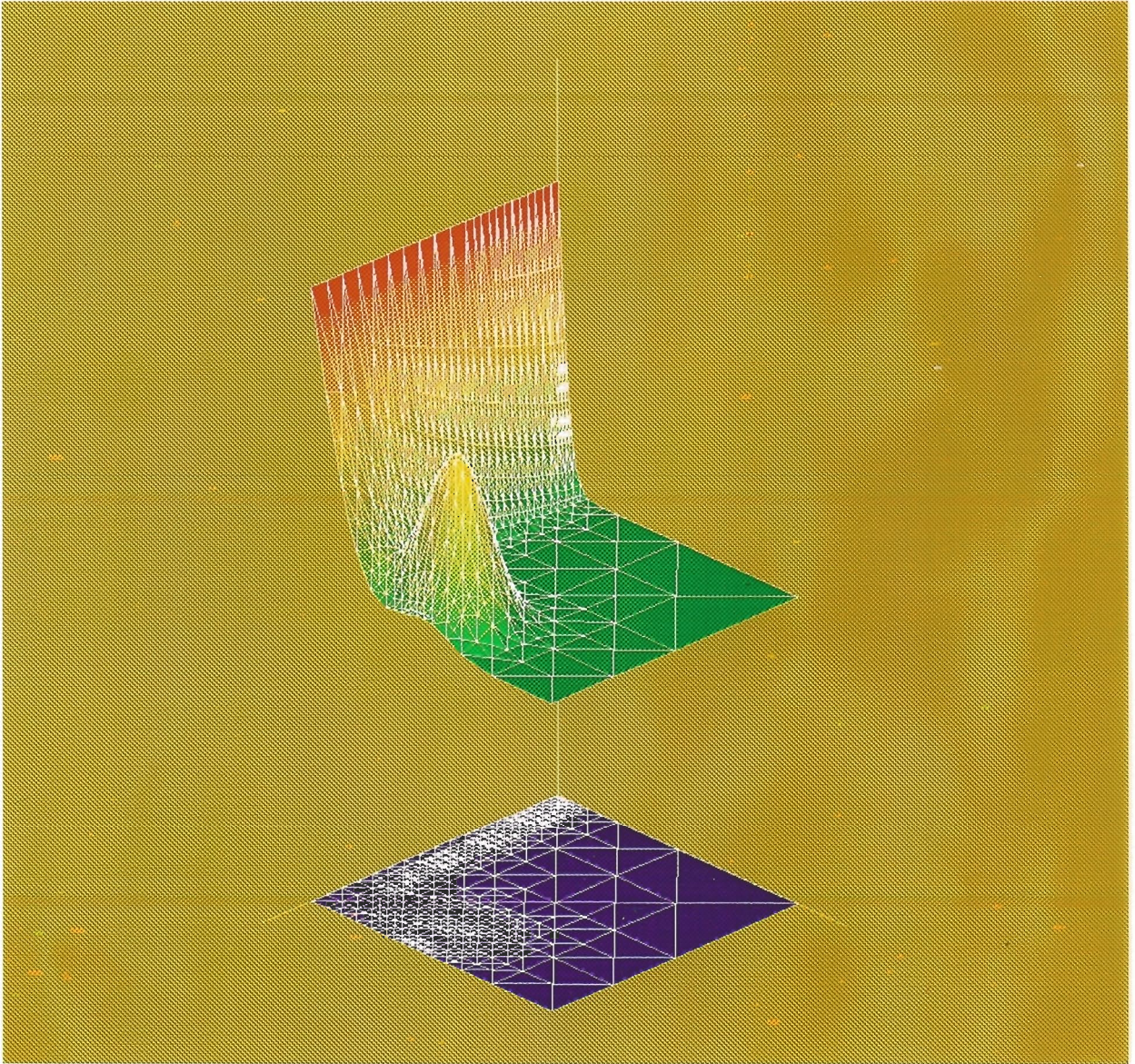
$$\sum_{j=1}^2 \sigma_{1j}(\bar{u}) n_j = 0 \quad \text{on } \Gamma_{1,2}, \quad \sum_{j=1}^2 \sigma_{2j}(\bar{u}) n_j = -1 \quad \text{on } \Gamma_{1,2}$$

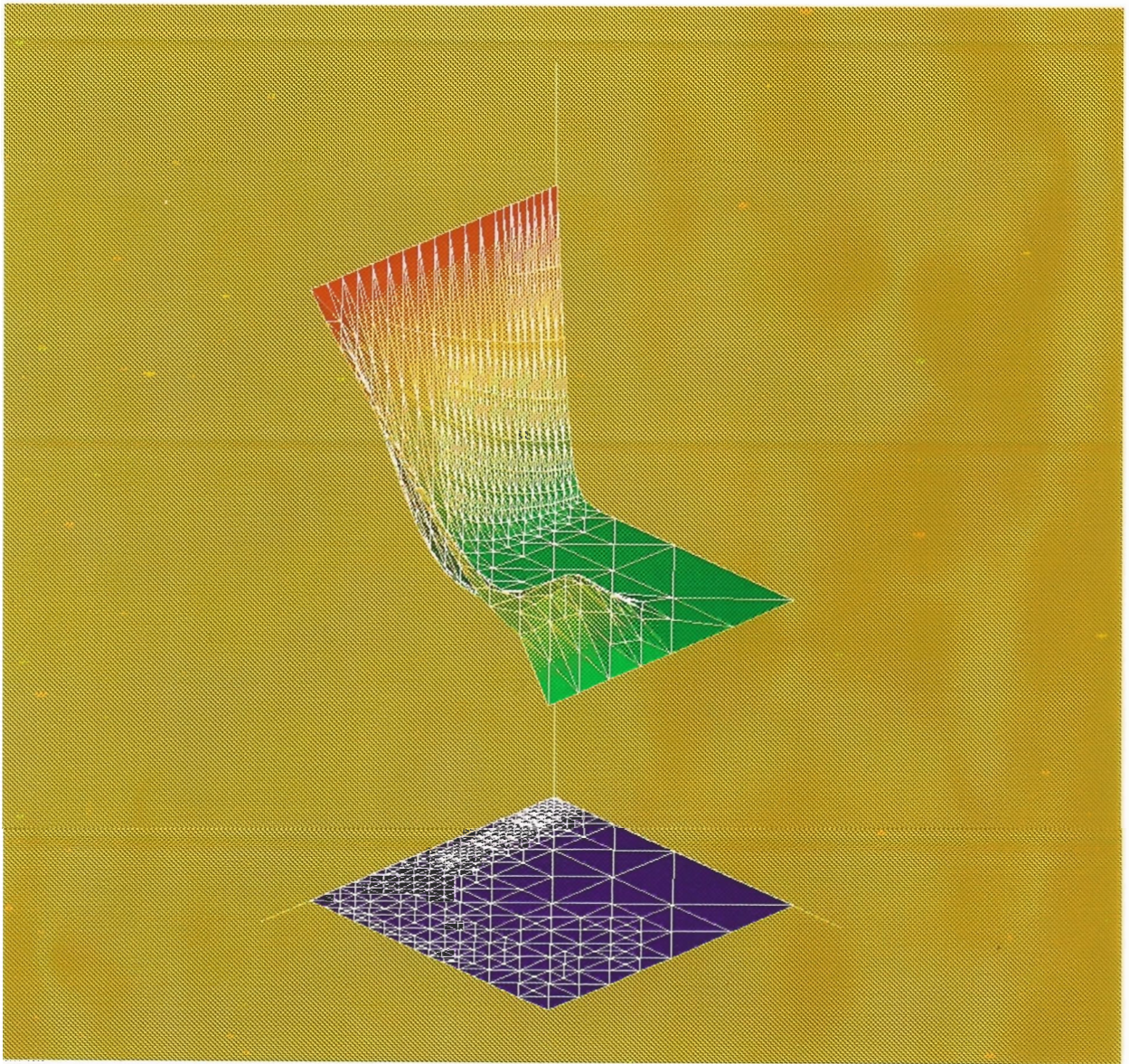
$$\sum_{j=1}^2 \sigma_{ij}(\bar{u}) n_j = 0 \quad \text{where } i = 1, 2 \quad \text{on } \Gamma_{1,3}$$

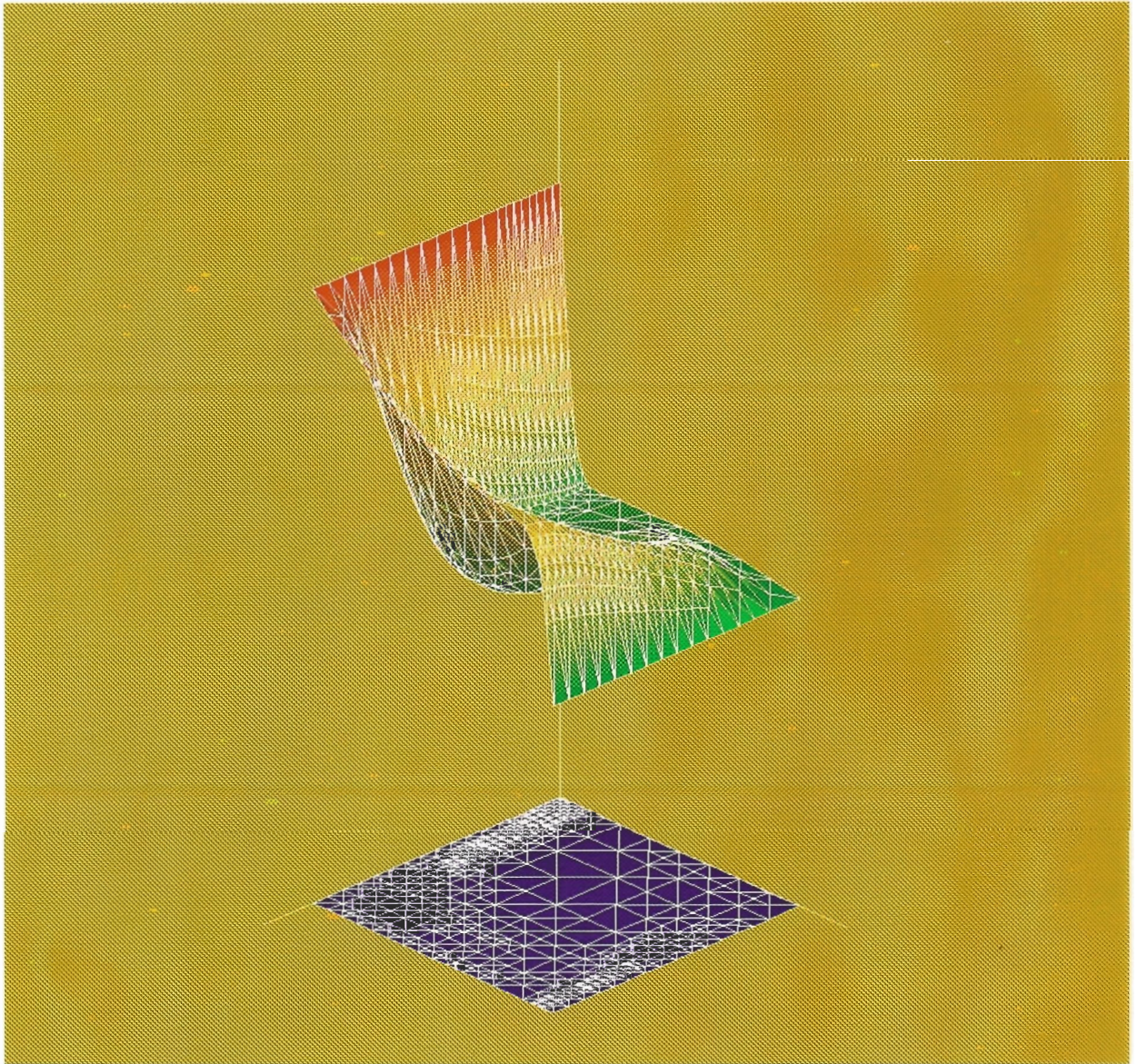


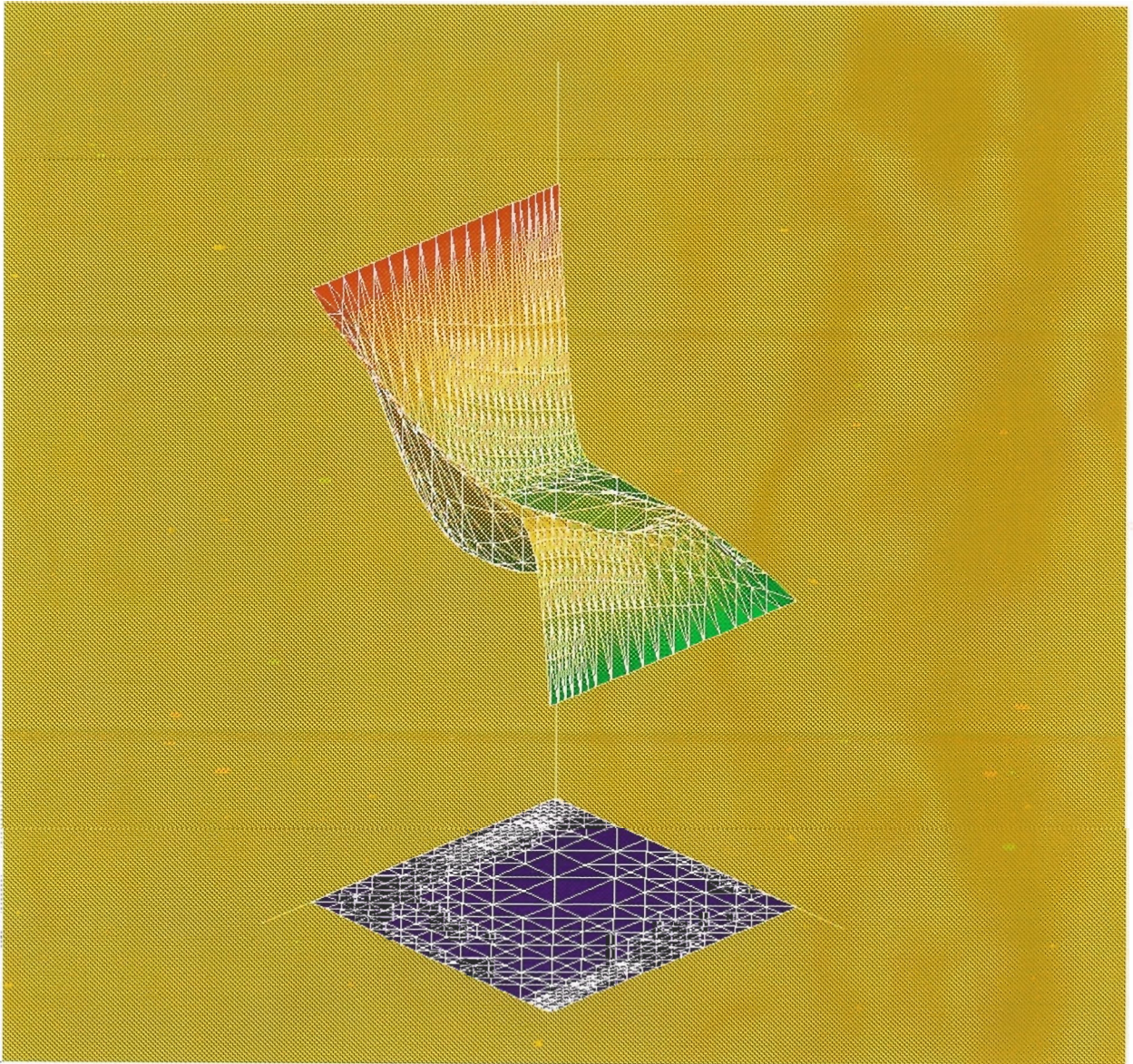


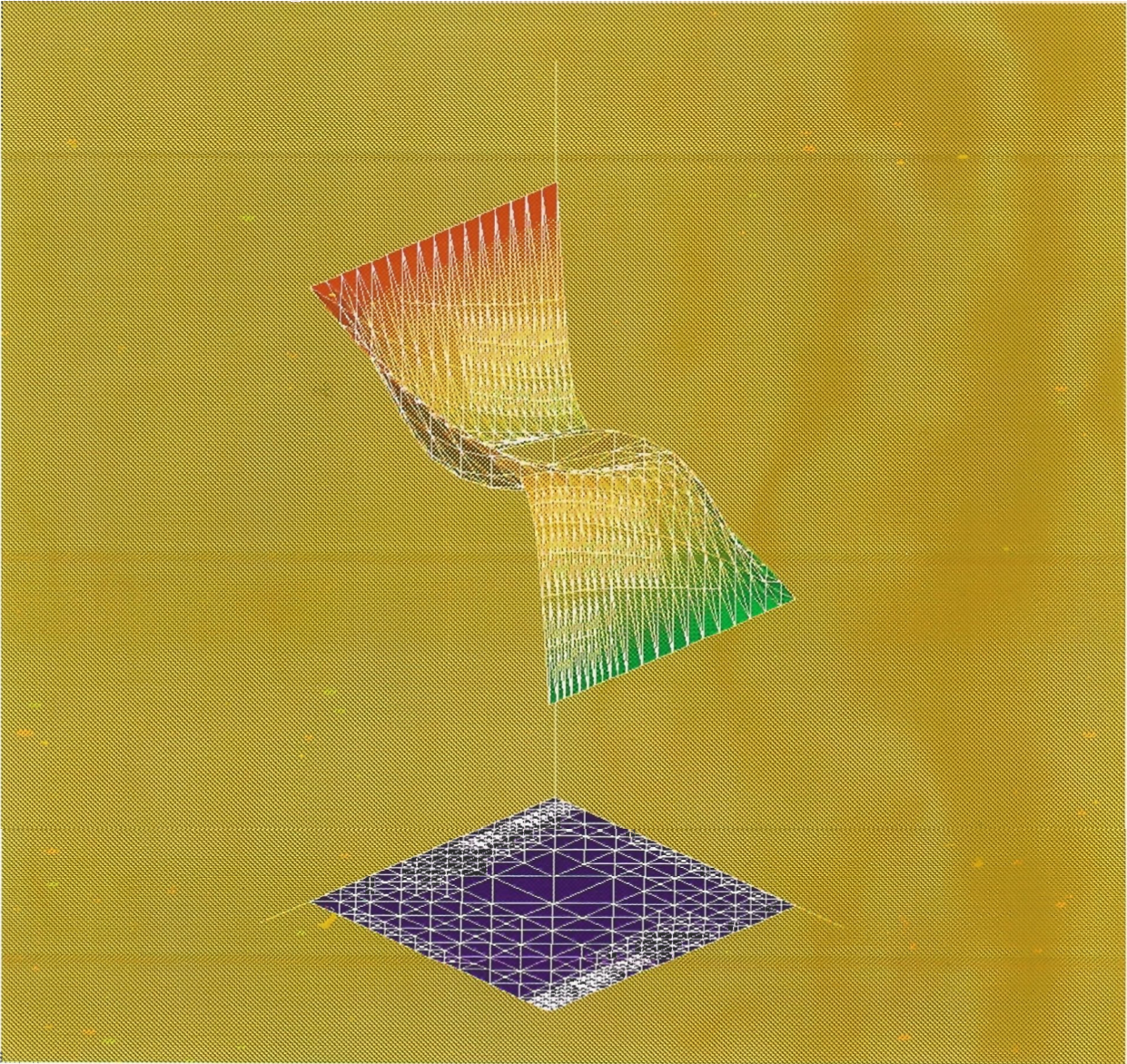




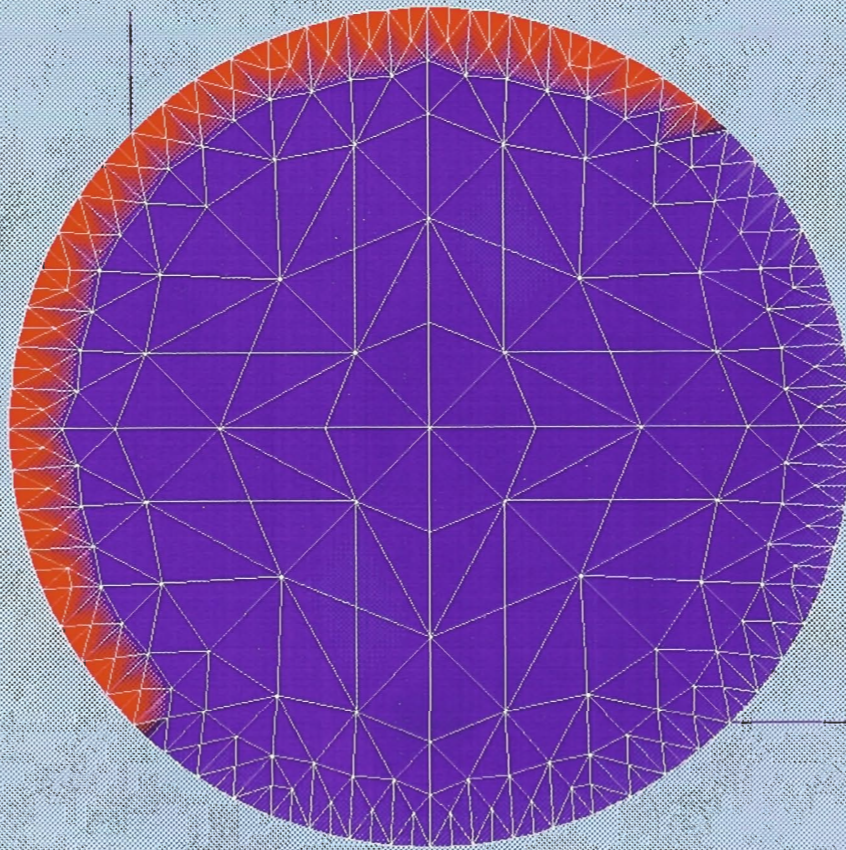






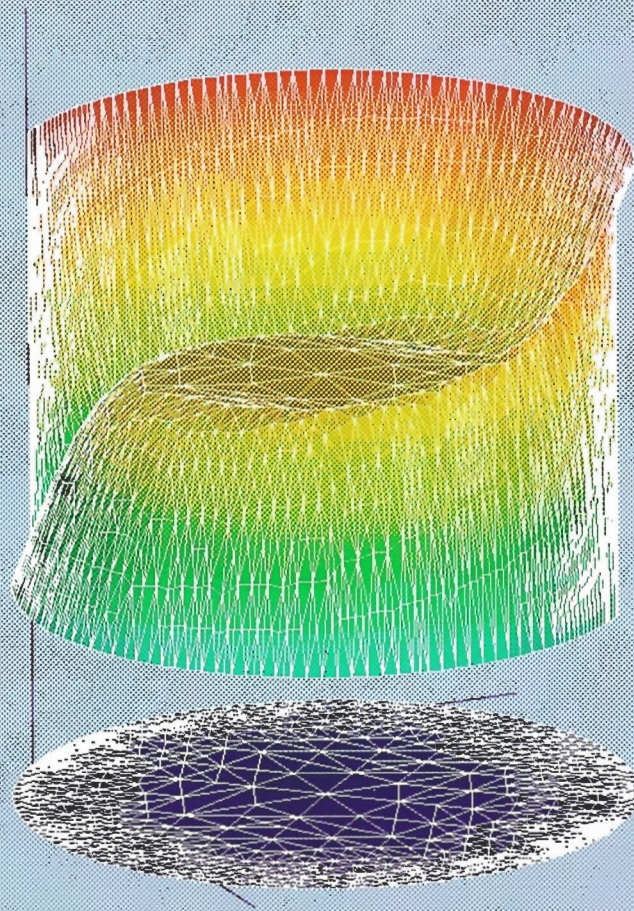


STEADY CONVECTION-DIFFUSION PROBLEM



Initial mesh, 297 nodes

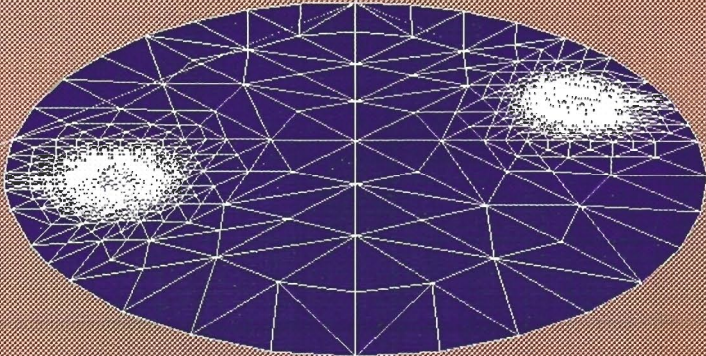
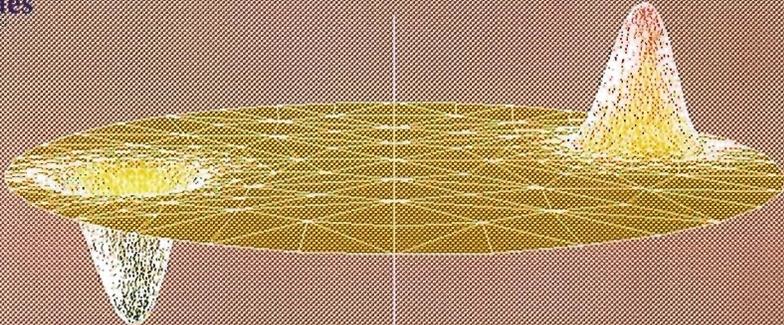
STEADY CONVECTION-DIFFUSION PROBLEM



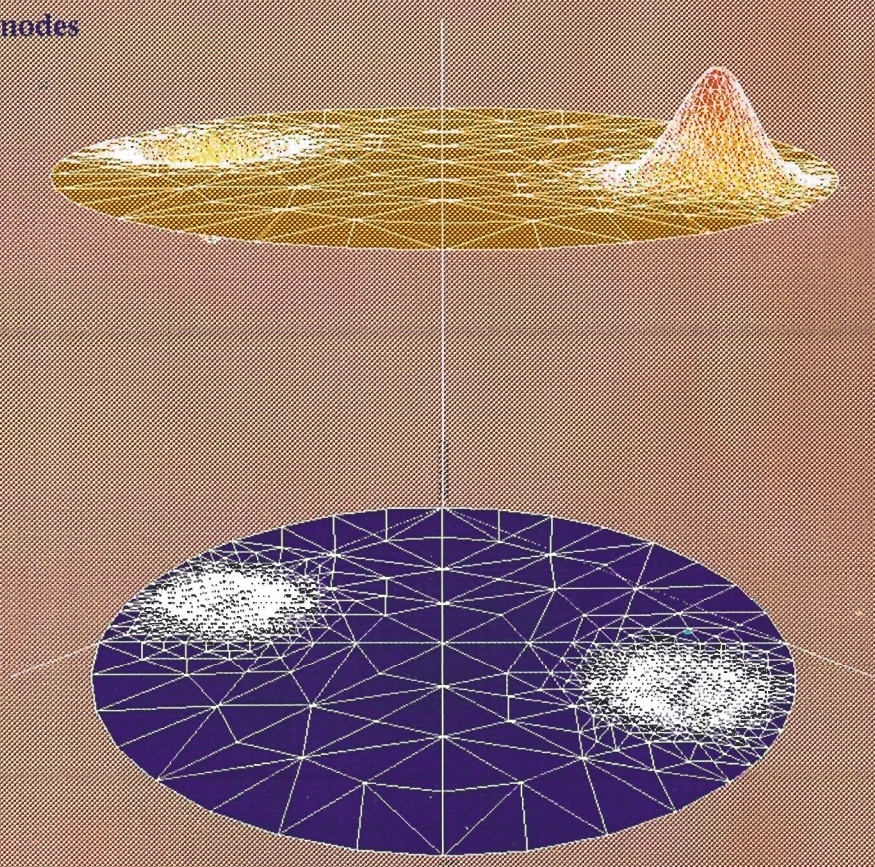
1421 nodes

240 time steps

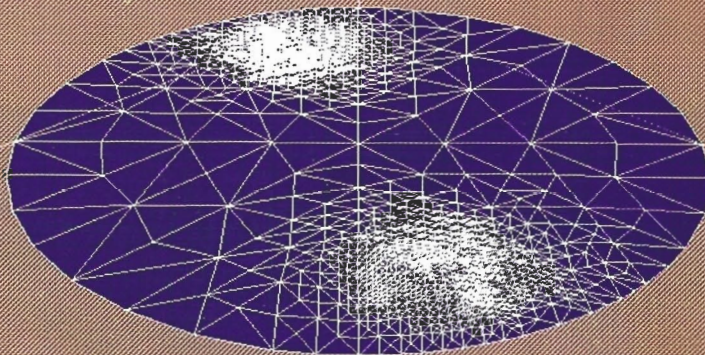
2115 nodes



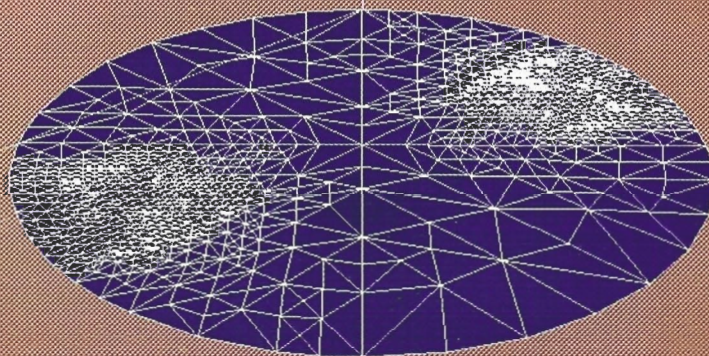
480 time steps
1923 nodes



720 time steps
1873 nodes

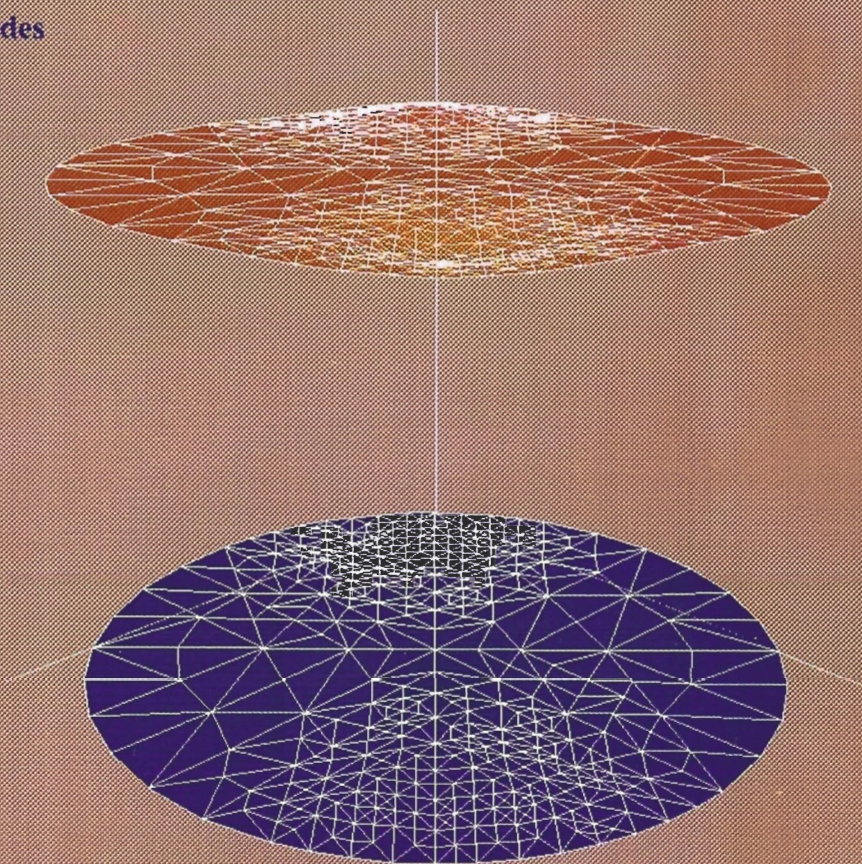


960 time steps
1383 nodes



1200 time steps

449 nodes

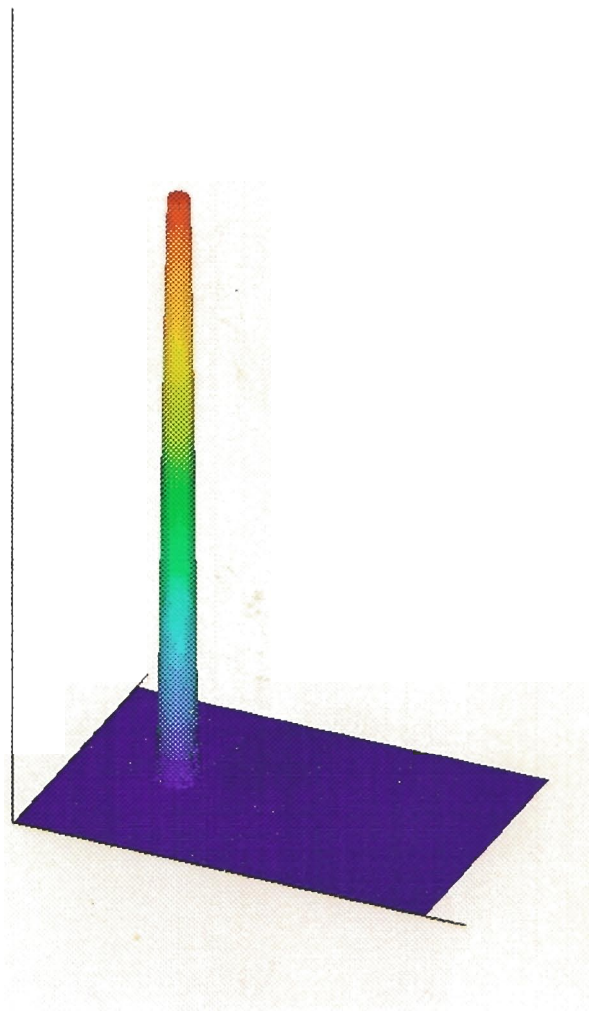


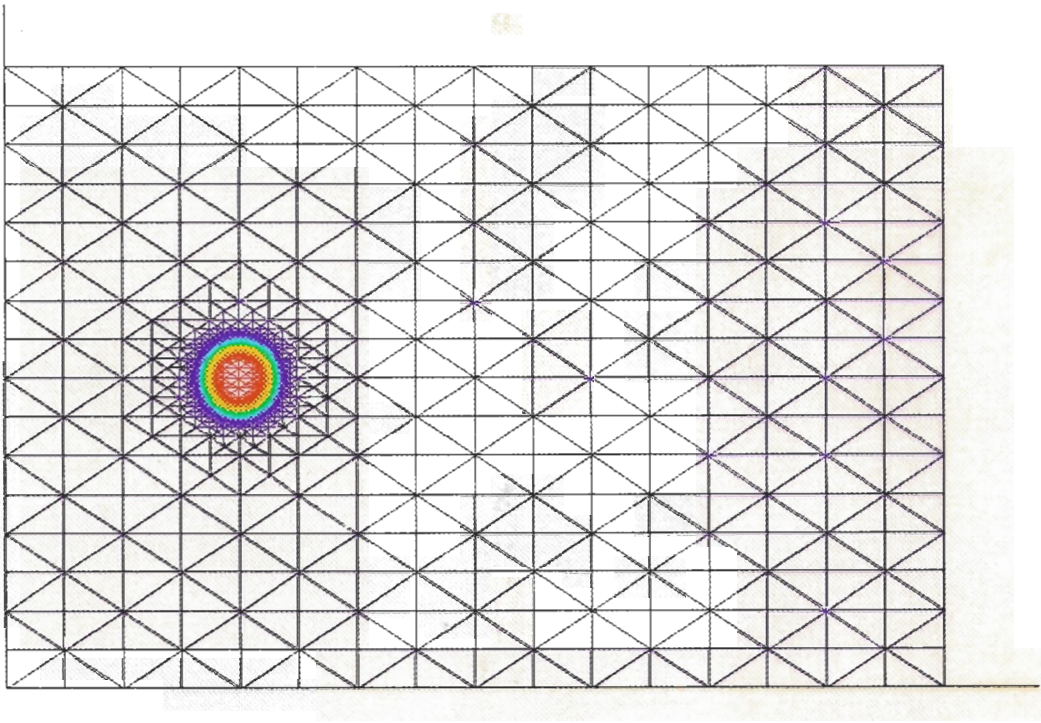
SIMULACIÓN DE PROPAGACIÓN DE FUEGO

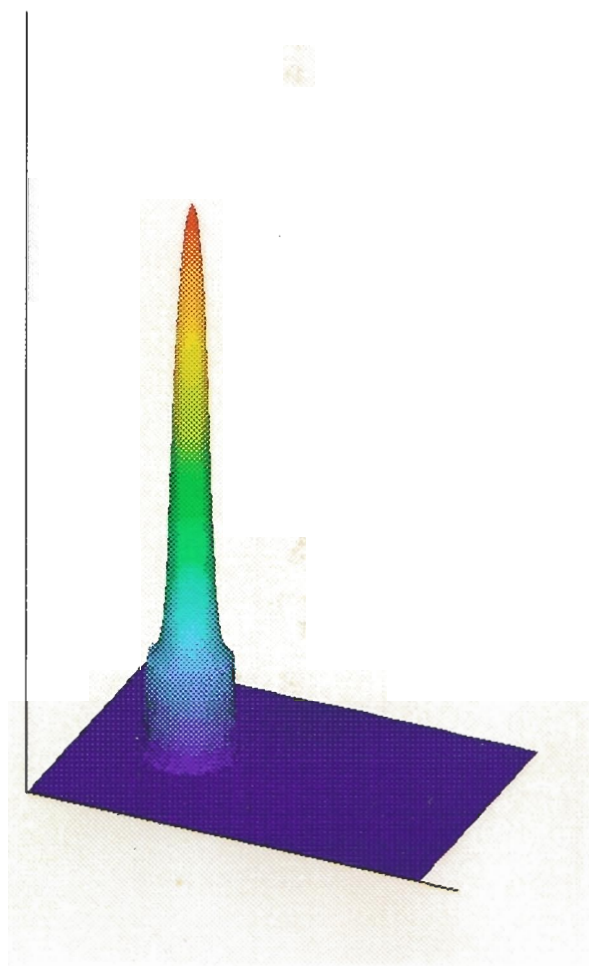
$$\frac{\partial T}{\partial t} - \text{div}(\mathbf{K} \vec{\nabla} T) + \vec{v} \cdot \vec{\nabla} T + h(T)(T - T_{\infty}) = f(t, T)$$

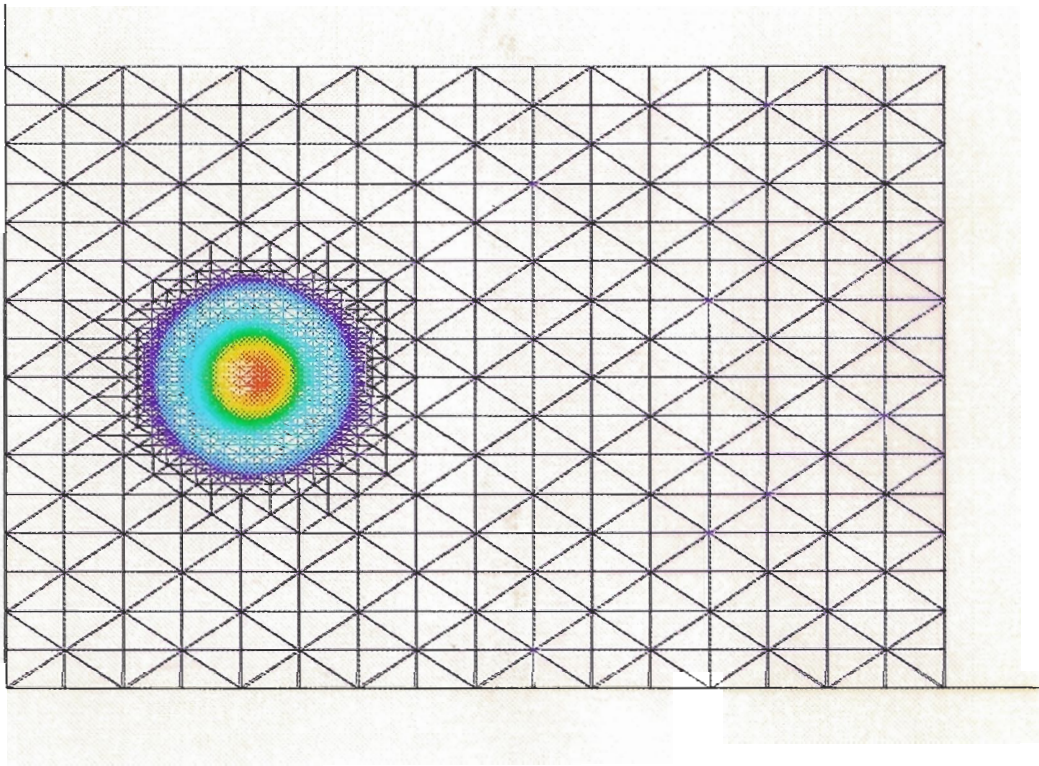
$$\frac{dC_A}{dt} = -\lambda_A C_A ; \lambda_A = A e^{-\frac{E_A}{RT}}$$

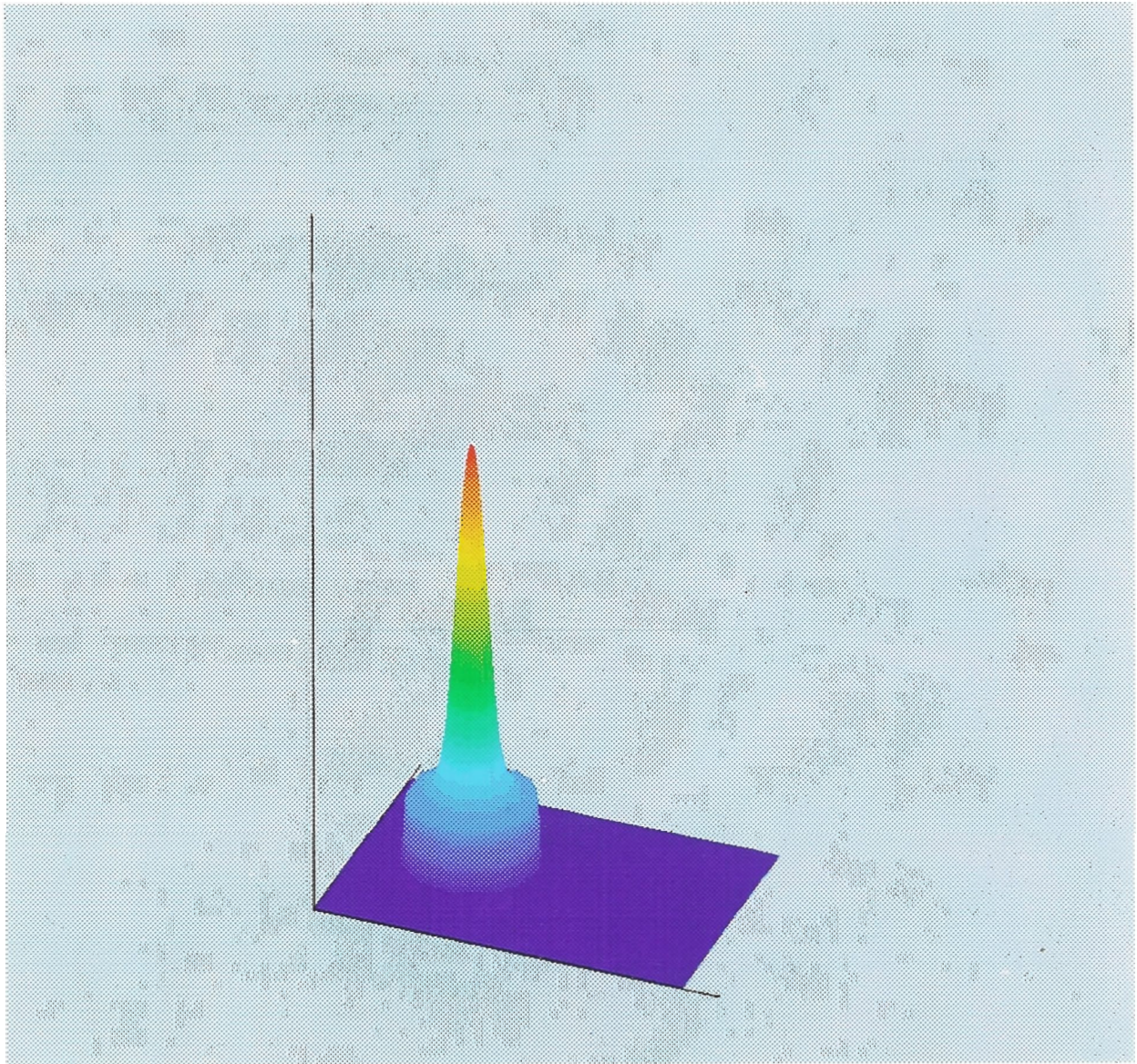
- Análisis mediante diferencias finitas y elementos finitos.
- Estudio de estabilidad del esquema en diferencias finitas (paso de tiempo).











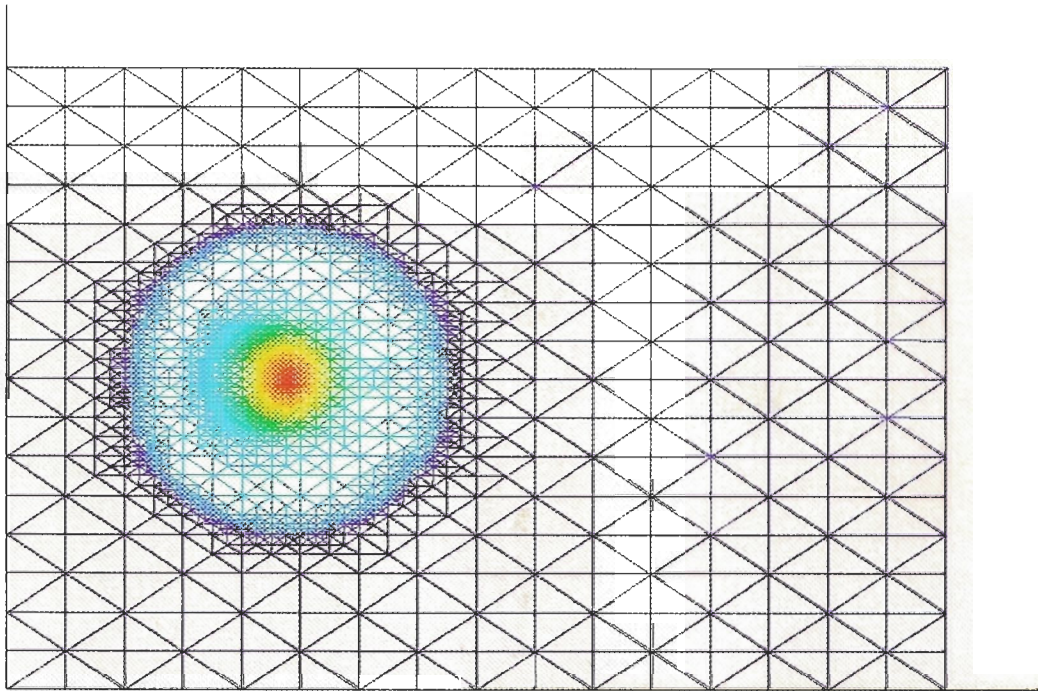
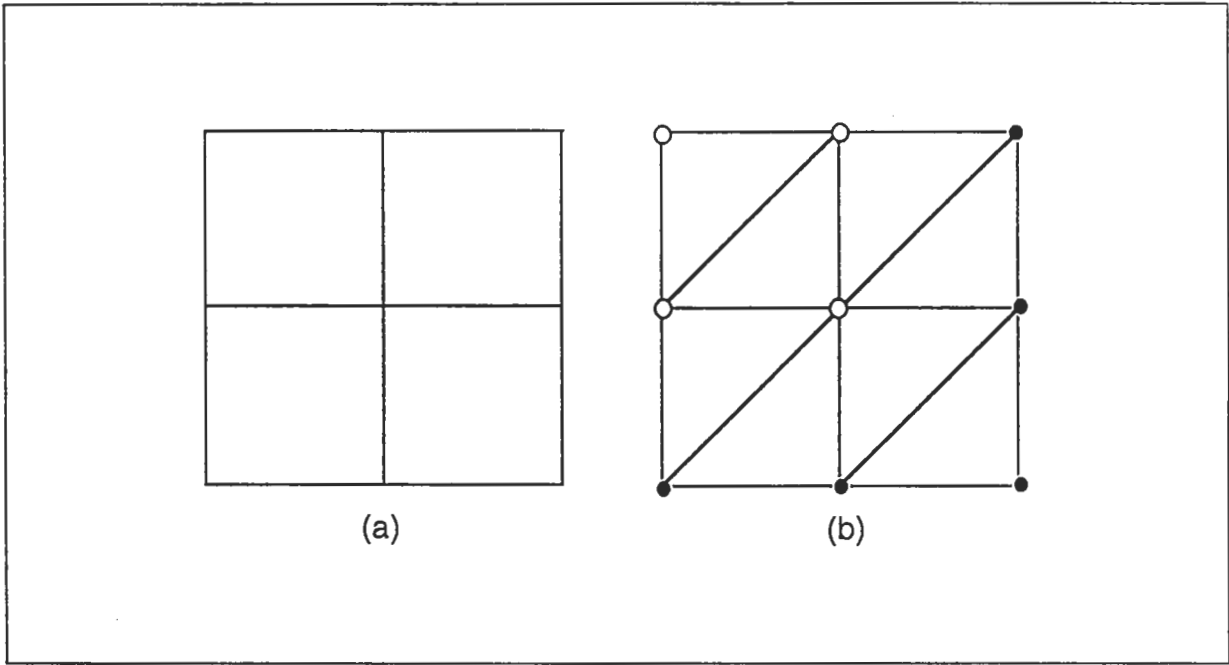
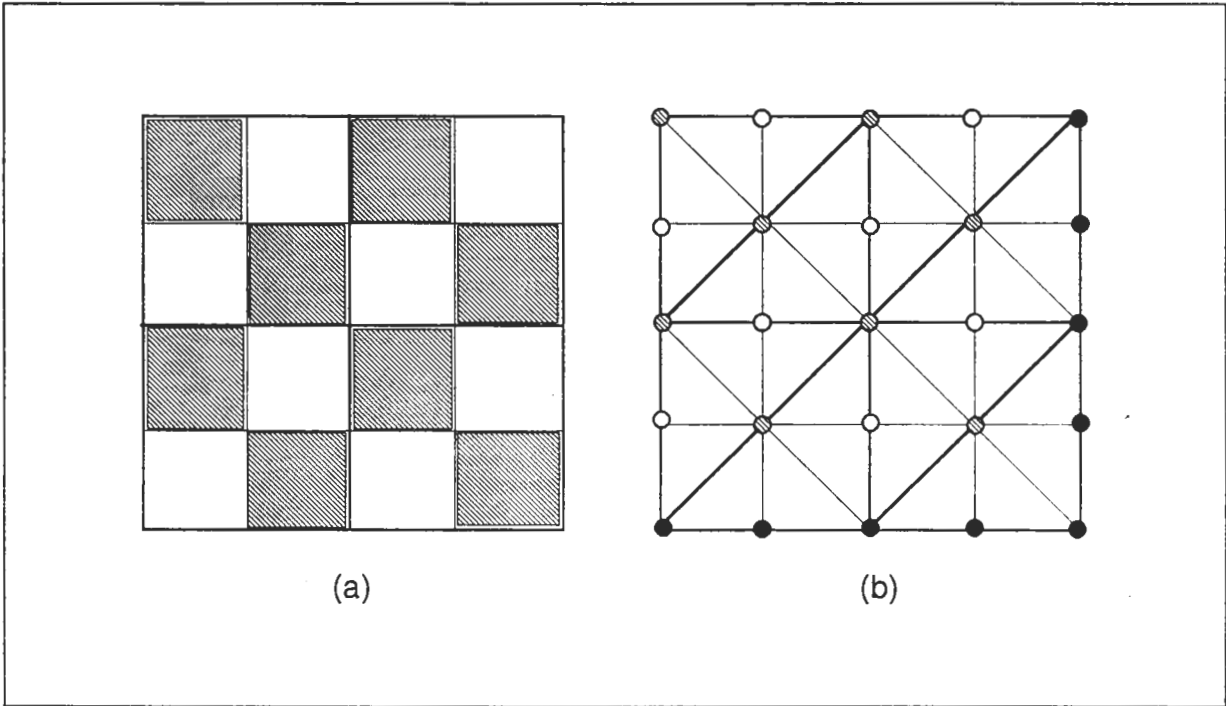




Imagen clásica 256x256.



(a) Imagen 2x2 pixels, (b) malla triangular asociada



(a) Imagen 4x4 pixels, (b) malla triangular

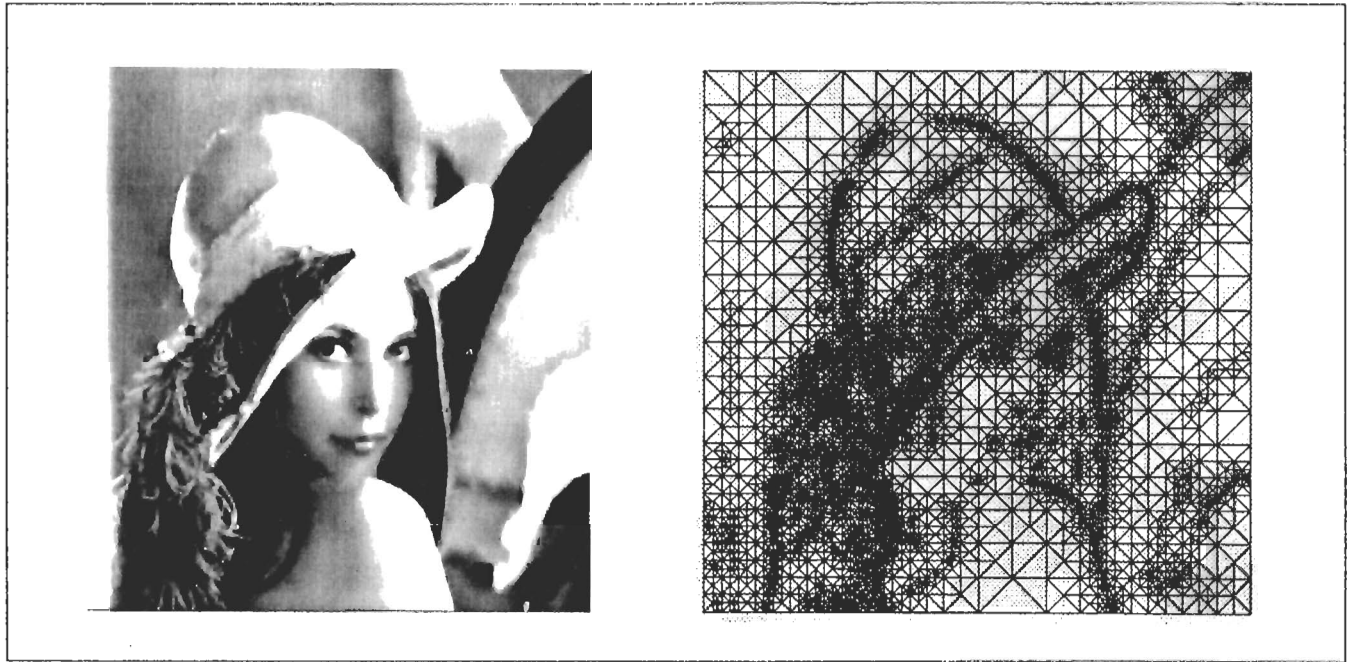


Imagen y malla para $\varepsilon = 30$: 7.736 nodos, SNR(dB) = 22.58.

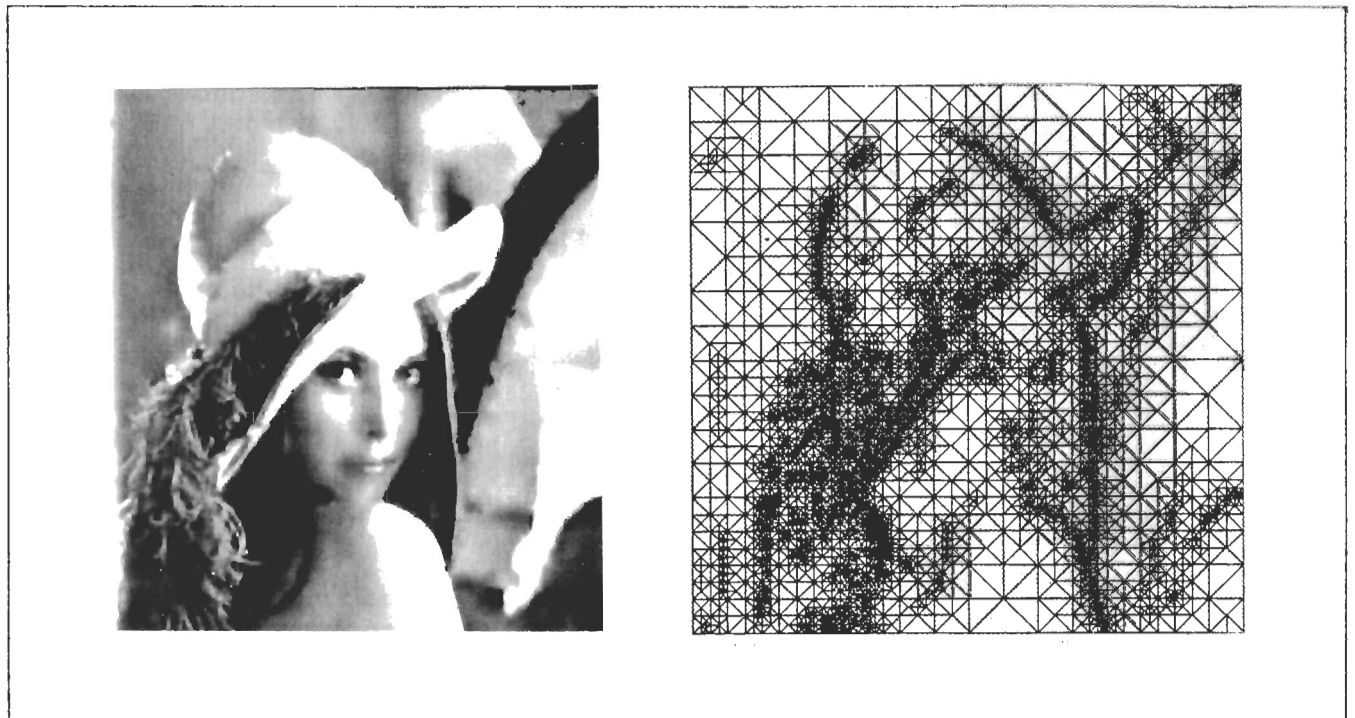
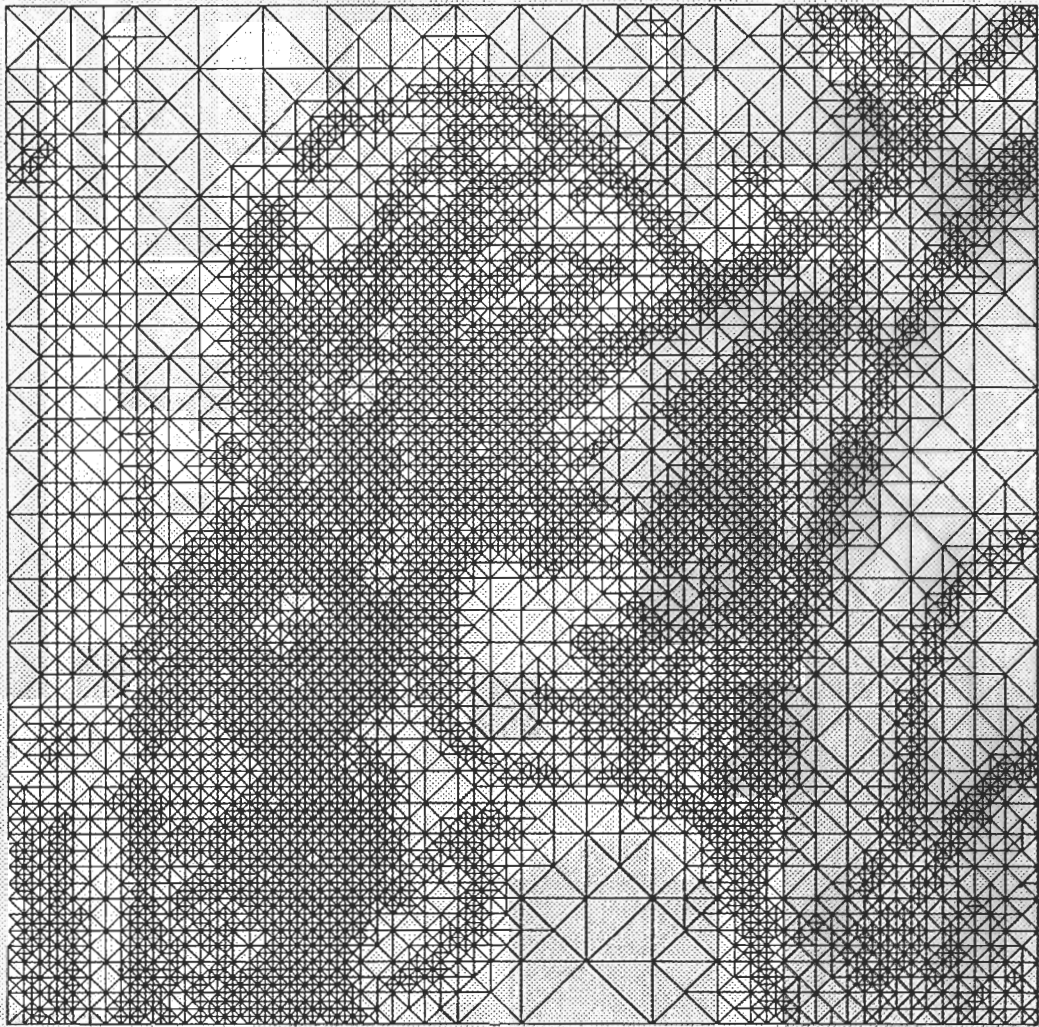
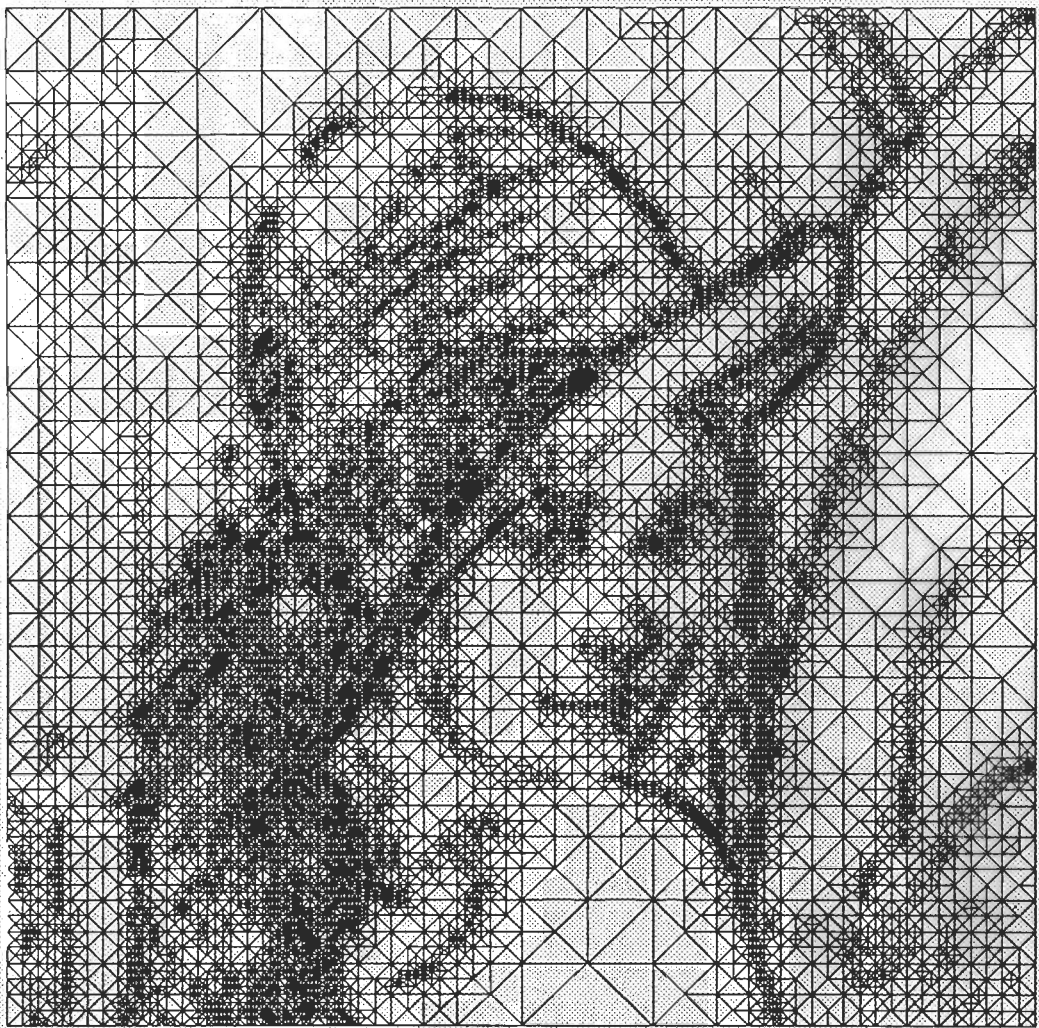


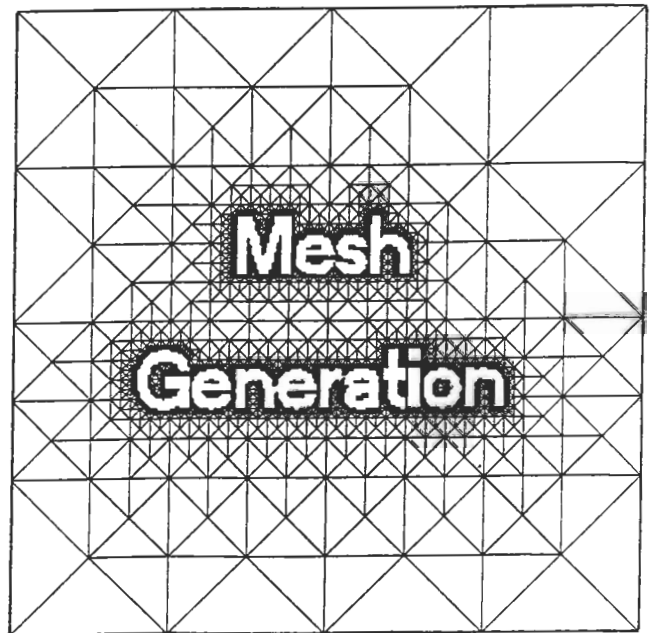
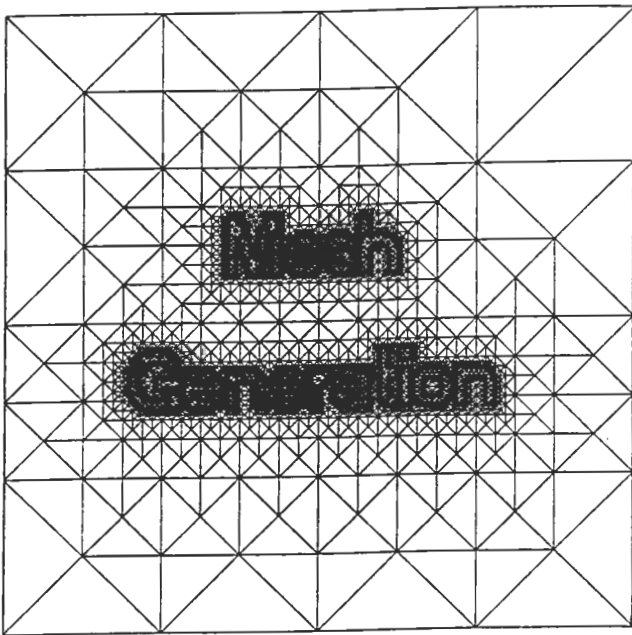
Imagen y malla para $\varepsilon = 40$: 5.555 nodos, SNR(dB) = 19.95.



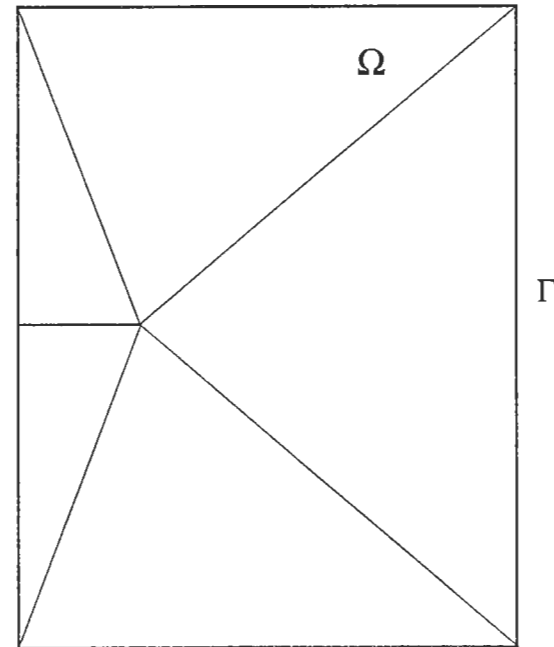
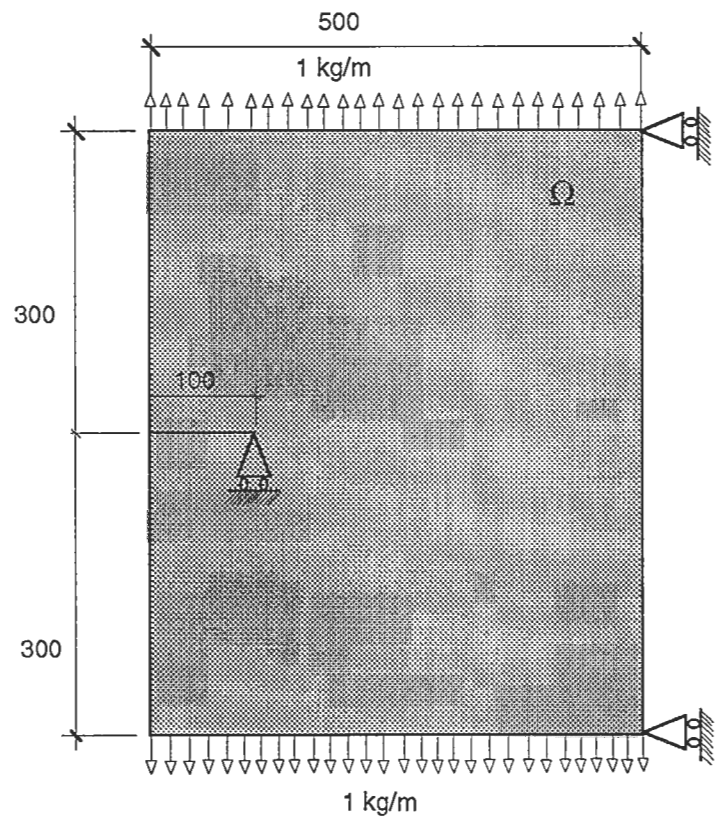




Mesh Generation



Un Problema de Elasticidad Lineal

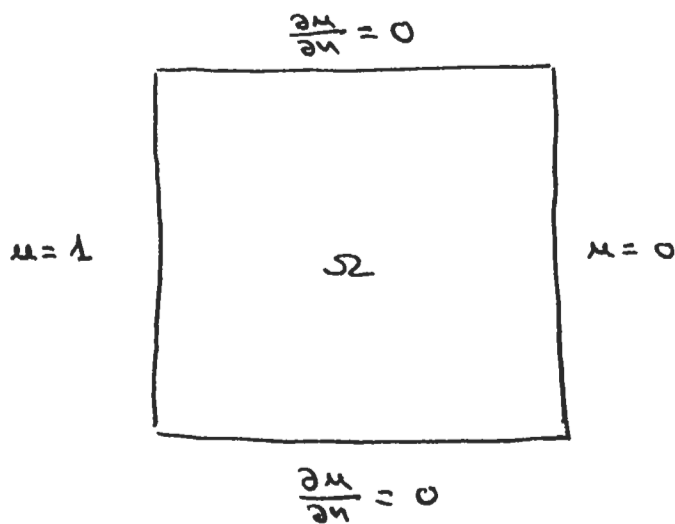


HISTORIA PASADA

(TESIS - 1989)

Problema Evolutivo cuando solo se disponía del algoritmo de refinamiento

$$\frac{\partial \mu}{\partial t} + \vec{v} \cdot \nabla \mu - \nabla \cdot \left(\underset{\substack{\text{"} \\ \downarrow}}{K} \nabla \mu \right) = 0 \quad \text{en } \Omega$$

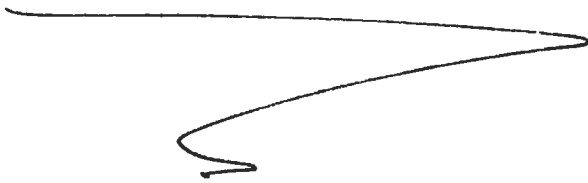


condición inicial: $\mu(\vec{x}, 0) = 0$

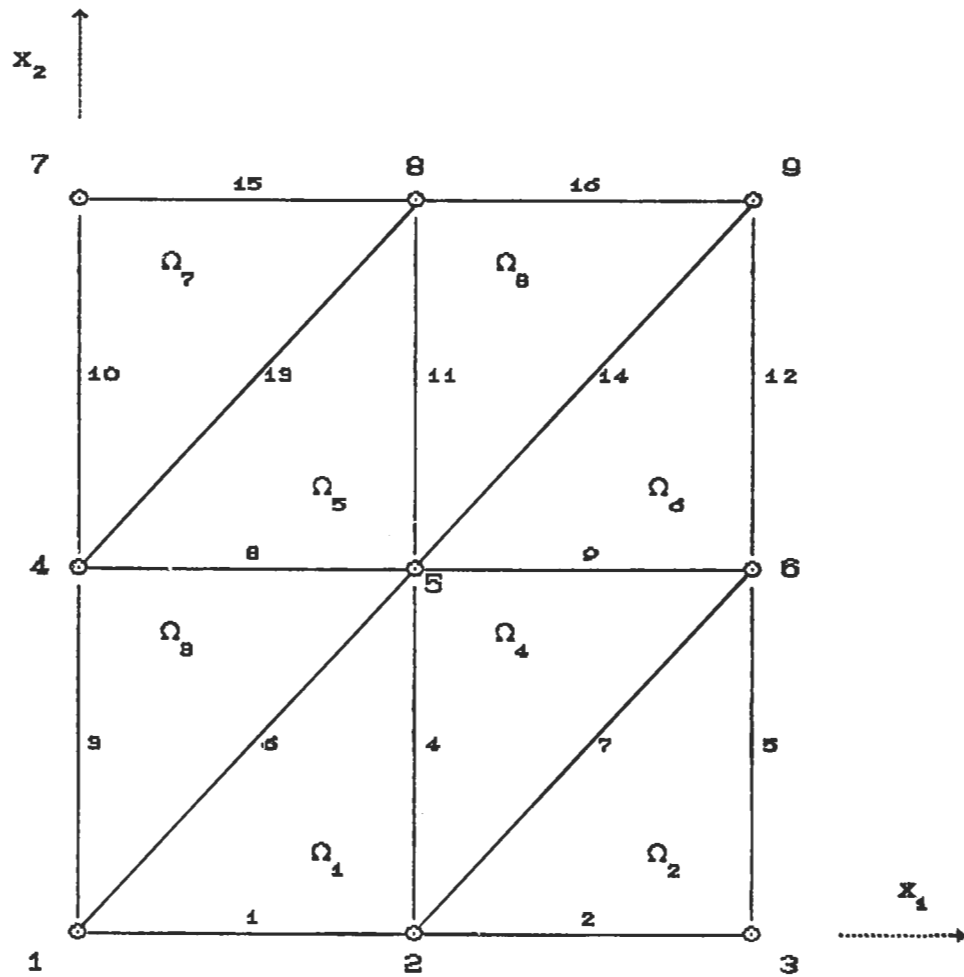
HISTORIA NEPTUNO

Generación de malla inicial

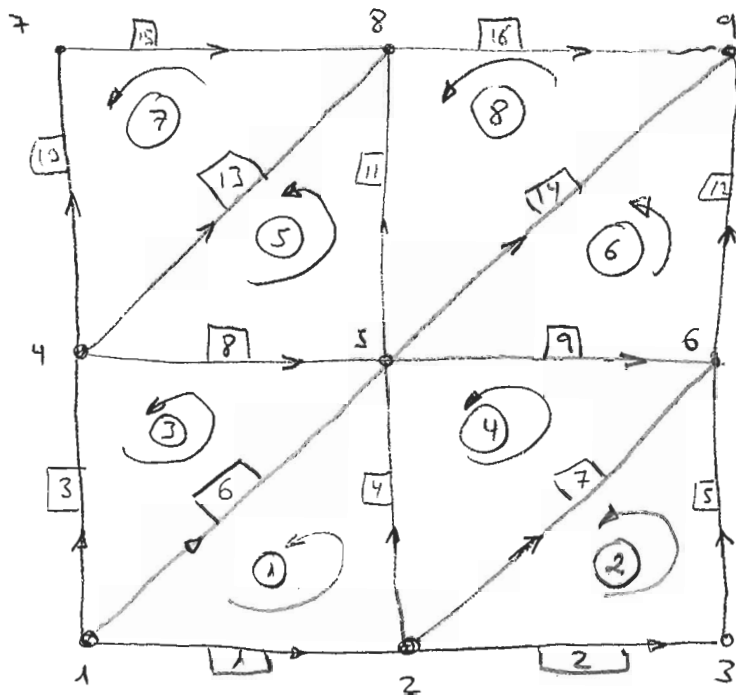
y
entrada de datos



MALLADO DE "PARTIDA" ; Nodos, caras y elementos.



NR = 1



NR = 2

NEPT *** CONVECCION-DIFUSION, CAMPO CIRCULAR, (A) ***

9,16,8,1,2,0,0,5,2,1,2,3,2,3,0,1

COORD

1,1,0.,0.
3,0,1.,0.
4,1,0.,0.5
6,0,1.,0.5
7,1,0.,1.
9,0,1.,1.

FACE

1,0,1,2,1
3,1,1,4,0
4,0,2,5,0
5,2,3,6,0
6,0,1,5,1
8,0,4,5,1
10,1,4,7,0
11,0,5,8,0
12,2,6,9,0
13,0,4,8,1
15,0,7,8,1

ELEM

1,1,1,4,-6,1
3,1,6,-8,-3,1
5,1,8,11,-13,1
7,1,13,-15,-10,1

RNOD

1,3,1
7,0,1
3,3,2
9,0,2

MATE

1 4
3,0,0,0,4,5
1,0,0.

CCON

1,1
2,2

FUNZ

C1-DIRICH-NR=1
1,1.
C2-DIRICH-NR=2
1,0.
C3-CONDUCT.-K
1,1.
C4-VELOC.X-V1
6,1000.
C5-VELOC.Y-V2
7,1000.

NOPR

END
MACR

TOL
LOOP
NNIV
REFN
NEXT
LOOP
NNIV
MATR
PREC
SEGM
GRCJ
IMPR
INER
REFN
NEXT
END
PLOT
POSP
6,0.,1.
STOP

1.E-6

4.

3.

3.

1.

3.

0.4

SUBROUTINE ACONTR

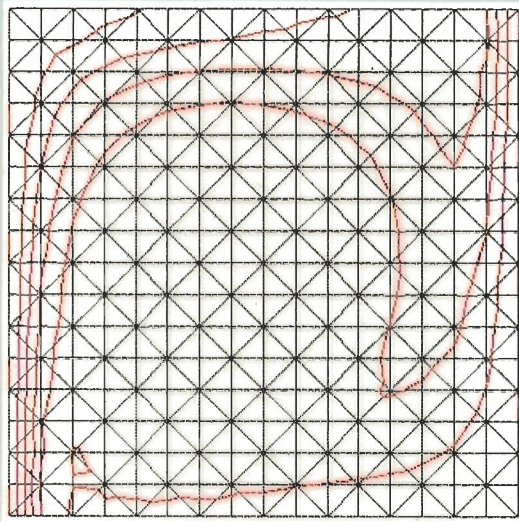
C-----Subprograma de control de todo el proceso
 C-----Lee el titulo,datos de control iniciales,inicializa la matriz
 C-----de indicadores,llama al modulo de entrada de datos,al modulo de ejecucion,
 C-----y a los modulos de preproceso y posproceso

C
 C O :Controla el salto de pagina
 C HEAD :Titulo
 C NUMNP :No.de nodos (totales)
 C NUMNF :No.de caras (totales)
 C NUMEL :No.de elementos
 C NUMAT :No.de materiales
 C NUREF :No.de numeros de referencia
 C NUFNO :No.de funciones dadas en forma implicita (Fronteras curvas)
 C NUFN1 :No.de funciones de un parametro
 C NUFN2 :No.de funciones de dos parametros
 C NDM :Dimension del dominio de definicion del problema
 C NDF :No.de grados de libertad por nodo
 C NDF1 :No.de grados de libertad por nodo variable acoplada
 C NEN :No.de caras por elemento
 C NEC :No.de nodos por cara
 C NEL :No.de nodos por elemento
 C NIN :No.de nodos internos por elemento
 C NEQ :No.de ecuaciones
 C NSIM :si = 0 -> m.simetrica ;si #0 -> m.no simetrica

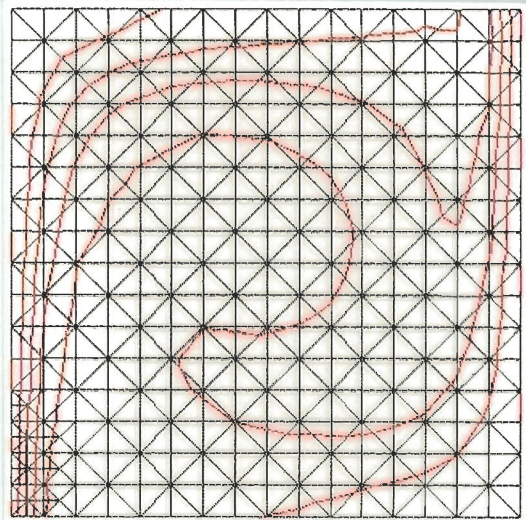
C-----

```
COMMON M(1)
COMMON/DIREC/IM(4,1)
COMMON/MEMOR/IMAX,IMAXI,NBLOQ,IM1BL,IM2BL,IMEM,IPR
COMMON /CDATA/ HO,HEAD(20),NUMNP,NUMNF,NUMEL,NUMAT,NUREF,
1          NUFNO,NUFN1,NUFN2,NEN,NEC,NEL,NIN,NEQ
COMMON /NDIM/ NDM,NDF,NDF1,NEN1,NEC1,NSIG
COMMON /NULOG/ NL,NE
COMMON /MSIM/ NSIML
LOGICAL PCOMP,NSIML
DIMENSION TITL(20),WD(8)
DATA WD/4HNEPT,4HMACR,4HPLOT,4HPOSP,4HVELC,4HFLEC,4HDEFR,4HSTOP/
```

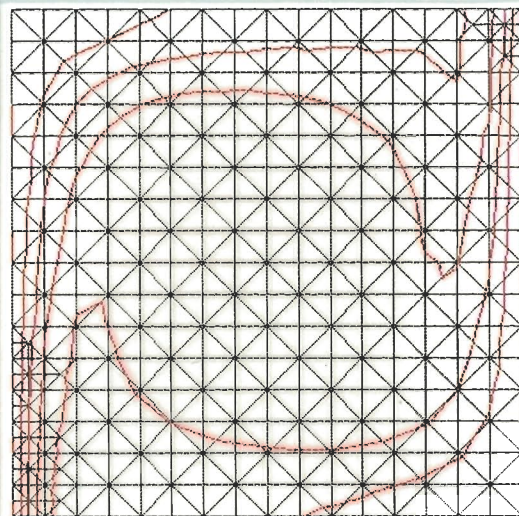
C
 C--- Lee una tarjeta y se dirige al proceso correspondiente
 C



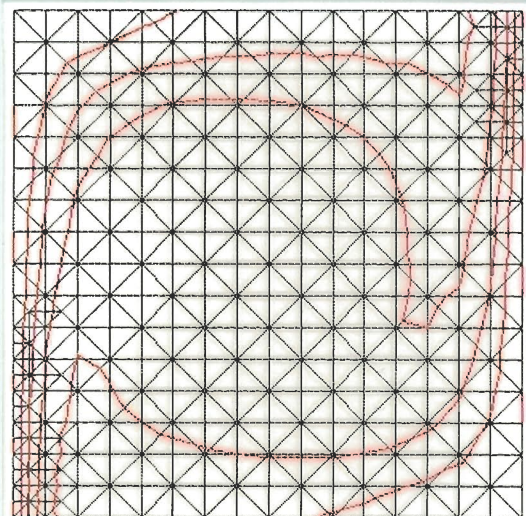
* MALLA 1 (Tiempo=0.05511) *



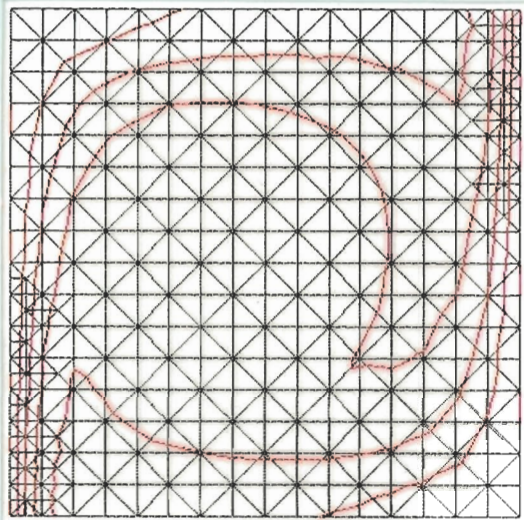
* MALLA 2 (Tiempo=0.08267) *



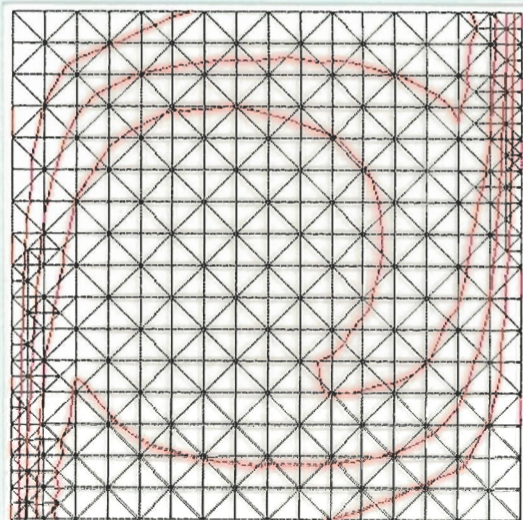
* MALLA 3 (Tiempo=0.11023) *



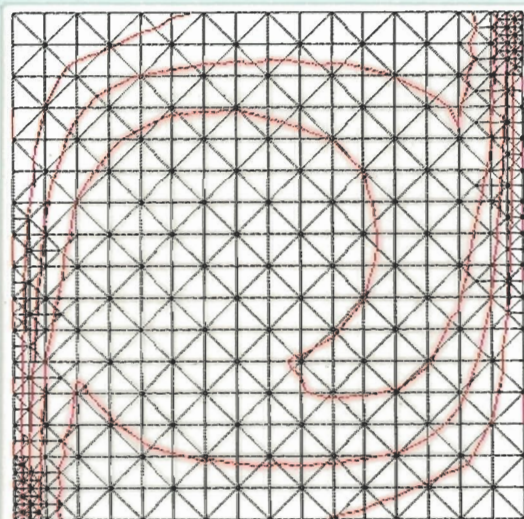
* MALLA 4 (Tiempo=0.13778) *



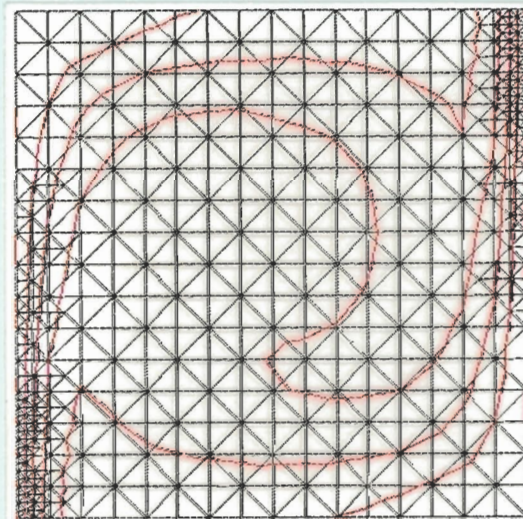
* MALLA 5 (Tiempo=0.16534) *



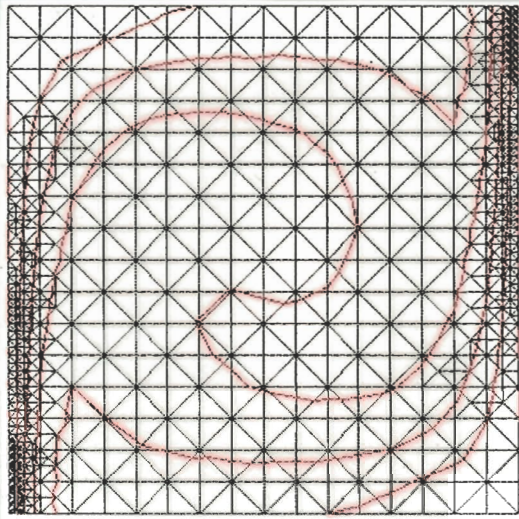
* MALLA 6 (Tiempo=0.18483) *



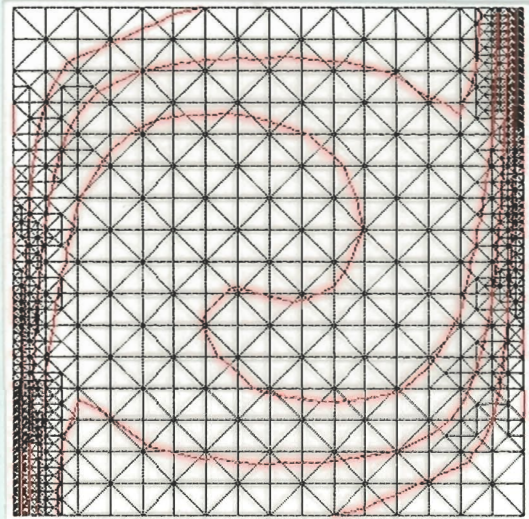
* MALLA 7 (Tiempo=0.19860) *



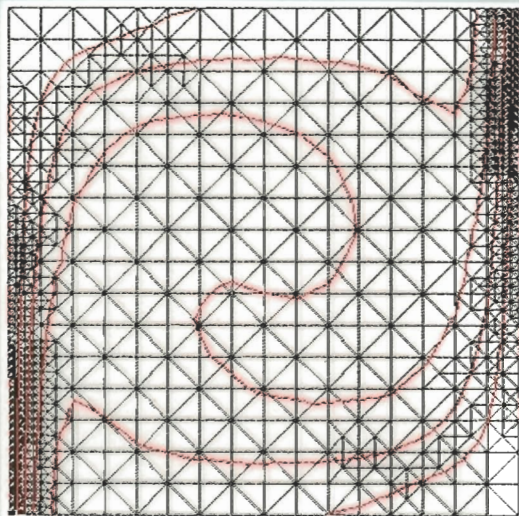
* MALLA 8 (Tiempo=0.21238) *



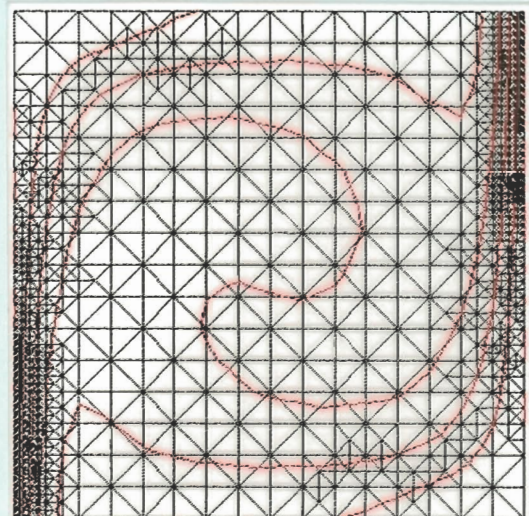
* MALLA 13 (Tiempo=0.26631) *



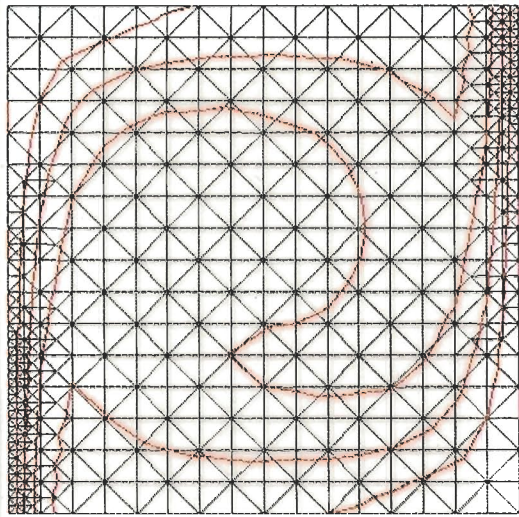
* MALLA 14 (Tiempo=0.27320) *



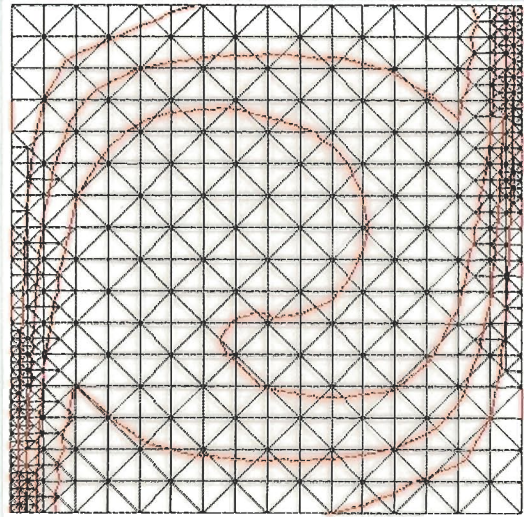
* MALLA 15 (Tiempo=0.28009) *



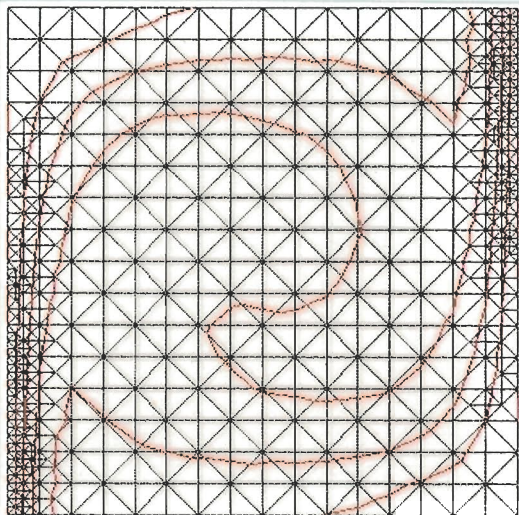
* MALLA 16 (Tiempo=0.28698) *



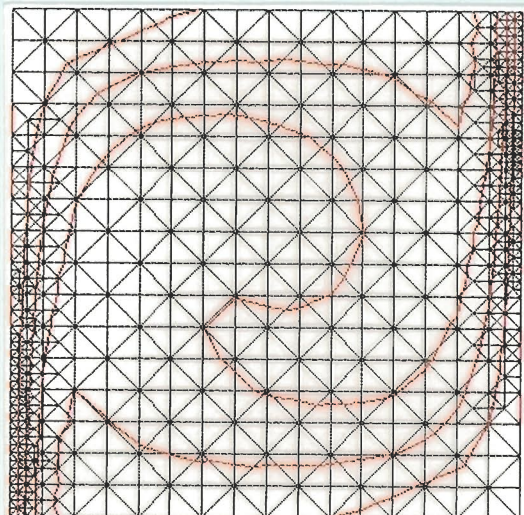
* MALLA 9 (Tiempo=0.22616) *



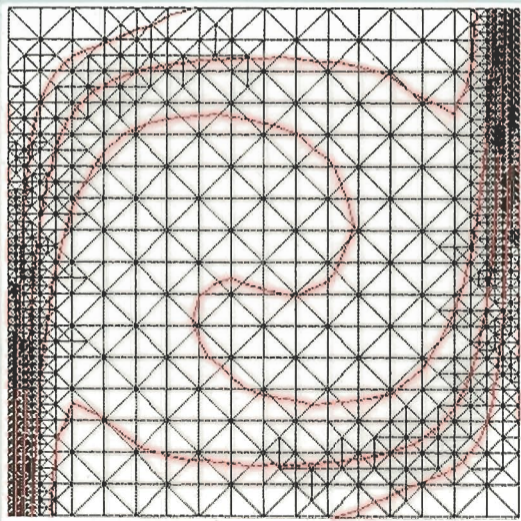
* MALLA 10 (Tiempo=0.23994) *



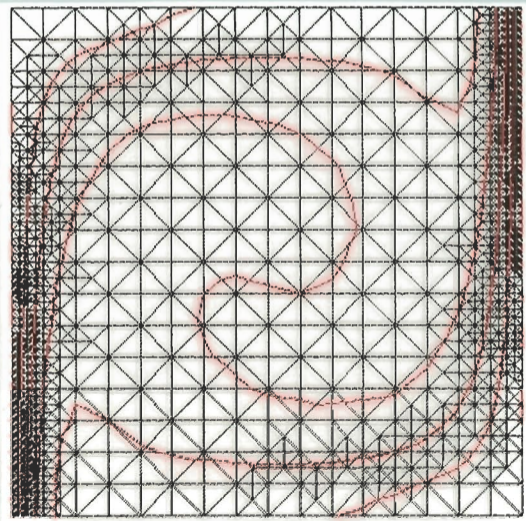
* MALLA 11 (Tiempo=0.24968) *



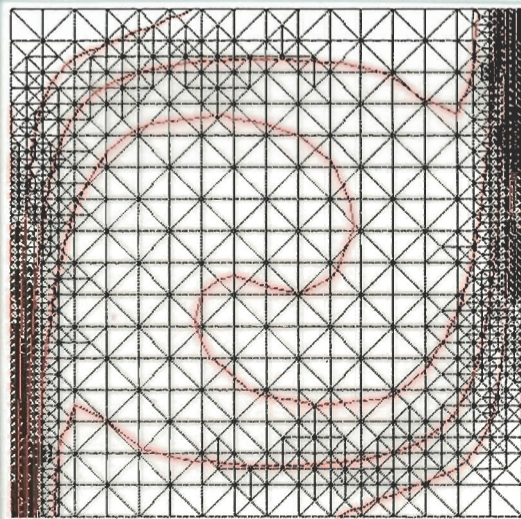
* MALLA 12 (Tiempo=0.25943) *



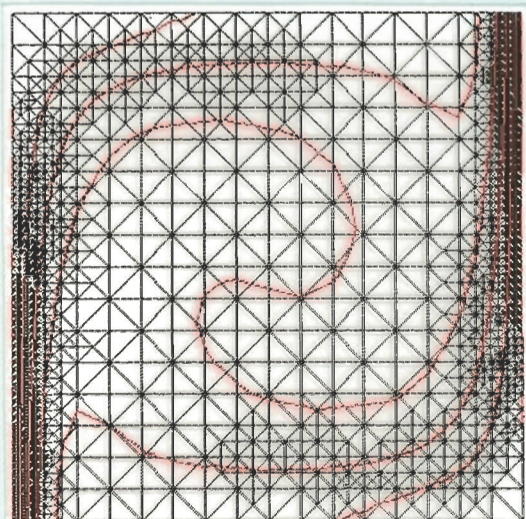
* MALLA 17 (Tiempo=0.29185) *



* MALLA 18 (Tiempo=0.29672) *



* MALLA 19 (Tiempo=0.30017) *



* MALLA 20 (Tiempo=0.30361) *